

# 第六章 校正与综合设计

## 6.1 导论

- 6.1.1 校正的必要性
- 6.1.2 性能指标
- 6.1.3 系统结构
- 6.1.4 设计方法

## 6.2 超前校正

- 6.2.1 相位超前网络
- 6.2.2 特性
- 6.2.3 根轨迹法设计超前校正
- 6.2.4 Bode图设计超前校正

## 6.3 滞后校正

- 6.3.1 相位滞后网络
- 6.3.2 特性
- 6.3.3 根轨迹设计滞后校正
- 6.3.4 Bode图设计滞后

## 6.4 超前-滞后校正

- 6.4.1 超前-滞后网络
- 6.4.2 特性
- 6.4.3 根轨迹设计超前-滞后校正
- 6.4.4 Bode图设计超前-滞后校正

## 6.5 反馈校正

- 6.5.1 降低环境条件的影响
- 6.5.2 简单反馈取得满意结果

## 6.1 导论

### 6.1.1 校正的必要性

#### ◆ 系统性能不理想

- 稳定性
- 响应速度
- 稳态误差

### 6.1.2 性能指标

#### ◆ 常用性能指标

- 相对稳定性:  $\gamma, K_g (\zeta, \omega_n)$
- 响应速度:  $\omega_c (\zeta, \omega_n)$
- 精度:  $K_p, K_v, K_a$

## ◆ 工程指标

- 时域:  $t_r$ ,  $\sigma$ ,  $t_s$
- 频域:  $\omega_r$ ,  $M_r$ ,  $\omega_B$

## ◆ 理想值

$$45^\circ \leq \gamma \leq 60^\circ \quad K_g \geq 10 \text{ dB} \quad 1.0 < M_r < 1.4$$

$$0.4 < \zeta < 0.7 \quad \sigma < 25\%$$

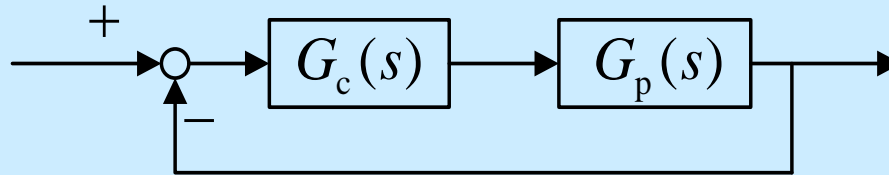
## • 二阶系统

$\zeta$	$\gamma$	$\sigma$	$M_r$
0.4	$44^\circ$	25.4%	1.364
0.7	$60^\circ$	4.6%	1.002

- 注:
- 高性能意味着高代价
  - 多个性能指标相互冲突

## 6.1.3 系统结构

### 1. 串联校正



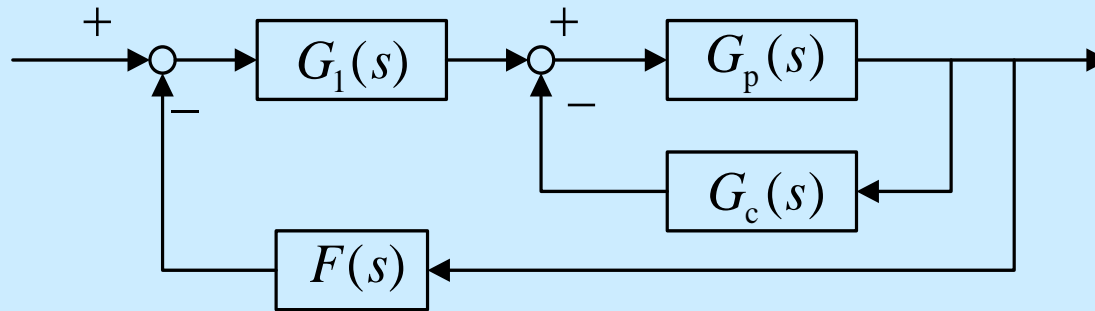
#### ◆ 特点:

- 分析和设计简单
- 需要额外放大器

#### ◆ 校正类型:

- 滞后校正: 改善稳态精度
- 超前校正: 改善响应速度
- 超前-滞后校正: 改善稳态精度和响应速度
- Bridged-T带阻滤波(Notch filter): 防止谐振

## 2. 反馈校正

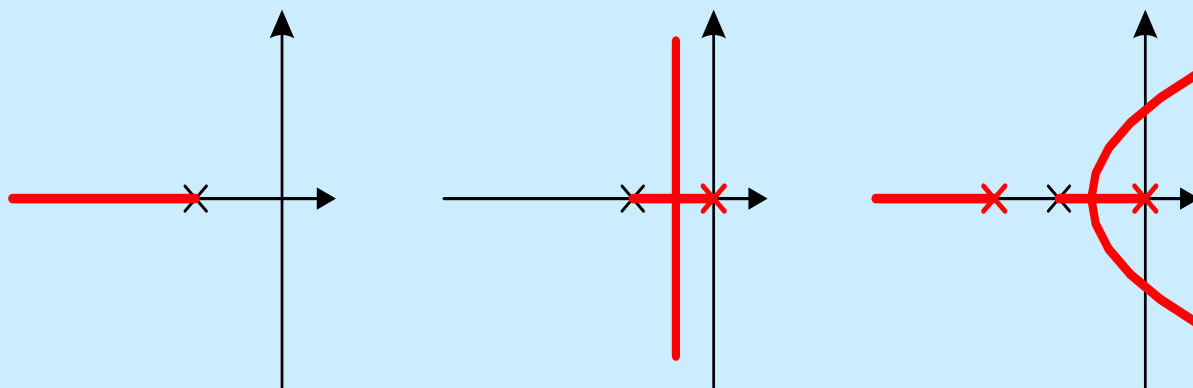


- ◆ 特点:
- 多回路机制
- 分析和设计复杂
- 简单控制器可能实现复杂控制任务

## 6.1.4 设计方法

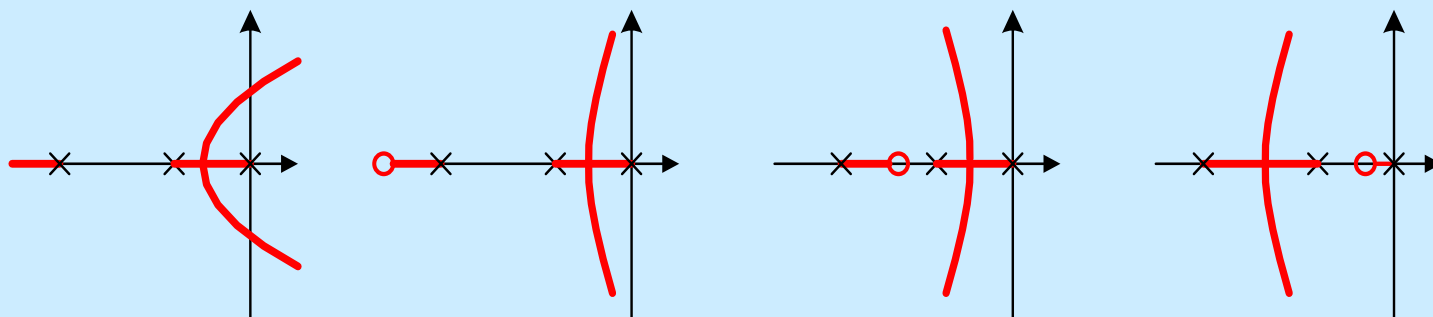
### 1. 根轨迹法

#### (1) 添加极点导致根轨迹右移



- 导致系统稳定变慢、稳定性变差
- 可提高系统稳态精度

## (2) 添加零点导致根轨迹左移



- 改善稳定性和响应速度

(3) 增益调整原则：使主导极点对应较高增益，从而  $e_{ss}$  下降

(4) 常用指标：  $\zeta$ ,  $\omega_n$ ,  $K_v$

## 2. 频率响应法

(1) 常用指标:  $\gamma$ ,  $K_g$  和稳态误差

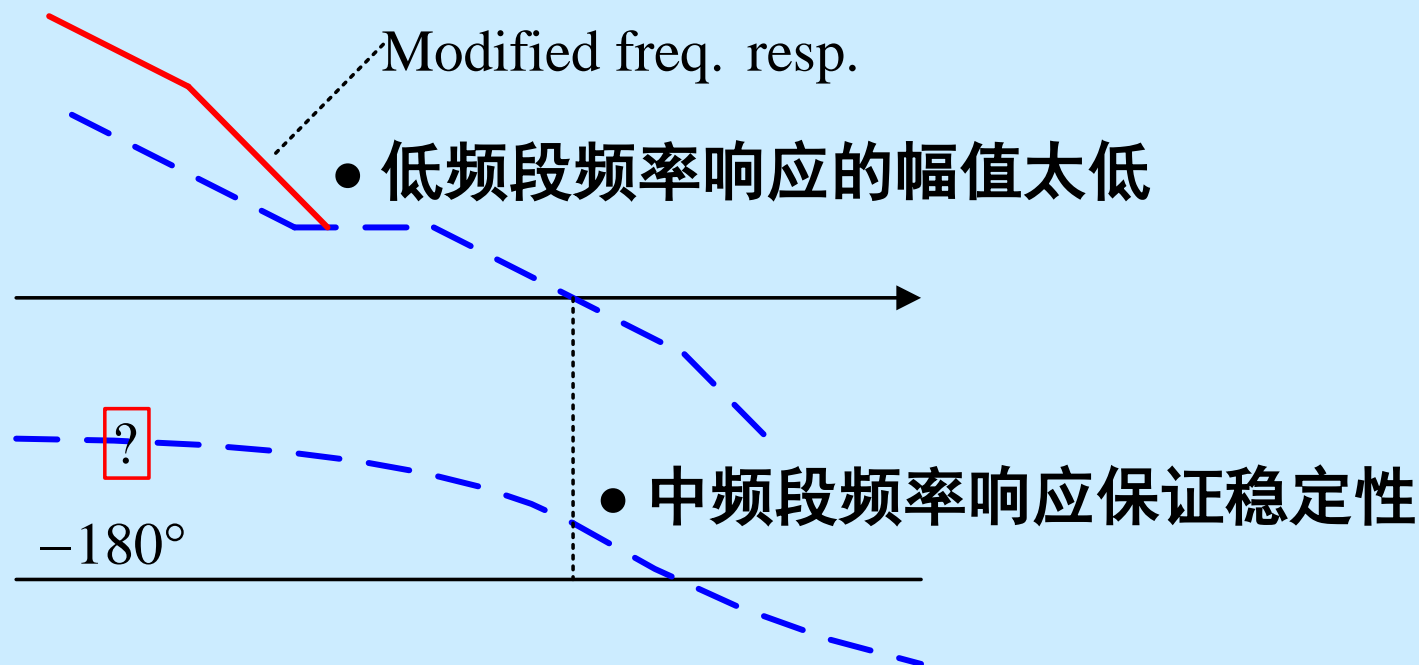
(2) 系统性能与频率响应之间的关系:

- 低频 — 稳态误差
- 中频 — 相对稳定性、响应速度
- 高频 — 响应速度、干扰抑制

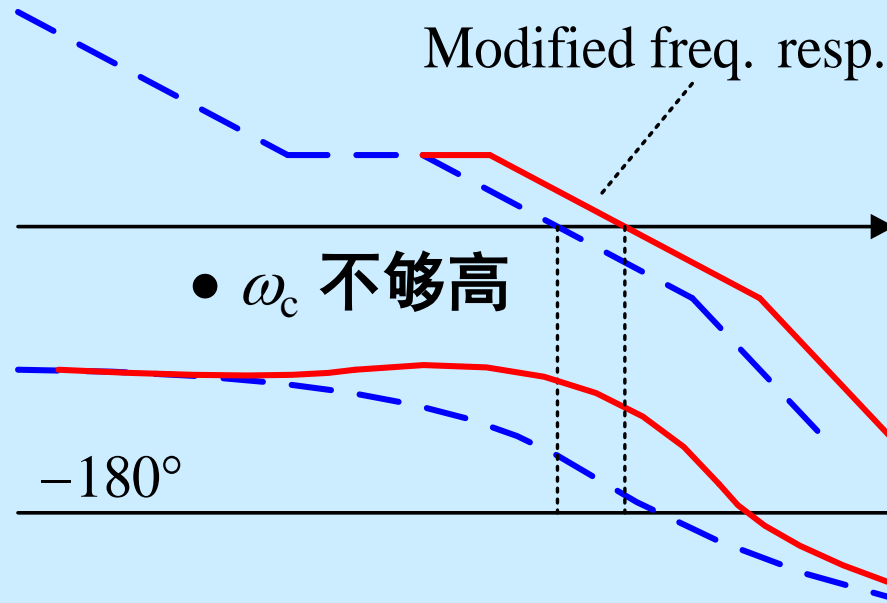


### (3) 性能不理想的改进

(i) 稳定, 但  $e_{ss}$  太大

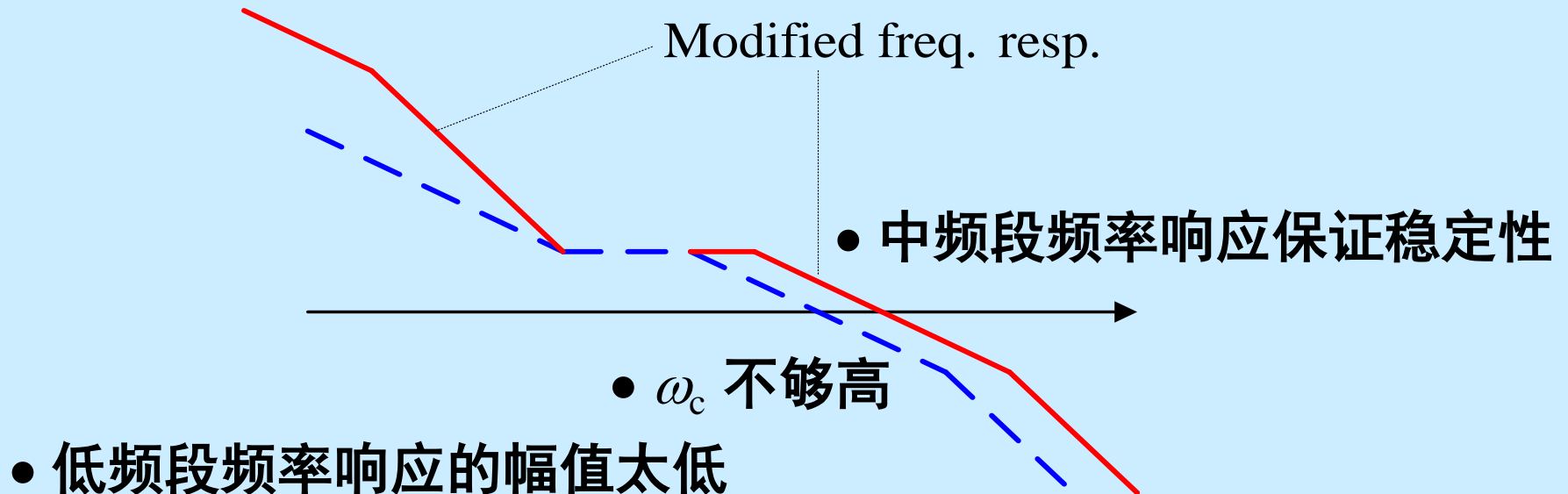


## (ii) 稳定, 但时间响应太慢



- 中频段频率响应保证稳定性

### (iii) 稳定, 但 $e_{ss}$ 太大且时间响应太慢



# (iv) 对任意开环增益 $K$ 闭环均不稳定

- 开环频率响应不合适
- 多个频段的频率响应需要调整

类型

方法

超前

频率响应

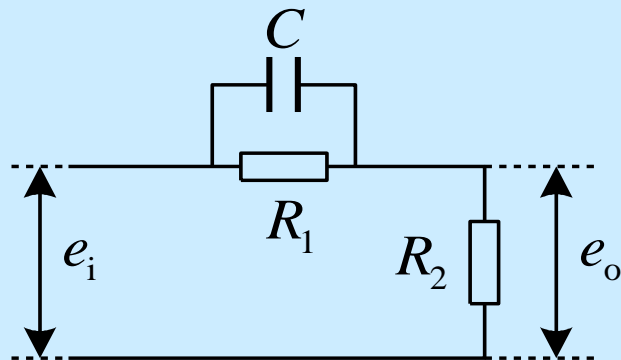
滞后

超前-滞后

根轨迹

## 6.2 超前校正

### 6.2.1 相位超前网络



令  $\frac{R_1 R_2}{R_1 + R_2} C = T$        $\frac{R_1 + R_2}{R_2} = \alpha > 1$

则  $\frac{E_o(s)}{E_i(s)} = \frac{1}{\alpha} \cdot \frac{\alpha T s + 1}{T s + 1} = \frac{s + \frac{1}{\alpha T}}{s + \frac{1}{T}}$

$$\begin{aligned} \frac{E_o(s)}{E_i(s)} &= \frac{R_2}{R_2 + \frac{R_1 \frac{1}{Cs}}{R_1 + \frac{1}{Cs}}} \\ &= \frac{R_2}{R_1 + R_2} \cdot \frac{R_1 C s + 1}{\frac{R_1 R_2}{R_1 + R_2} C s + 1} \end{aligned}$$

• 存在其他表达方式

• 说明：存在其他实现方式，有源电路，见实验指示书比例微分

$$G_c(s) = \frac{s + \frac{1}{\alpha T}}{s + \frac{1}{T}} \quad (\alpha > 1)$$

## 6.2.2 特性

### 1. 零-极点分布

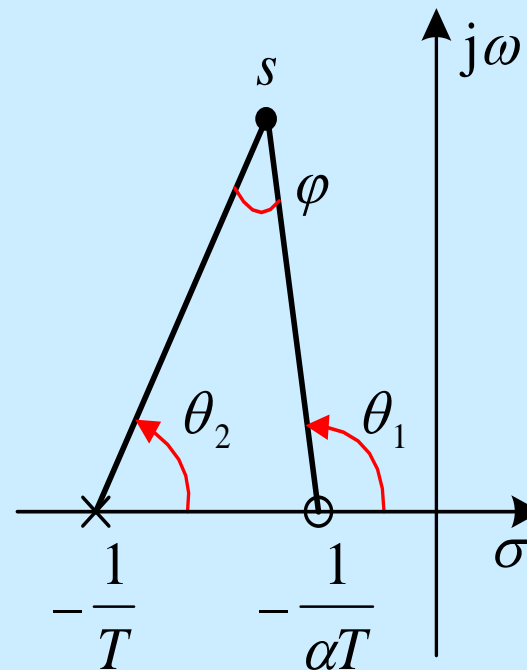
- 考虑任一测试点

$$s = \sigma + j\omega \quad (\omega > 0),$$

$G_c(s)$  提供超前角

$$\varphi = \theta_1 - \theta_2 \quad (\varphi > 0)$$

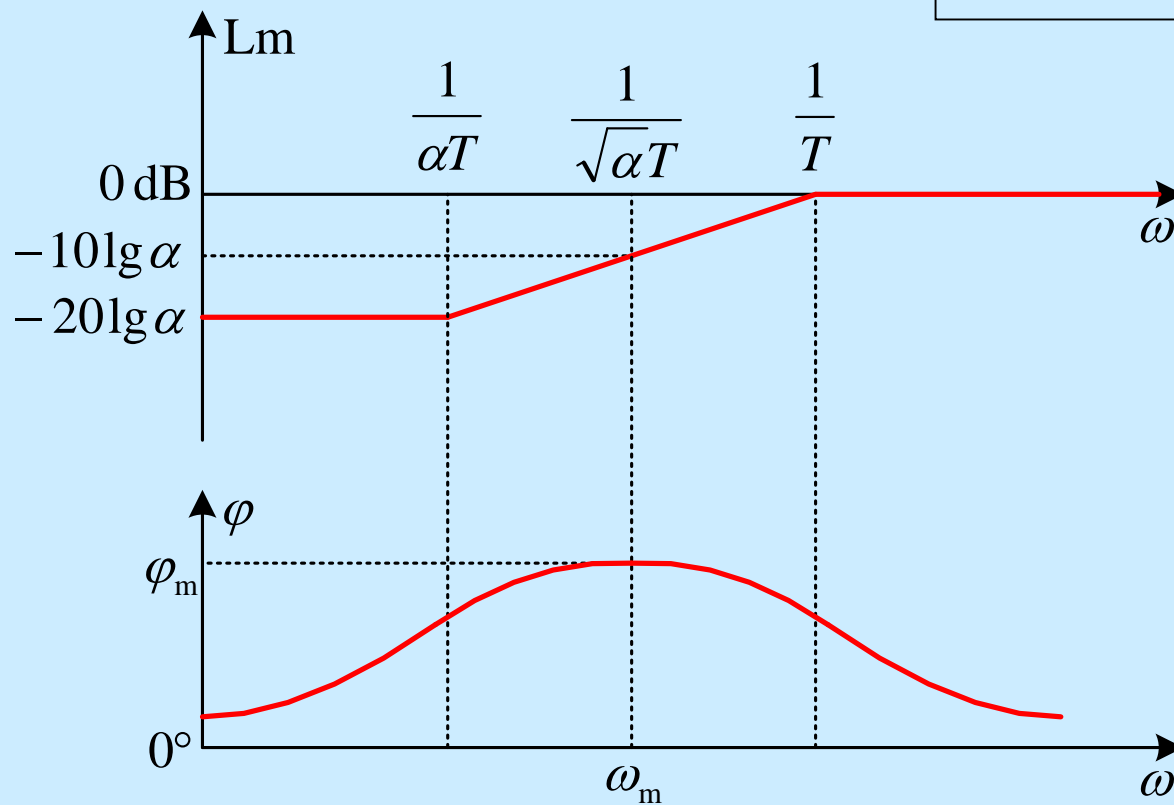
- $G_c(s)$  使根轨迹左移



## 2. Bode图

$$G_c(s) = \frac{1}{\alpha} \cdot \frac{1 + \alpha Ts}{1 + Ts} \quad (\alpha > 1)$$

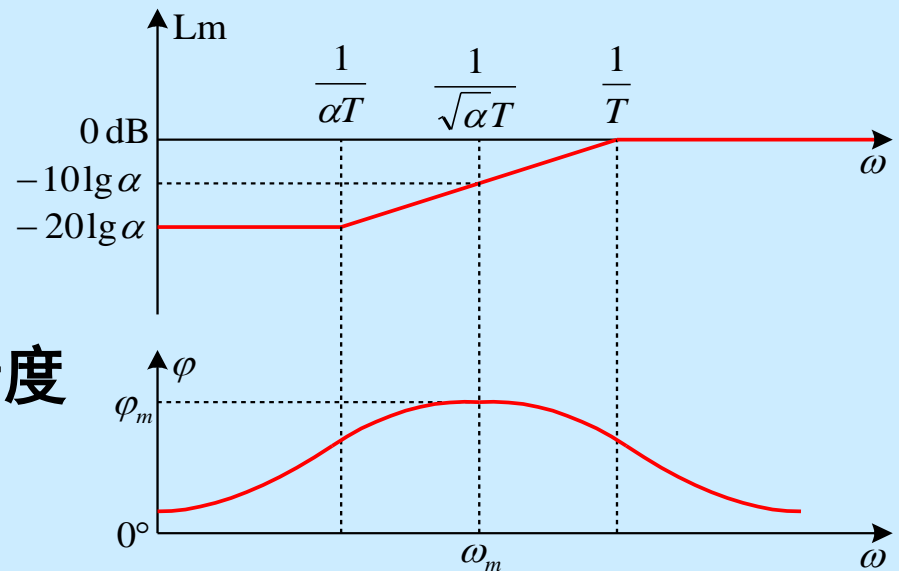
$$G(j\omega) = \frac{1}{\alpha} \cdot \frac{1 + j\alpha\omega T}{1 + j\omega T}$$



- 高通滤波特性

- $L_m G(j0) = -20 \lg \alpha < 0 \text{ dB}$

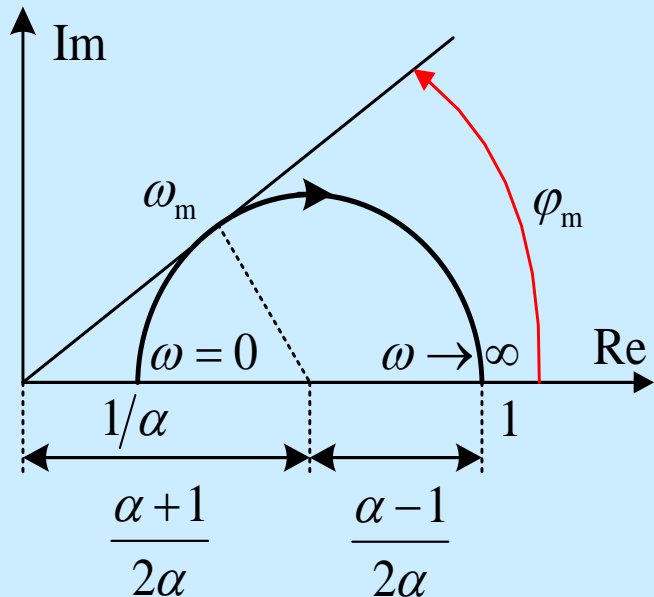
⇒ 需加大增益保证稳态精度



- $\omega_m = \frac{1}{\sqrt{\alpha} T}$  是  $\frac{1}{T}$  和  $\frac{1}{\alpha T}$  的几何中心



### 3. Nyquist 图



$$G_c(j\omega) = \frac{1}{\alpha} \cdot \frac{1+j\alpha\omega T}{1+j\omega T} \quad (\alpha > 1)$$

$$\sin \varphi_m = \frac{\frac{\alpha-1}{2\alpha}}{\frac{\alpha+1}{2\alpha}} = \frac{\alpha-1}{\alpha+1}$$

$$\varphi_m = \arcsin \frac{\alpha-1}{\alpha+1} = \arctan \frac{\alpha-1}{2\sqrt{\alpha}}$$

- $\alpha = \frac{1 + \sin \varphi_m}{1 - \sin \varphi_m}$

- 若  $\alpha = 10$

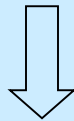
则  $\varphi_m = 54.9^\circ$

## ◆ 用于设计的表达形式

$$G_c(s) = \frac{1}{\alpha} \cdot \frac{1 + \alpha Ts}{1 + Ts} = \frac{s + \frac{1}{\alpha T}}{s + \frac{1}{T}}$$

$$G_c(s) = \frac{K_c}{\alpha} \cdot \frac{1 + \alpha Ts}{1 + Ts} = K_c \frac{s + \frac{1}{\alpha T}}{s + \frac{1}{T}} \quad \begin{array}{l} \text{令 } -1/\alpha T = z_c \\ -1/T = p_c \end{array}$$

$$\text{令 } K_c / \alpha = K_c$$



$$G_c(s) = K_c \frac{1 + \alpha Ts}{1 + Ts}$$



$$G_c(s) = K_c \frac{s - z_c}{s - p_c}$$

$$p_c / z_c = \alpha$$

## 6.2.3 基于根轨迹法的超前校正

### 1. 理想微分校正

- 响应慢(不稳定)意味着闭环极点太靠近虚轴(在右半平面)

- ◆ 修正：添加一个零点

$$(G_c(s) = 1 + T_d s = T_d (s + 1/T_d))$$

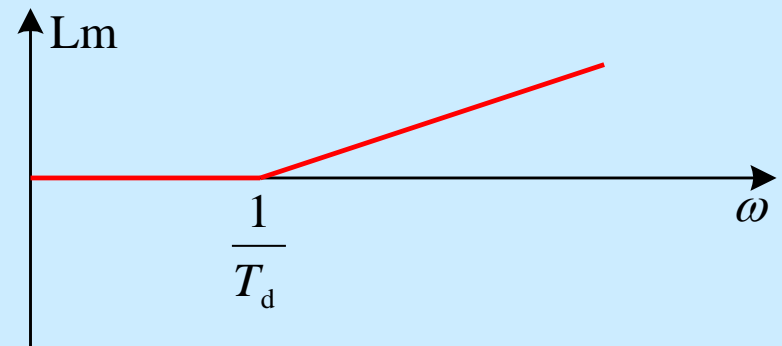
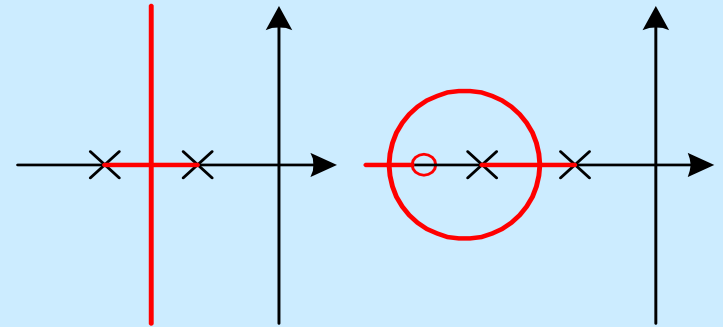
- 根轨迹左移
- 取得更高的稳定性

- ◆ 缺点:

- 难以实现

$$G_c(s) = 1 + T_d s$$

- 噪声放大, 尤其高频噪声

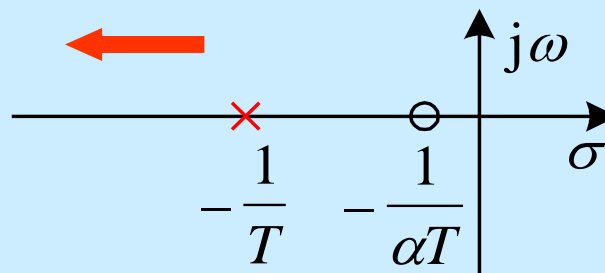


## 2. 相位超前校正

$$G_c(s) = K_c \frac{s + \frac{1}{\alpha T}}{s + \frac{1}{T}} = K_c \frac{s - z_c}{s - p_c}, \quad \alpha > 1$$

- $K_c$  补偿低频增益

◆ 理论上希望  $1/T$  较大



- 校正装置的极点对根轨迹的影响可忽略

◆ 较左的极点导致较大的  $\alpha$ ，物理实现困难

### 3. 根据主导极点确定超前角

- 观察对象的根轨迹
- 令期望的主导极点如下

$$s_d = -\zeta\omega_n + j\omega_n\sqrt{1-\zeta^2}$$

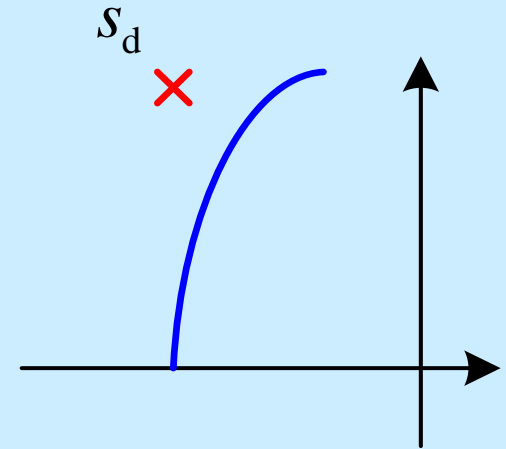
(不在原先的根轨迹上)

- 校正后系统必须满足的相角条件

$$\begin{aligned}\arg[G_p(s_d)G_c(s_d)] &= \arg[G_p(s_d)] + \arg[G_c(s_d)] \\ &= \pm(2k+1)\pi\end{aligned}$$

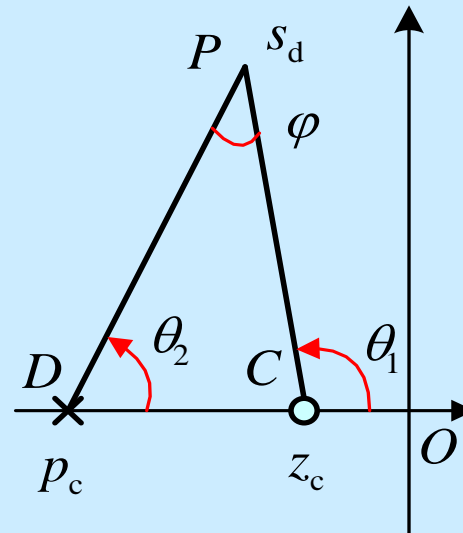
- 校正装置需提供如下超前角

$$\varphi = \arg[G_c(s_d)] = \pm(2k+1)\pi - \arg[G_p(s_d)]$$



- 超前装置产生的超前角由其零极点决定

$$\begin{aligned}\arg[G_c(s_d)] &= \arg(s_d - z_c) \\ &\quad - \arg(s_d - p_c) \\ &= \theta_1 - \theta_2\end{aligned}$$

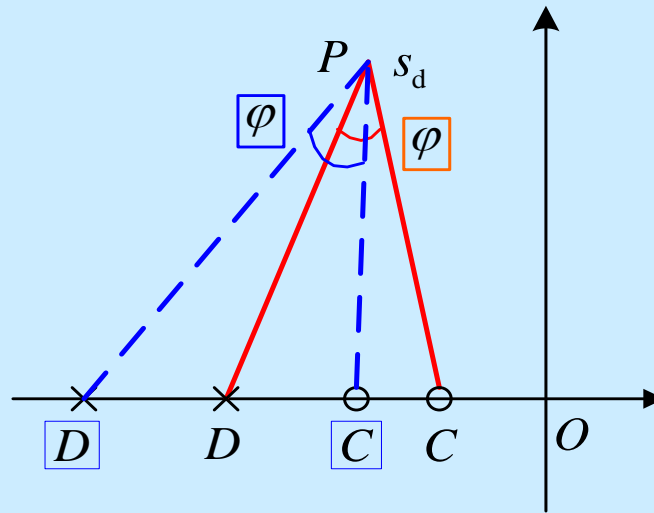


- 合适选择  $p_c$  和  $z_c$  就有可能产生所需的超前角

$$\theta_1 - \theta_2 = \varphi = \pm(2k + 1)\pi - \arg[G_p(s_d)]$$

## 4. 零极点的选择

### (1) 满足超前角的零极点可能有无数对



- 不同的零极对 ( $z_c / p_c$ ) 导致不同的  $\alpha$  和不同的开环增益
- 不同的零极对 ( $z_c / p_c$ ) 导致不同的物理实现和不同的稳态误差

$$G_c(s) = K_c \frac{s - z_c}{s - p_c}$$

## (2) 零极点与稳态误差系数之间的关系

### • 校正之前

$$\lim_{s \rightarrow 0} s G_p(s) = K'_v$$

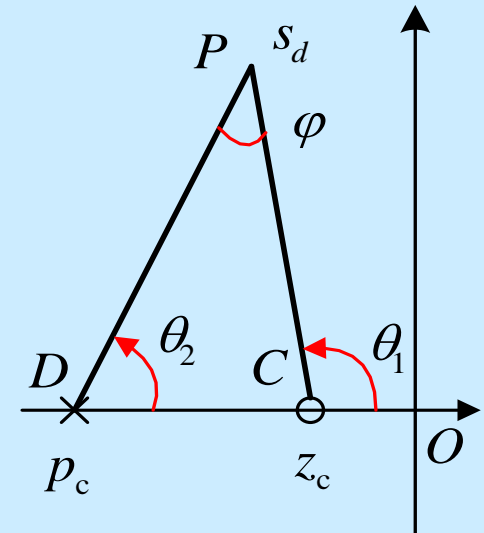
### • 校正之后

$$K_v = \lim_{s \rightarrow 0} s G_p(s) G_c(s) = K'_v K_c \frac{z_c}{p_c} = K'_v \frac{K_c}{\alpha}$$

### • 幅值条件

$$\left| G_p(s_d) G_c(s_d) \right| = \left| G_p(s_d) \right| K_c \left| \frac{s_d - z_c}{s_d - p_c} \right| = 1$$

$$K_c = \left| \frac{1}{G_p(s_d)} \right| \cdot \left| \frac{s_d - p_c}{s_d - z_c} \right| = \left| \frac{1}{G_p(s_d)} \right| \cdot \left| \frac{\overline{DP}}{\overline{CP}} \right|$$



$$\bullet \alpha = \left| \frac{\overline{OD}}{\overline{OC}} \right|$$

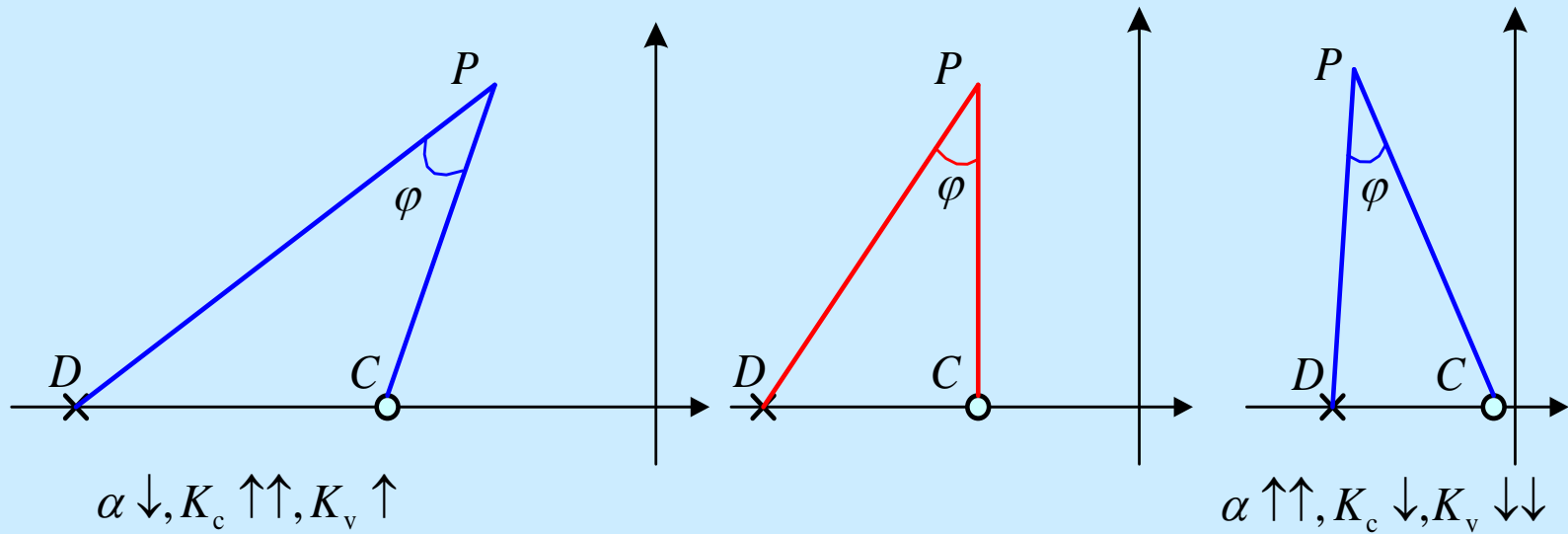


• 不同情况:

$$K_v = K'_v \frac{K_c}{\alpha}$$

$$\alpha = \left| \frac{\overline{OD}}{\overline{OC}} \right|$$

$$K_c \propto \left| \frac{\overline{DP}}{\overline{CP}} \right|$$

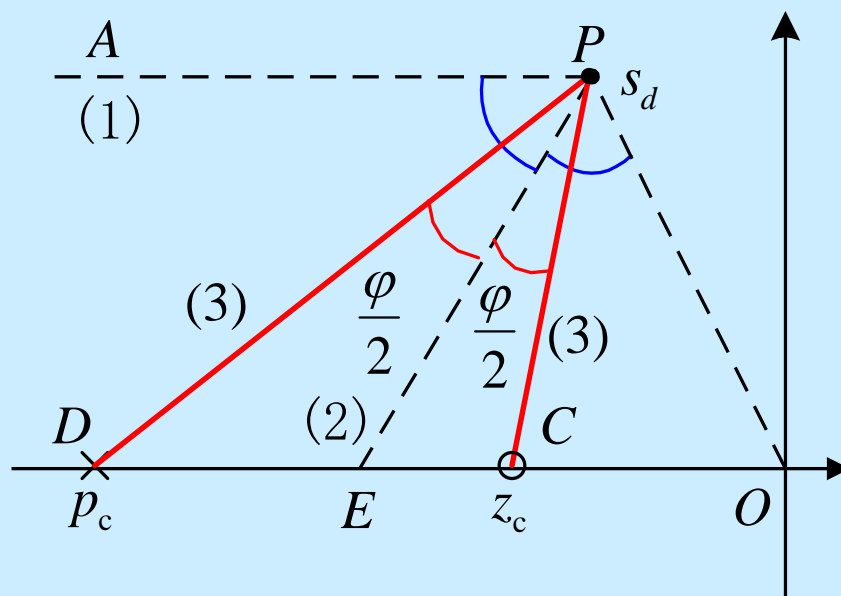


\* 偏好情况是  $p_c(z_c)$  一定程度上左移, 从而  $K_c \uparrow, K_v \uparrow$

$\alpha \downarrow$ , 物理实现相对容易

• 思考: 零点能无限制左移吗?

## ● 角平分线法



### ● 静态速度误差系数计算如下

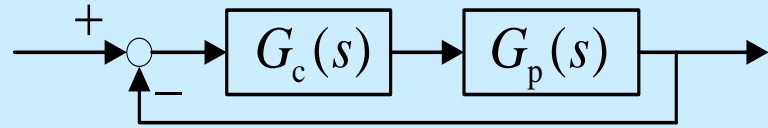
$$\alpha = \frac{p_c}{z_c} \quad K_c = \left| \frac{\overline{PD}}{\overline{PC}} \right| \cdot \frac{1}{|G_p(s_d)|}$$

$$K_v = K'_v \frac{K_c}{\alpha}$$

## 5. 示例

例 6.2.1 给定如下系统

$$G_p(s) = \frac{4}{s(s+2)}$$



试设计超前校正使得闭环极点满足  $\omega_n = 4 \text{ rad/s}$ ,  $\zeta = 0.5$

**Solution:**

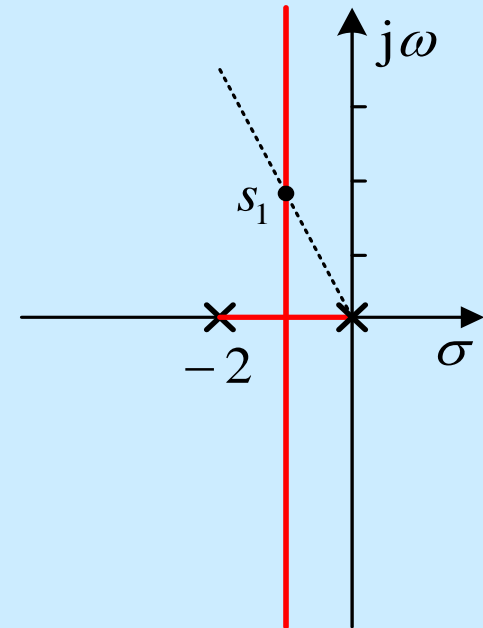
(i) 校正前的系统分析

$$G_{CL}(s) = \frac{4}{s^2 + 2s + 4}$$

$$s_{1,2} = -1 \pm j\sqrt{3}$$

$$\omega_n = 2 \text{ rad/s} \quad \zeta = 0.5$$

$$K'_v = 2 \text{ s}^{-1}$$

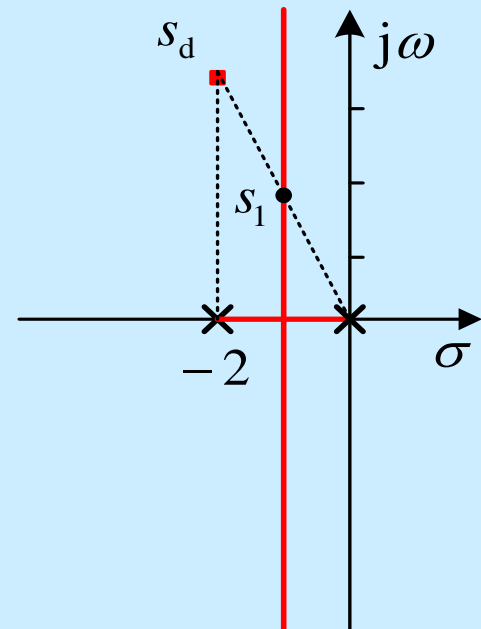


## (ii) 期望的闭环极点

$$s_d = -\zeta\omega_n \pm j\omega_n\sqrt{1-\zeta^2} = -2 \pm j2\sqrt{3}$$

- 不在原先的根轨迹上
- 仅仅调整  $K$  不能获得期望的闭环极点
- $s_d$  在原先根轨迹的左侧
- 需要超前校正
- 令超前校正的传递函数如下

$$G_c(s) = K_c \frac{s - z_c}{s - p_c}$$



$$G_p(s) = \frac{4}{s(s+2)}$$

### (iii) 所需超前角的计算

$$\arg [G_p(-2 + j2\sqrt{3})] = \arg \left[ \frac{4}{(-2 + j2\sqrt{3})(j2\sqrt{3})} \right] = -210^\circ$$

$$\varphi = -180^\circ - (-210^\circ) = 30^\circ$$

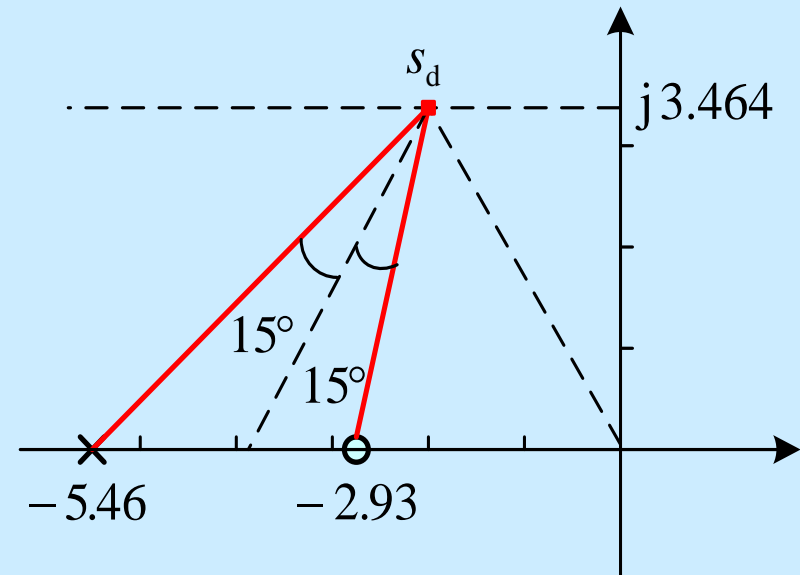
### (iv) 确定零极点

#### • 角平分线法

$$p_c = -5.46 \quad z_c = -2.93$$

$$\alpha = 1.863$$

$$G_c(s) = K_c \frac{s + 2.93}{s + 5.46}$$



## (v) 确定开环增益

$$G_p(s)G_c(s) = \frac{4K_c(s+2.93)}{s(s+2)(s+5.46)}$$

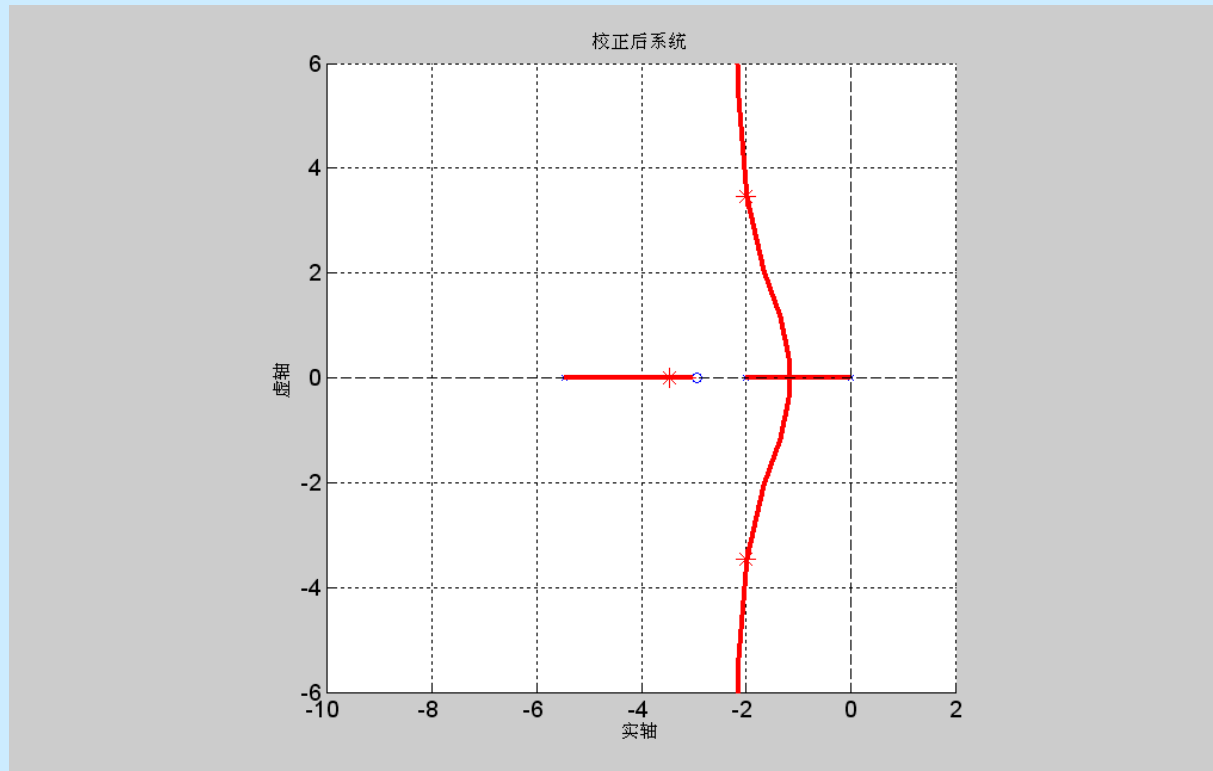
$$\begin{aligned} \left| G_p(s_d)G_c(s_d) \right| &= \left| \frac{4K_c(s+2.93)}{s(s+2)(s+5.46)} \right|_{s_d=-2+j2\sqrt{3}} \\ &= \frac{4K_c}{18.91} = 1 \end{aligned}$$

$$K_c = \frac{18.91}{4} = 4.728$$

$$G_p(s)G_c(s) = \frac{4K_c(s + 2.93)}{s(s + 2)(s + 5.46)}$$

## (vi) 校正后系统的检验

### • 根轨迹



### • CL极点:

$$s_{1,2} = -2 \pm j2\sqrt{3}$$

$$s_3 = -3.46$$

挨近

$$z_c = -2.93$$

$$G_p(s)G_c(s) = \frac{18.91(s + 2.93)}{s(s + 2)(s + 5.46)}$$

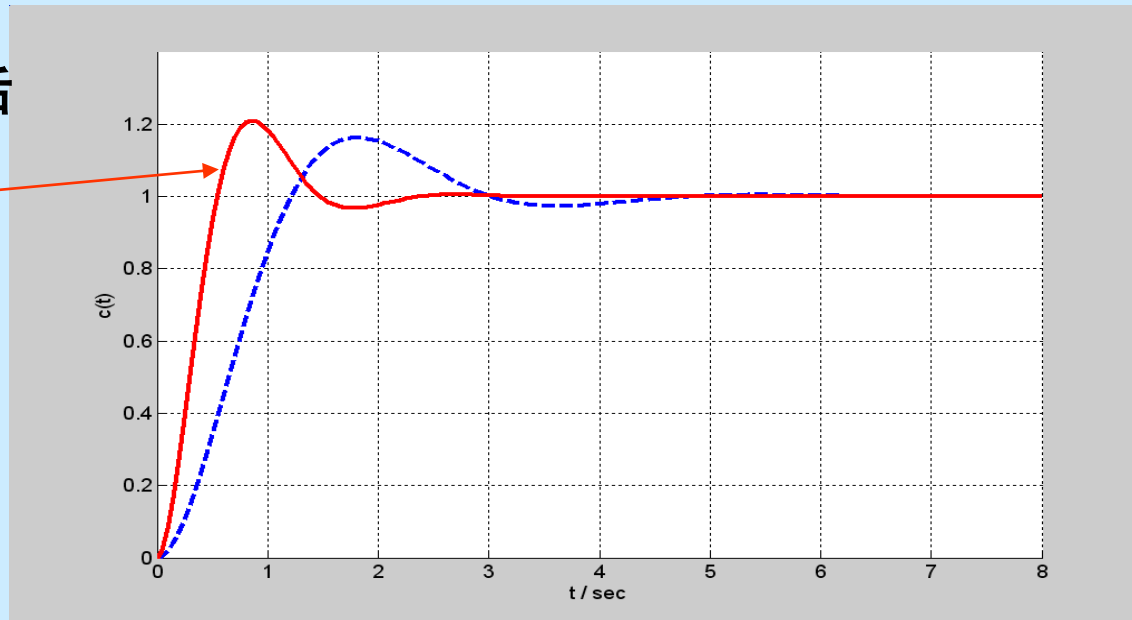
- 静态速度误差系数

$$K_v = \lim_{s \rightarrow 0} sG_p(s)G_c(s) = \frac{18.91 \times 2.93}{2 \times 5.46} = 5.074 \text{ s}^{-1}$$

- 闭环系统满足设计要求

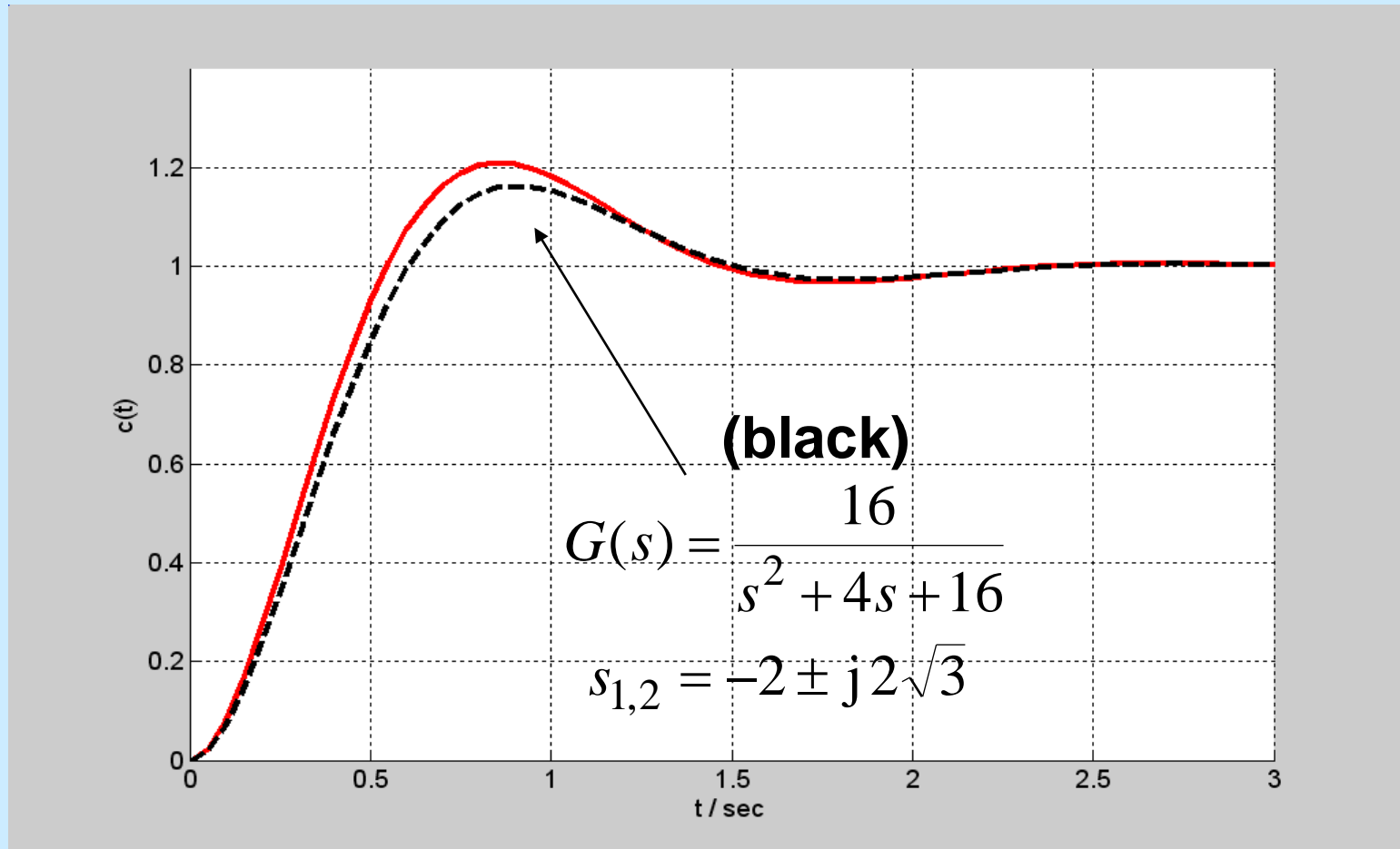
### (vii) 时间响应

校正后  
(red)





- 校正后系统与近似的典型二阶系统的对比



## 6. 设计步骤小结（仅供参考）

(i) 根据  $\zeta$  和  $\omega_n$  确定期望主导极点

(ii) 根据主导极点计算所需超前角  $\varphi$

(iii) 根据  $\varphi$  和要求的  $K_v$  计算  $p_c/z_c$

$s_d(\varphi) \Rightarrow$  无穷多个解

$s_d(\varphi) \quad e_{ss} \Rightarrow$  唯一解、无解

(iv) 确定开环增益

(v) 系统性能检验与调整

## 6.2.4 基于Bode图的超前校正

### 1. 从Bode图上观察性能的变化

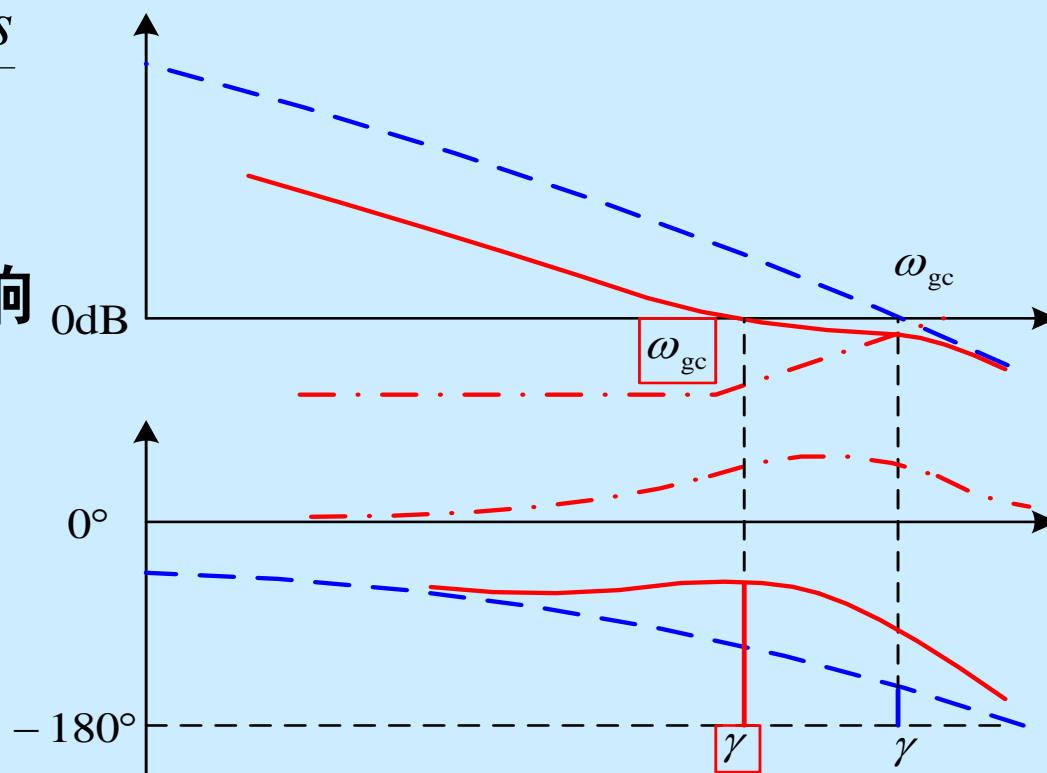
$$G_c(s) = \frac{K_c}{\alpha} \cdot \frac{1 + \alpha Ts}{1 + Ts}$$

$\alpha > 1$

#### (1) 对相对稳定性的影响

- 超前校正  $K_c = 1$

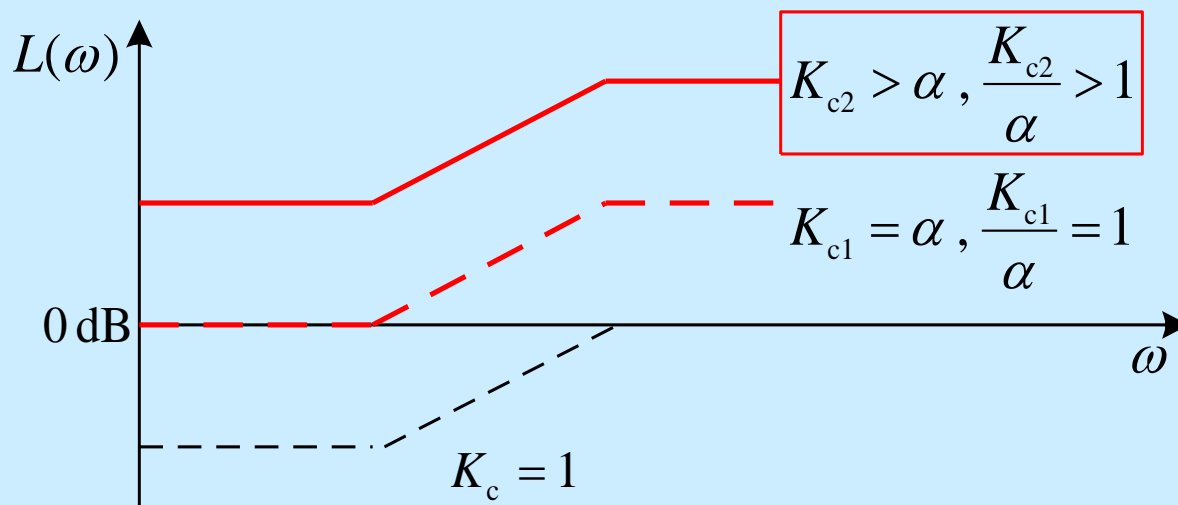
$$\Rightarrow \omega_{gc} \downarrow, \gamma \uparrow$$



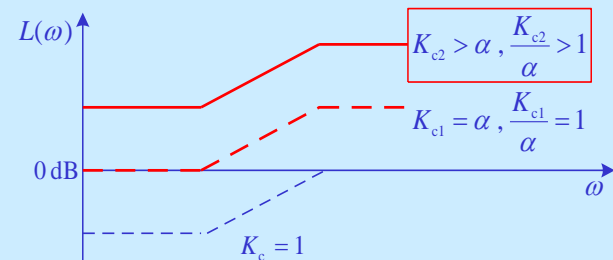
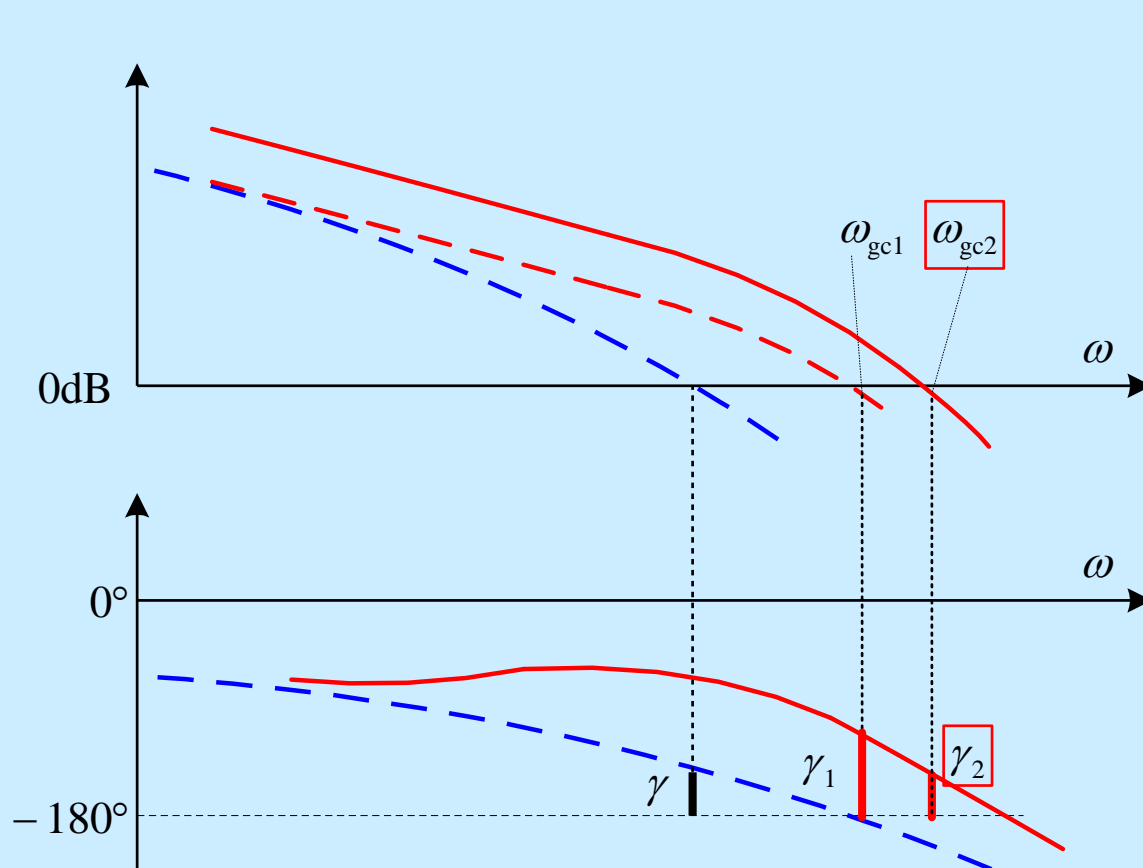
## (2) 对稳态误差和响应速度的影响

- 对具有一定  $\gamma$  的对象考虑如下两种情况

$$G_c(s) = \frac{K_c}{\alpha} \cdot \frac{1 + \alpha Ts}{1 + Ts} \quad K_{c1} = \alpha \quad K_{c2} > \alpha$$



## • 校正之后

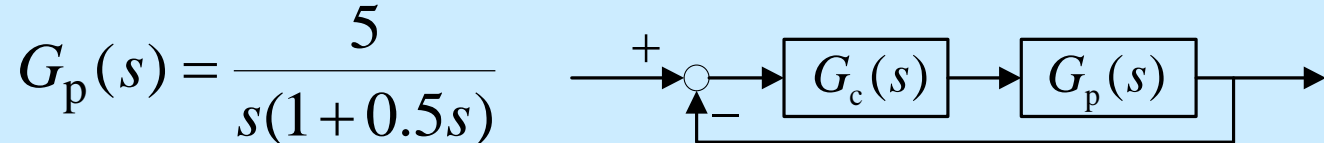


\*  $K_{c1} : \omega_{gc1} \uparrow,$   
 $\gamma_1 \uparrow\uparrow,$   
 $K_v$  不变

\*  $K_{c2} : \omega_{gc2} \uparrow\uparrow,$   
 $\gamma_2 \approx \gamma$  **or**  $\gamma_2 \uparrow,$   
 $K_v \uparrow$

## 2. 示例

例 6.2.2 给定对象的传递函数如下



超前校正控制器如下

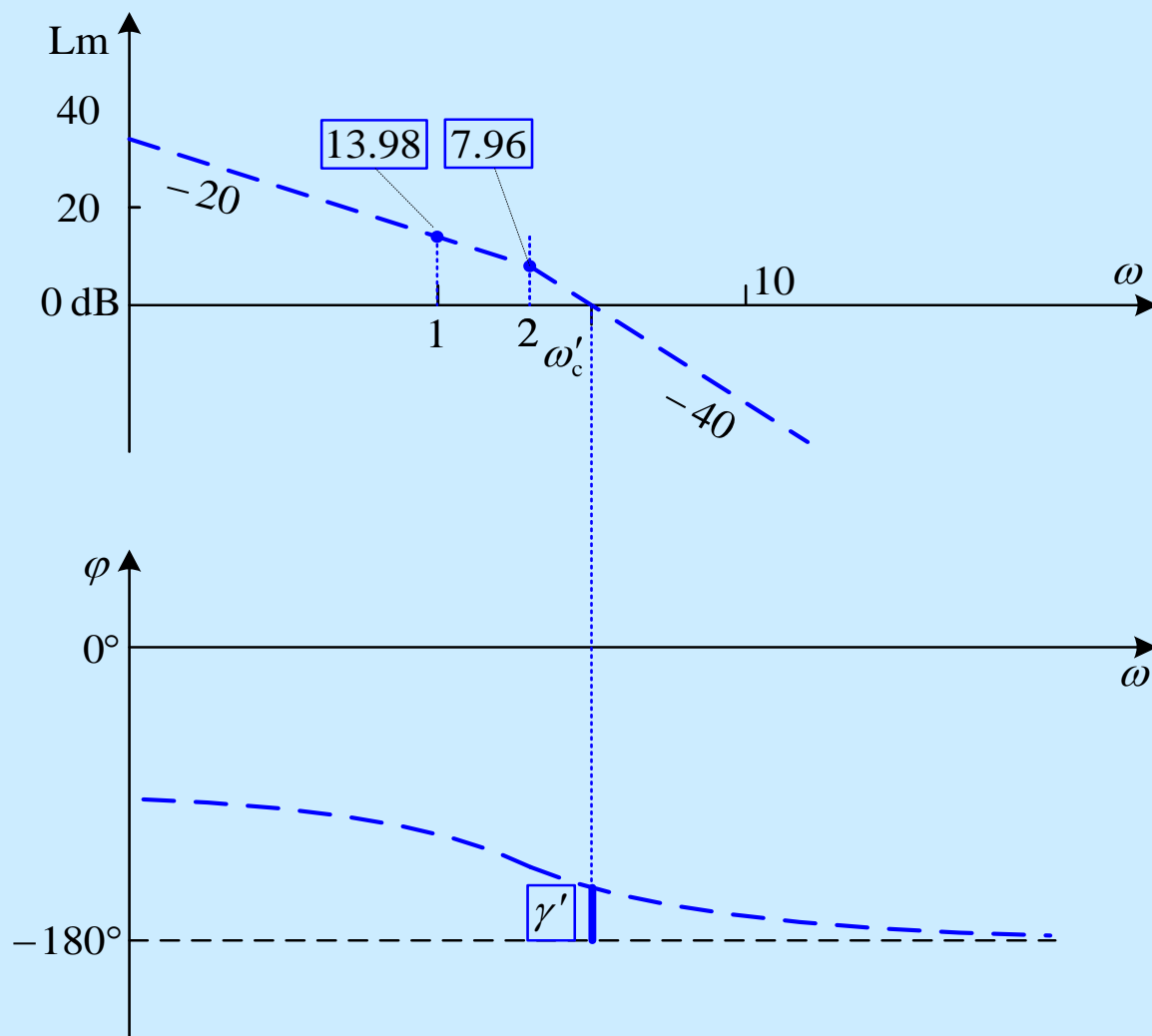
$$G_{c1}(s) = \frac{(1+0.5s)}{(1+0.05s)} \quad G_{c2}(s) = \frac{2(1+0.5s)}{(1+0.05s)}$$

请验证对相对稳定性和稳态误差的改善。

**Solution:**

$$G_p(s) = \frac{5}{s(1+0.5s)}$$

## (i) 校正前系统的分析

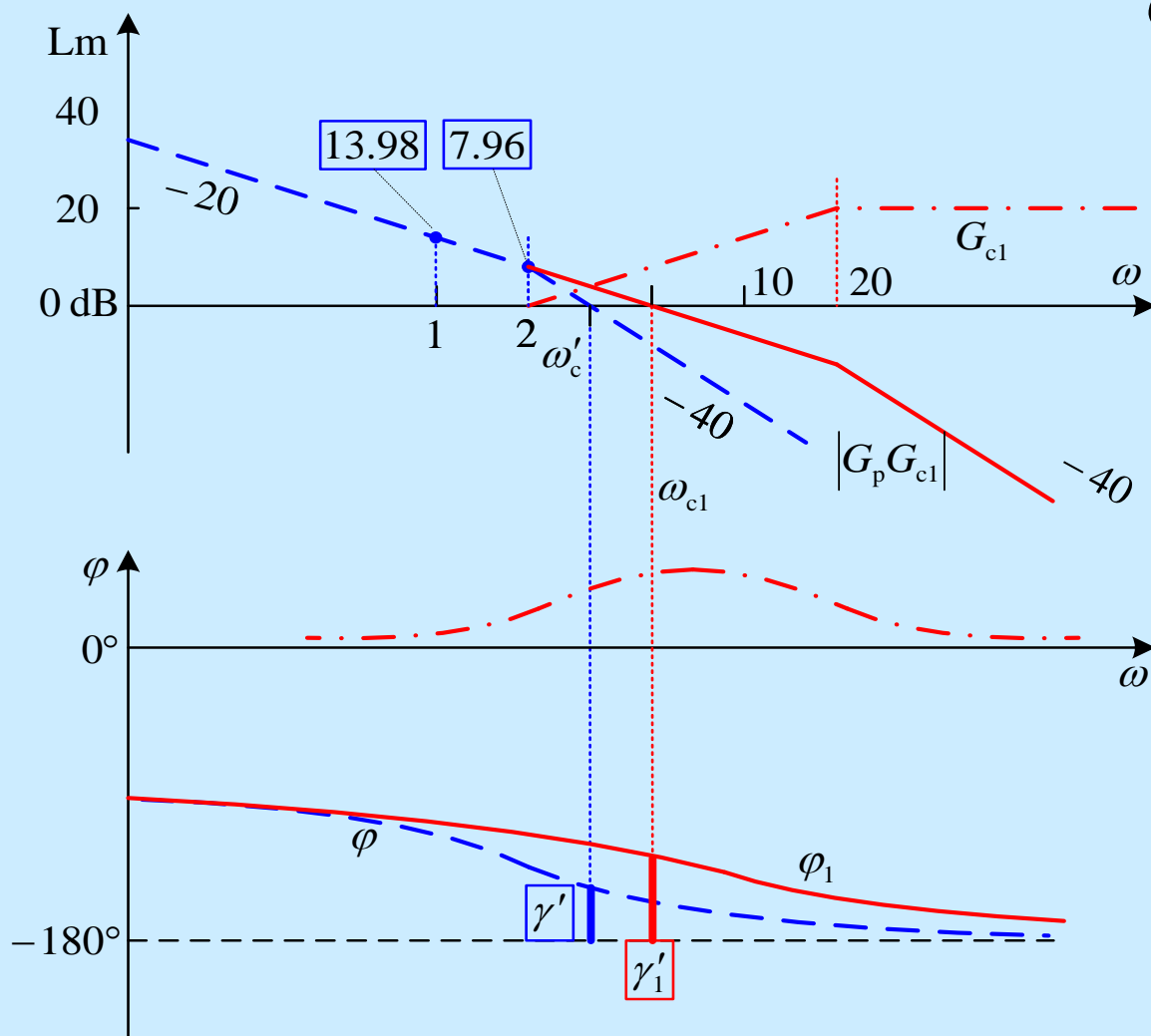


$$\begin{aligned}\omega'_c &= 3.16 \text{ rad/s} \\ \arg G_p(\omega'_c) &= -90^\circ \\ &\quad - \arctan(0.5 \times 3.16) \\ &= -147.7^\circ\end{aligned}$$

$$\gamma' = 32.3^\circ$$

$$K'_v = 5 \text{ s}^{-1}$$

## (ii) 采用第一个超前校正控制器



$$G_p(s)G_{c1}(s) = \frac{5}{s(1+0.5s)} \times \frac{1+0.5s}{1+0.05s} = \frac{5}{s(1+0.05s)}$$

$$\omega_{c1} = 5 \text{ rad/s}$$

$$\begin{aligned} \arg G_p(\omega_{c1}) &= -90^\circ \\ &\quad - \arctan(0.05 \times 5) \\ &= -104.0^\circ \end{aligned}$$

$$\gamma_1 = 76.0^\circ$$

$$K_{v1} = 5 \text{ s}^{-1}$$



### (iii) 采用第二个超前校正控制器

$$G_p(s)G_{c1}(s) =$$

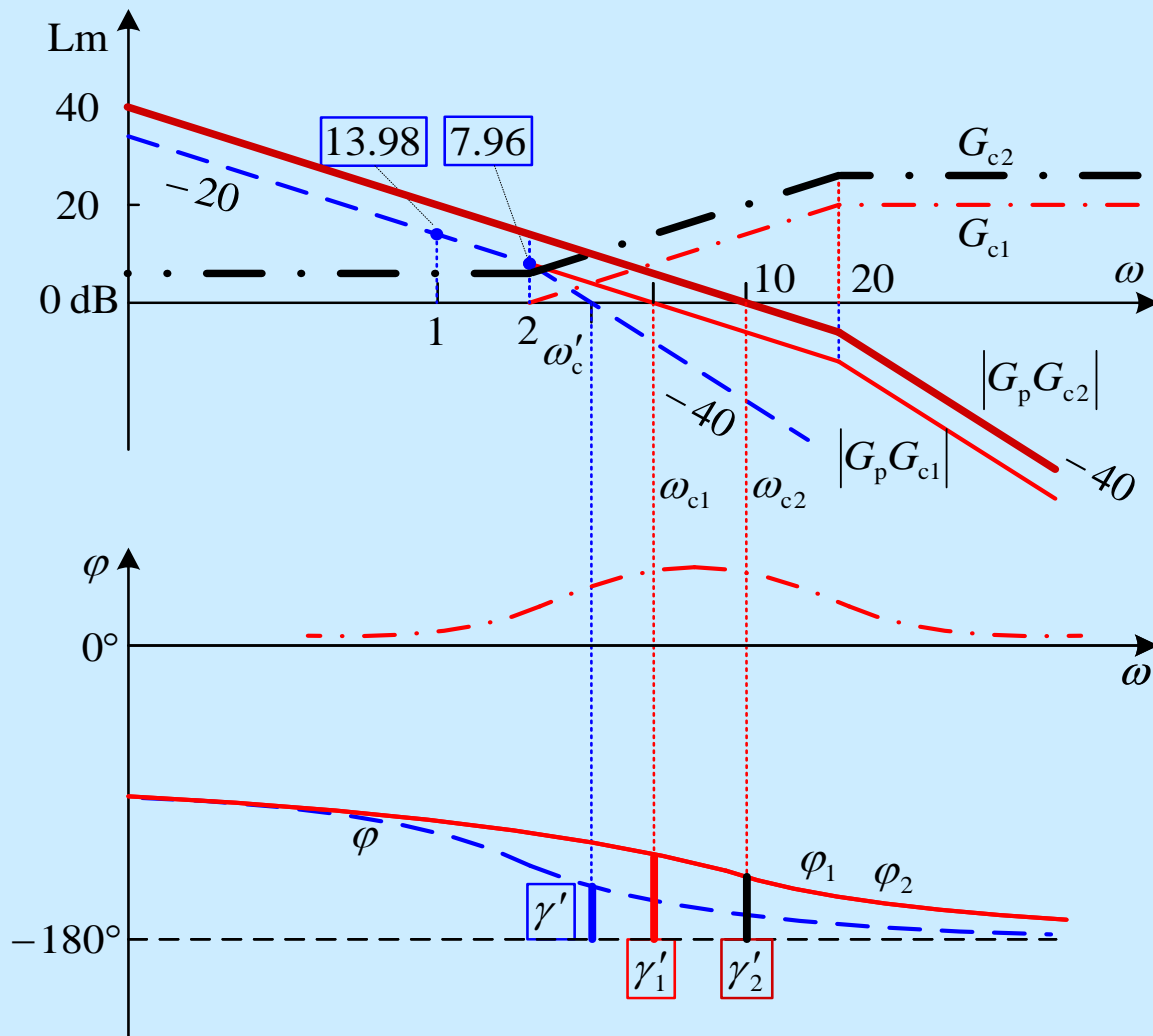
$$\frac{5}{s(1+0.5s)} \times \frac{2(1+0.5s)}{1+0.05s} = \frac{10}{s(1+0.05s)}$$

$$\omega_{c2} = 10 \text{ rad/s}$$

$$\arg G_p(\omega_{c2}) = -90^\circ - \arctan(0.05 \times 10) = -116.6^\circ$$

$$\gamma_2 = 63.43^\circ$$

$$K_{v2} = 10 \text{ s}^{-1}$$



## **(iv) 结论**

- **将超前校正的零点对消控制对象最靠近原点的极点，可改善系统的相角裕度**
- **设置合适的超前校正增益，可改善稳态误差**
- **固定超前零点，选择极点可改善相角裕量，但程度有限**
- **如果超前校正的零点、极点、开环增益合理选择，则系统的相角裕度、稳态误差等指标有可能同时得到改善**

### 例 6.2.3 给定如下对象(包含了控制器增益)

$$G_p(s) = \frac{K}{s(1+0.1s)(1+0.01s)}$$

试设计串联校正, 使得校正后系统满足如下指标

$$\gamma \geq 30^\circ \quad \omega_c \geq 45 \text{ rad/s} \quad K_v \geq 100 \text{ s}^{-1}$$

**Solution:**

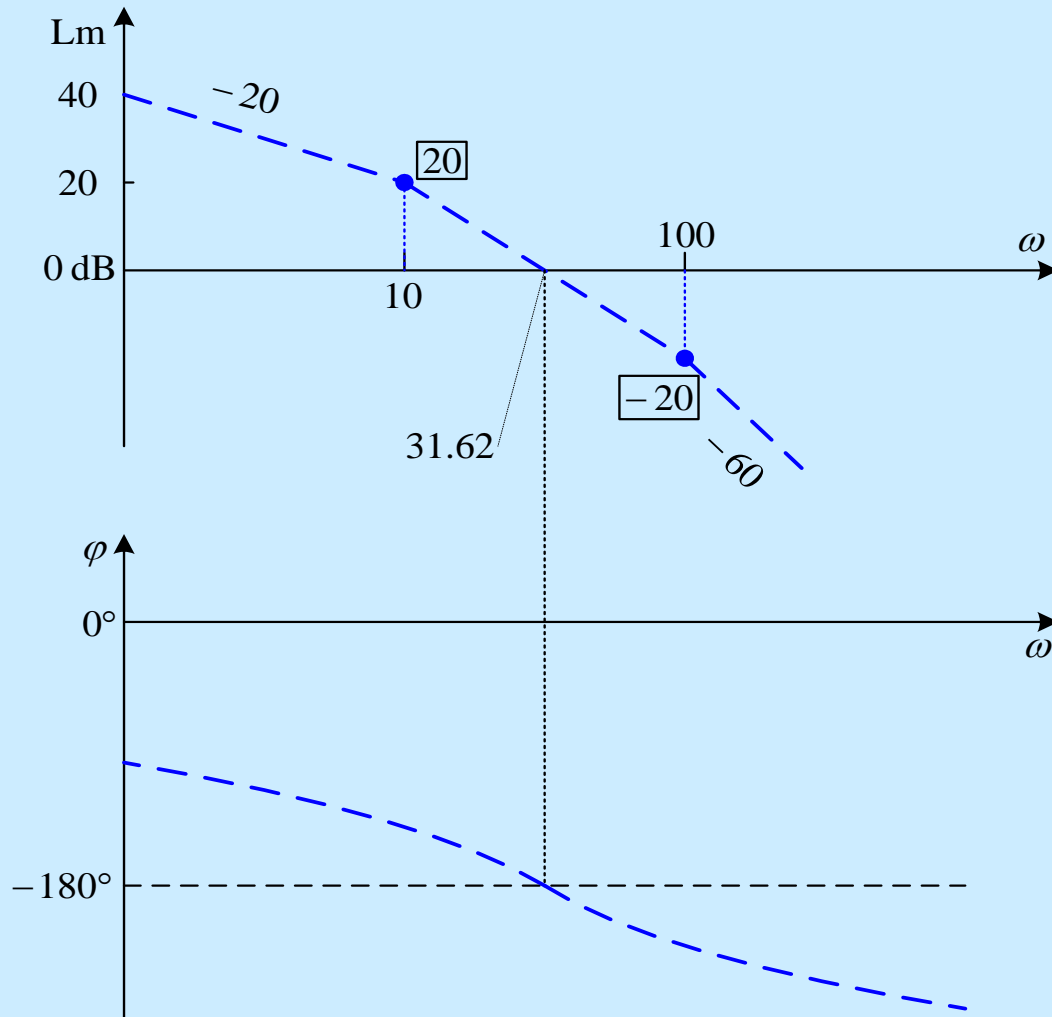
**(i) 确定期望的开环增益**

$$K_v = \lim_{s \rightarrow 0} sG_p(s) = K \quad K = 100$$

**注:  $K = 100$  包括了对象和控制器的增益**

$$K_c G_p(s) = \frac{100}{s(1+0.1s)(1+0.01s)}$$

## (ii) 增益校正后的系统分析



$$\begin{aligned}\omega_{gc} &= \sqrt{10 \times 100} \\ &= 31.62 \text{ rad/s} \\ \gamma &= 0^\circ\end{aligned}$$

### ● 精确计算

$$\omega_{pc} = 31.62 \text{ rad/s}$$

$$K_g = 0.8277 \text{ dB}$$

$$K_c G_p(s) = \frac{100}{s(1+0.1s)(1+0.01s)}$$

### (iii) 所需超前角

- 令增益校正后的超前控制器如下

$$\frac{G_c(s)}{K_c} = \frac{1+\alpha Ts}{1+Ts}$$

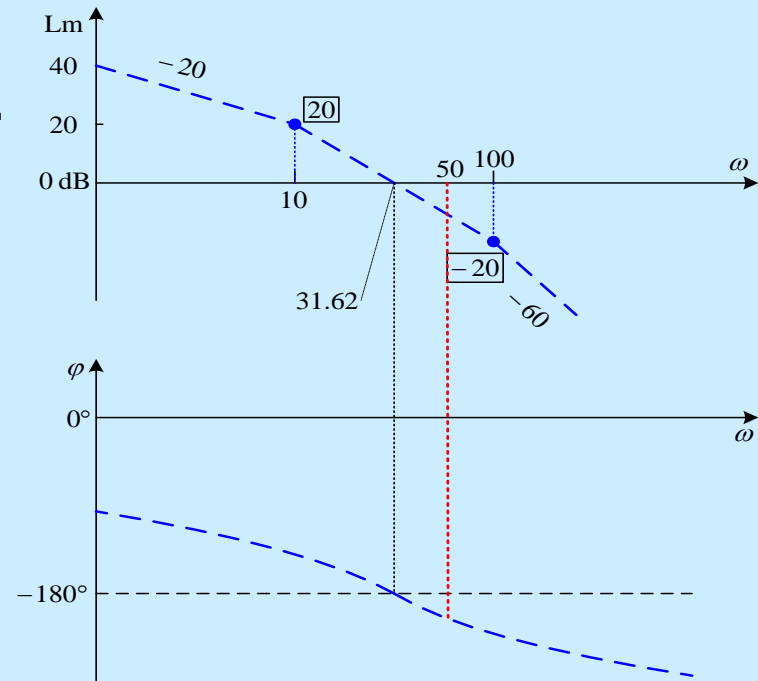
- 取  $\omega_c = 50 > 45$  rad/s,

则

$$\begin{aligned} \arg G_p(j50) &= -90^\circ - \arctan 5 - \arctan 0.5 \\ &= -90^\circ - 78.69^\circ - 26.57^\circ = -195.26^\circ \end{aligned}$$

- 由于要求相角裕量  $\gamma = 30^\circ$ , 因此超前控制器需提供  $\varphi = 45^\circ$

- 选择  $\varphi_m = \varphi + (5 \text{ to } 10)^\circ = 55^\circ$



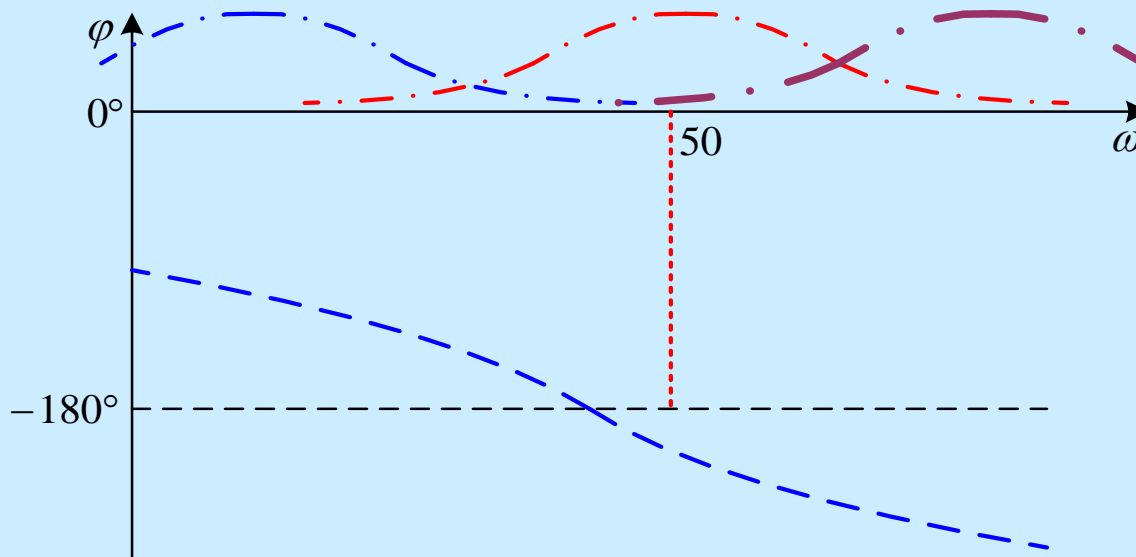
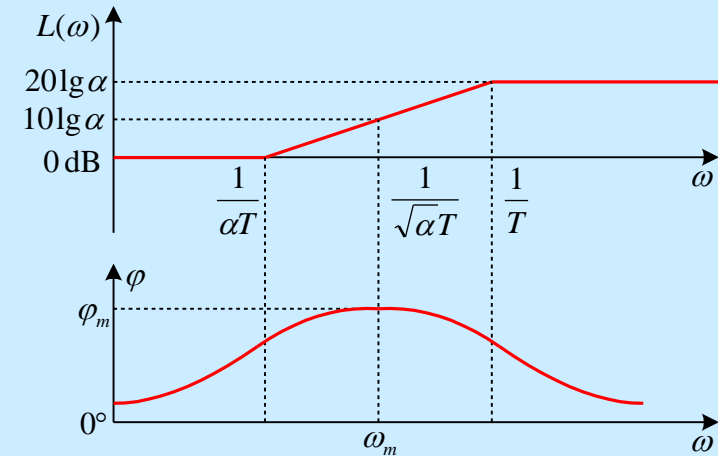
$$\frac{G_c(s)}{K_c} = \frac{1 + \alpha Ts}{1 + Ts}$$

(iv) 计算  $\alpha$

$$\alpha = \frac{1 + \sin \varphi_m}{1 - \sin \varphi_m} = 10$$

(v) 计算  $T$

- 合适选择  $T$  保证相角裕量



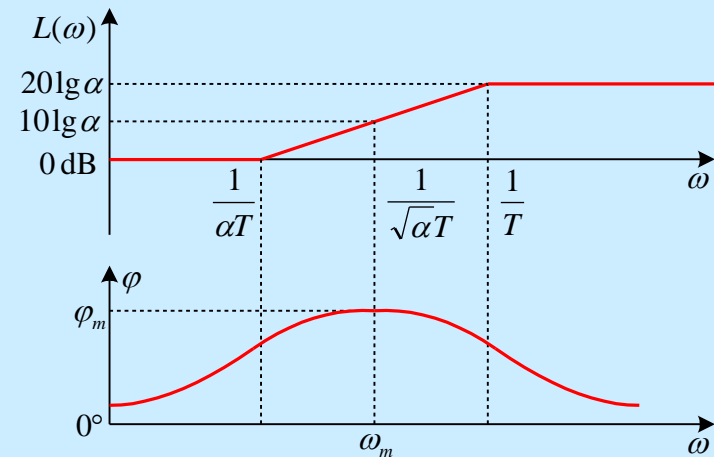
$$\frac{G_c(s)}{K_c} = \frac{1 + \alpha Ts}{1 + Ts}$$

- 令  $\omega_m = 50 \text{ rad/s}$ , 则

$$T = \frac{1}{\sqrt{\alpha} \omega_m} = 0.006325$$

$$\frac{1}{T} = 158.11$$

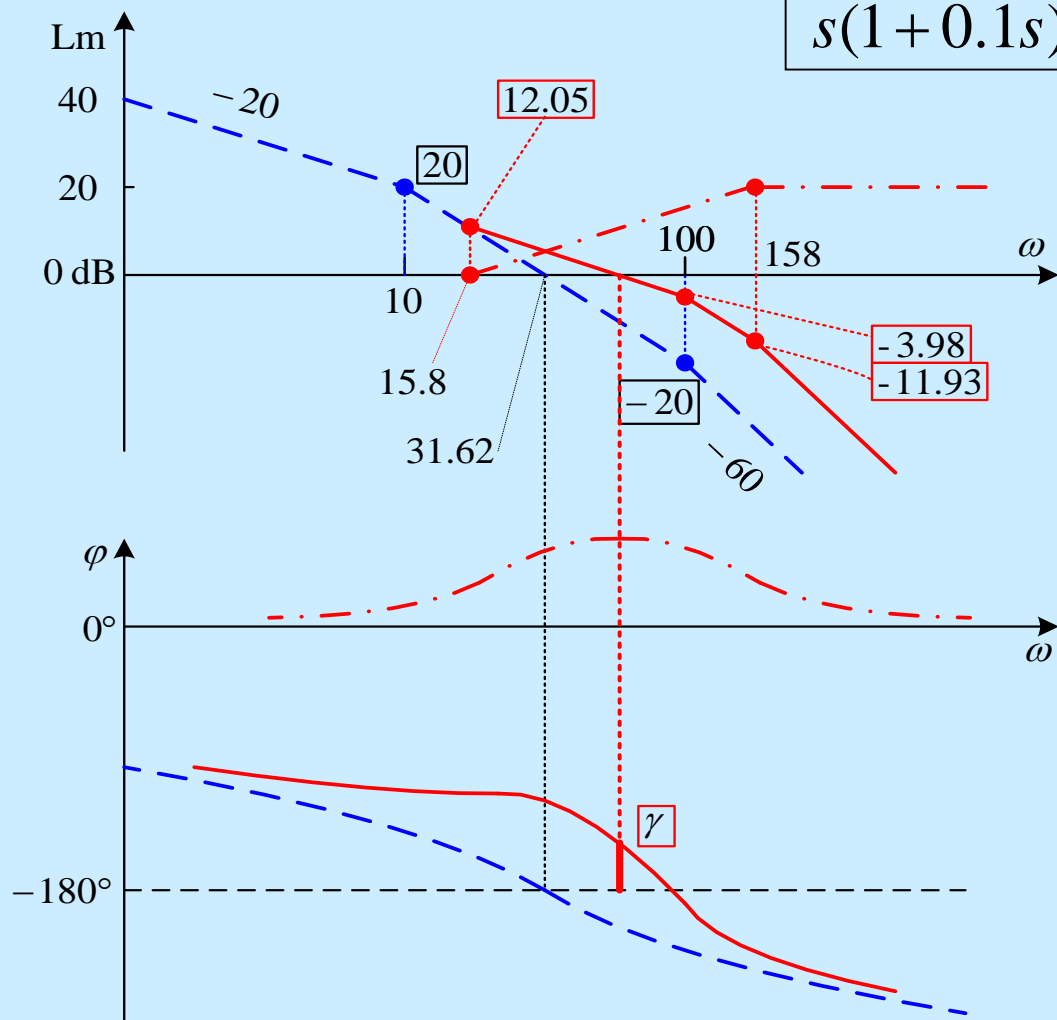
$$\alpha T = 0.06325 \quad \frac{1}{\alpha T} = 15.81$$



(vi) 超前校正的传递函数 
$$\frac{G_c(s)}{K_c} = \frac{1 + 0.06325s}{1 + 0.006325s}$$

- 低频段频率响应幅频没有变化, 从而保持  $K_v = 100 \text{ s}^{-1}$
- 注: 设置的增益截止频率在此步未必能保证
- 思考: 如何使所选频率成为截止频率?

## (vii) 性能检验



$$G_p(s)G_c(s) =$$

$$\frac{100(1 + 0.06325s)}{s(1 + 0.1s)(1 + 0.01s)(1 + 0.006325s)}$$

$$\begin{aligned} \frac{G_c(s)}{K_c} &= \frac{1 + 0.06325s}{1 + 0.006325s} \\ &= 10 \frac{s + 15.8}{s + 158} \end{aligned}$$

$$\begin{aligned} K_c G_p(s) &= \\ &= \frac{100}{s(1 + 0.1s)(1 + 0.01s)} \end{aligned}$$



• 渐近线法:

$$\omega_{gc} = 63.3$$

$$\gamma = 30.8^\circ$$

$$K_v = 100s^{-1}$$

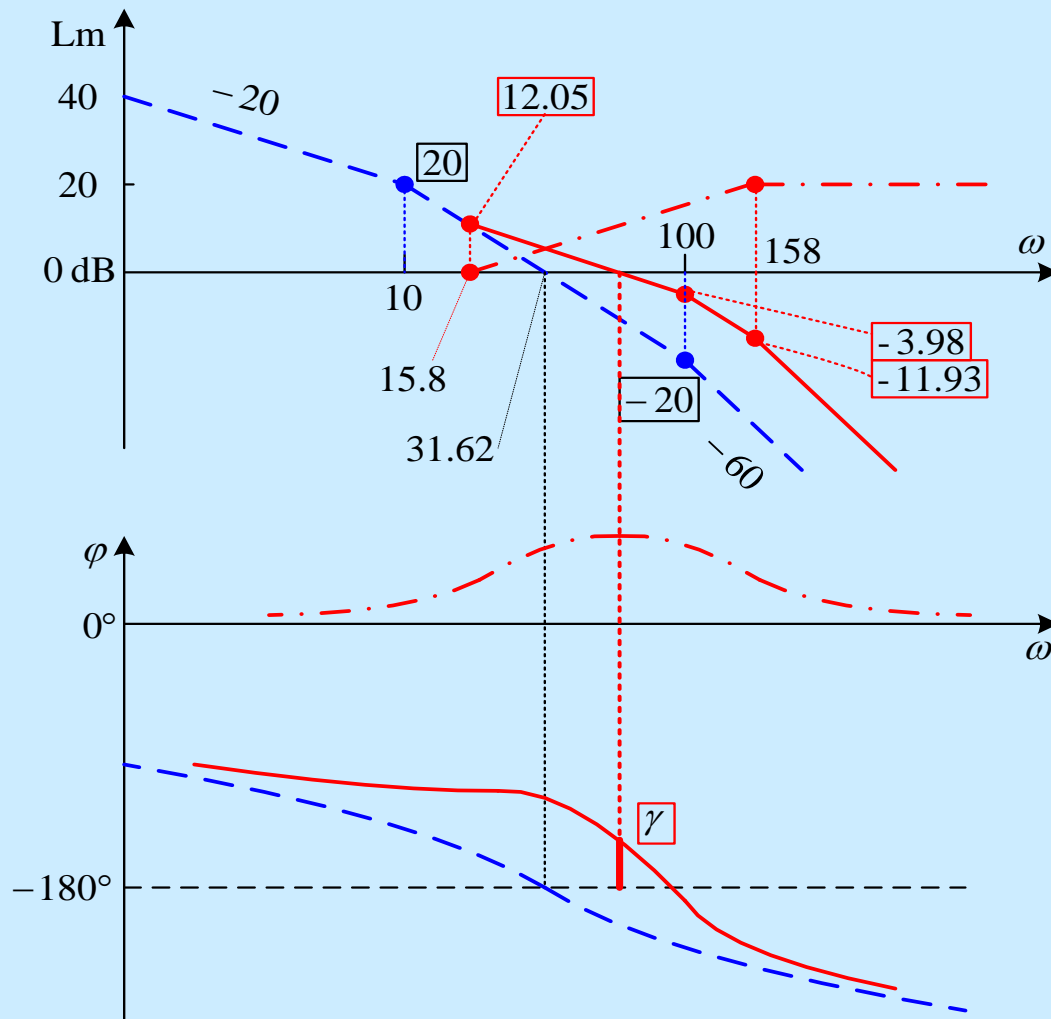
• 精确计算:

$$\omega_{gc} = 54$$

$$\gamma = 37^\circ$$

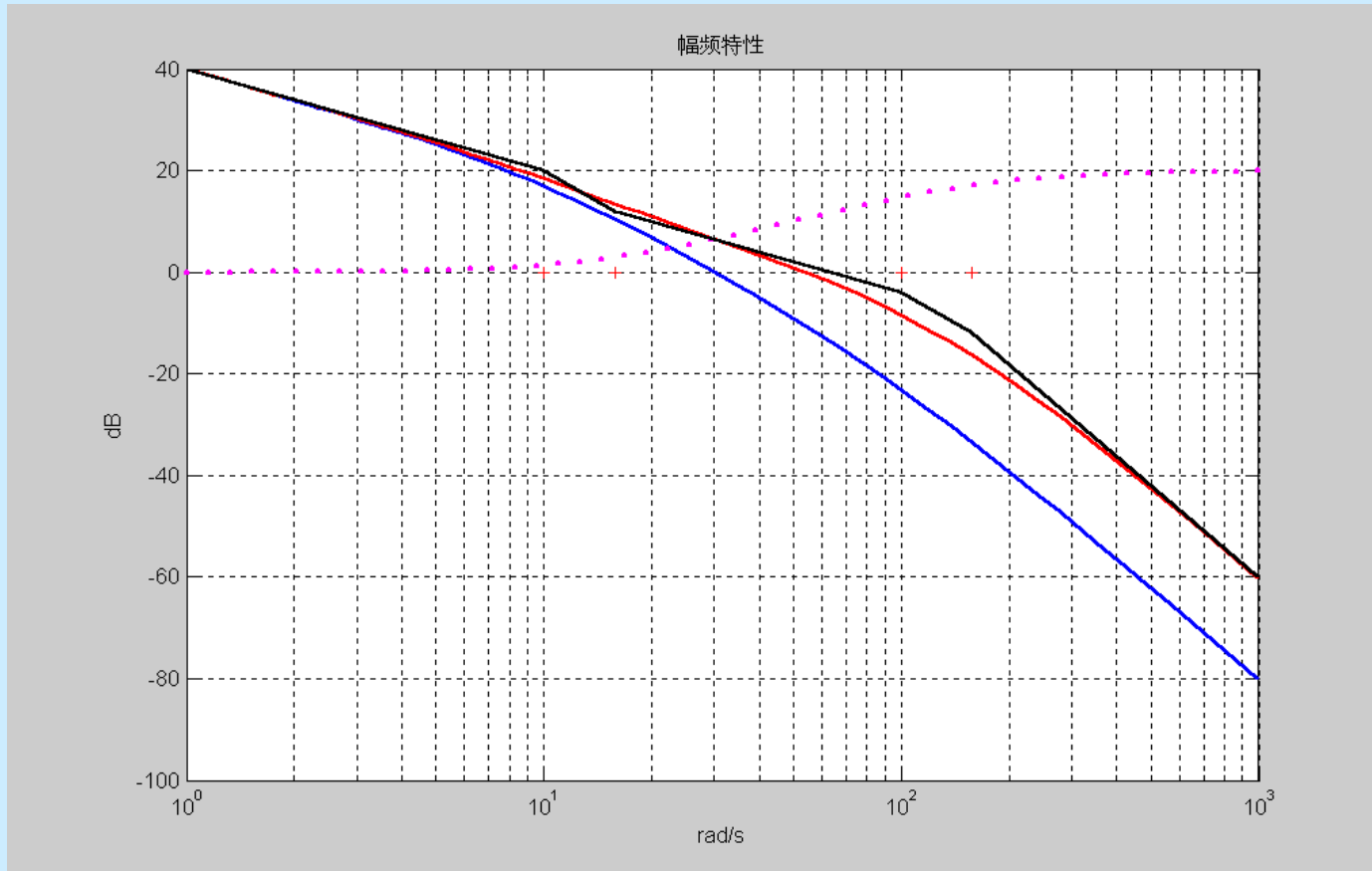
$$\omega_{pc} = 119.7$$

$$K_g = 11.31$$



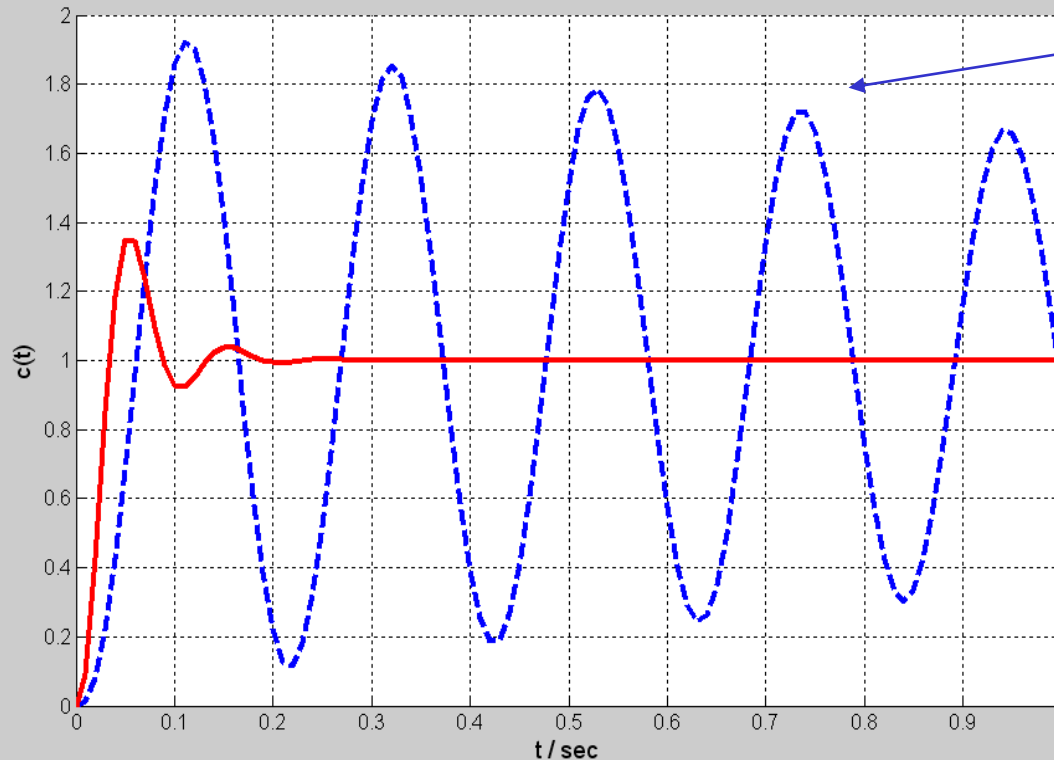
## (viii) 进一步检验

### • 对数幅频特性



### • `bode(numq, denq); grid on; margin(numq, denq)`

## • 校正前后的时间响应



### • 校正前

$$p_1 = -109.23$$

$$p_{2,3} = -0.39 \pm j30.26$$

### • 校正后

$$p_1 = -203.89$$

$$p_{2,3} = -23.47 \pm j62.75$$

$$p_4 = -17.27$$

$$z_1 = -15.81$$

### 3. 设计步骤小结（仅供参考）

(1) 根据稳态误差系数确定期望的开环增益

(2) 计算增益校正后系统的相角裕量

(3) 确定所需超前角  $\varphi$ ，并取  $\varphi_m = \varphi + (5 \text{ to } 10)^\circ$

(4) 计算

$$\alpha = \frac{1 + \sin \varphi_m}{1 - \sin \varphi_m}$$

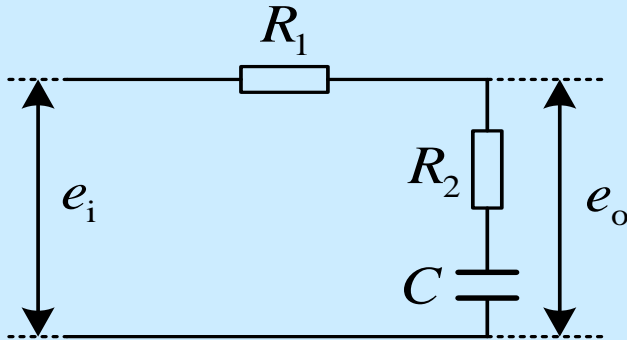
(5) 计算

$$T = \frac{1}{\sqrt{\alpha} \omega_m} \quad \alpha T = \frac{\sqrt{\alpha}}{\omega_m}$$

(6) 校正后系统的检验与分析

## 6.3 滞后校正

### 6.3.1 相位滞后网络



$$\frac{E_o(s)}{E_i(s)} = \frac{R_2Cs + 1}{(R_1 + R_2)Cs + 1}$$

- 令  $R_2C = T$ ,  $\frac{R_1 + R_2}{R_2} = \beta > 1$

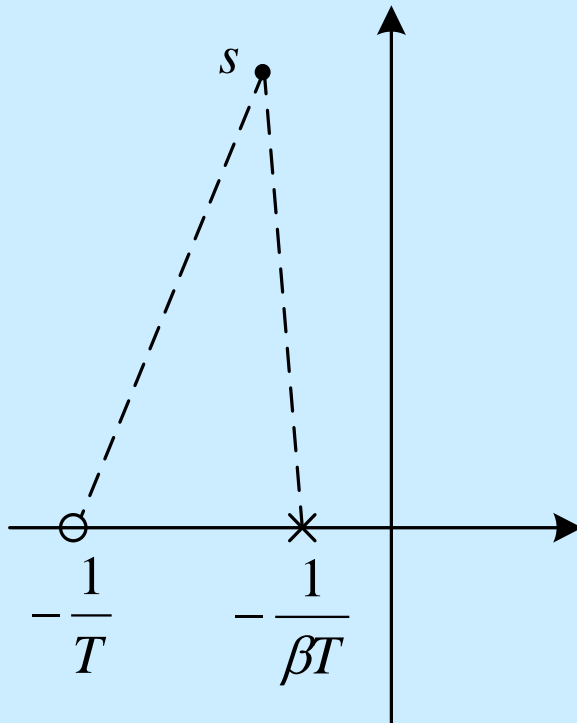
则

$$\frac{E_o(s)}{E_i(s)} = \frac{Ts + 1}{\beta Ts + 1} = \frac{1}{\beta} \cdot \frac{s + \frac{1}{T}}{s + \frac{1}{\beta T}}$$

- 说明: 存在其他实现方式, 有源电路, 见实验指示书比例积分

## 6.3.2 特性

### 1. 零-极点分布



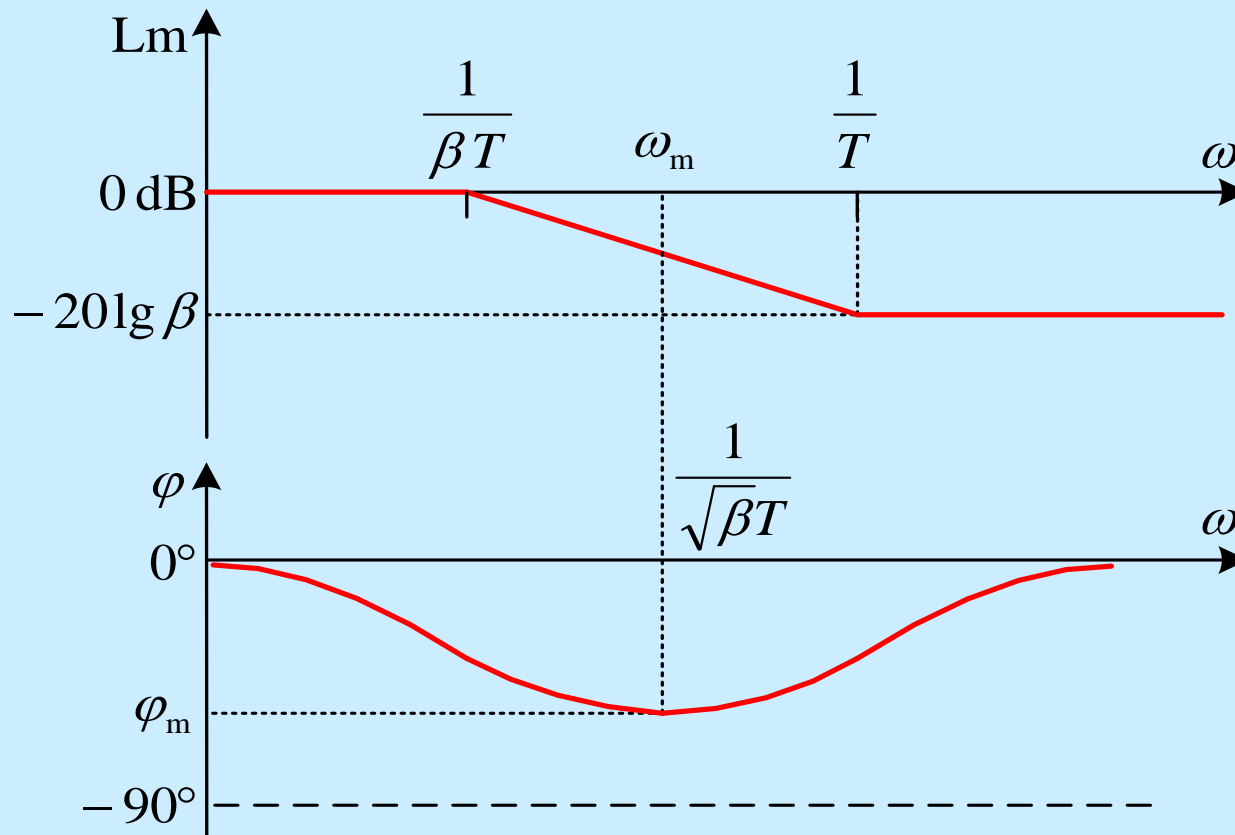
$$G_c(s) = \frac{1}{\beta} \cdot \frac{s + \frac{1}{T}}{s + \frac{1}{\beta T}}$$

$\beta > 1$

- 产生滞后角

## 2. Bode图

$$G_c(s) = \frac{1+Ts}{1+\beta Ts} \quad \beta > 1$$

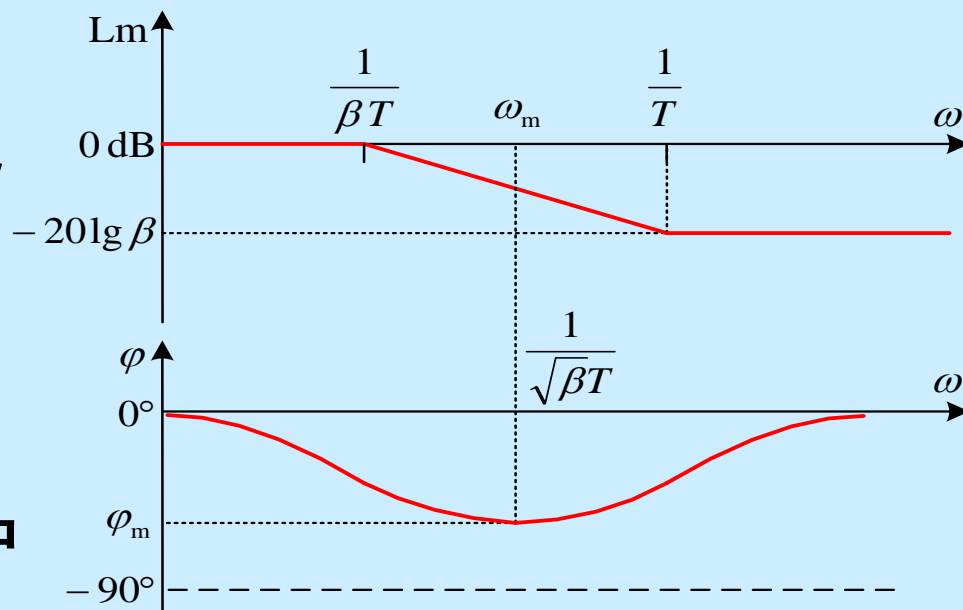


- 低通滤波特性
- 通常劣化暂态响应

- 通常作用在低频段，降低对中频段相角裕量的影响

- 额外加大增益，避免对中频段幅值的影响

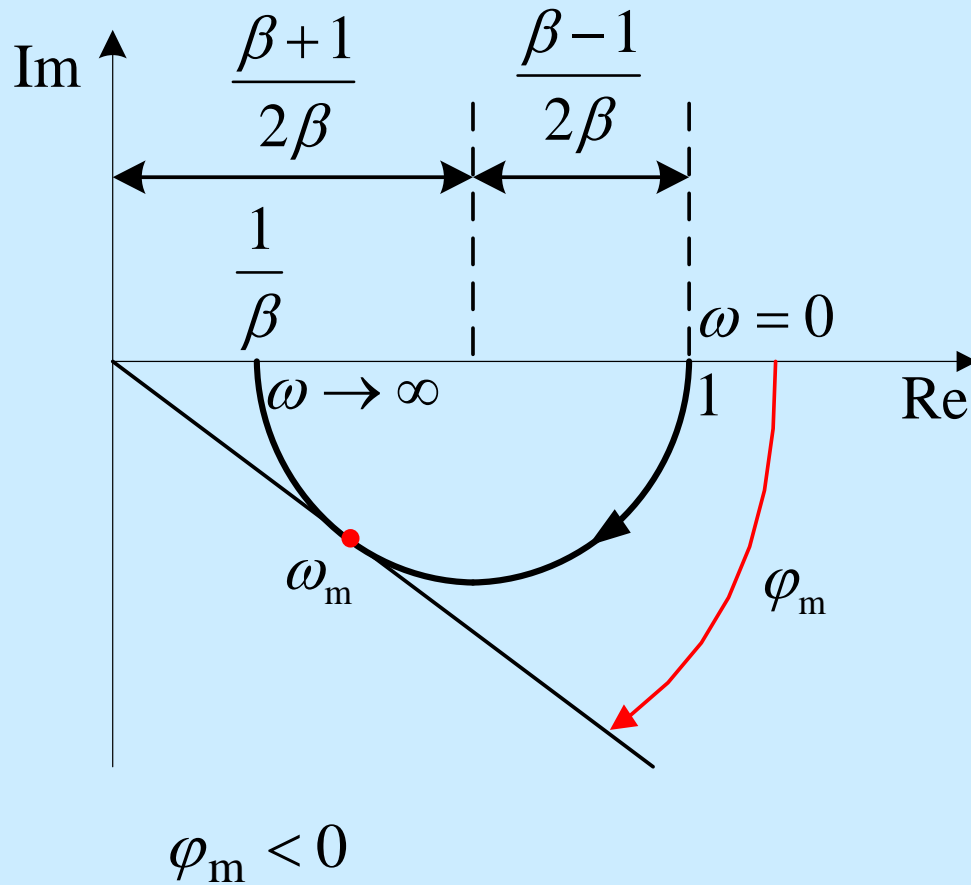
- 提高低频段的幅值，从而改善稳态误差





$$G_c(s) = \frac{1+Ts}{1+\beta Ts} \quad \beta > 1$$

### 3. Nyquist 图



$$\sin \varphi_m = \frac{1-\beta}{1+\beta}$$

$$\varphi_m = \arcsin \frac{1-\beta}{1+\beta}$$

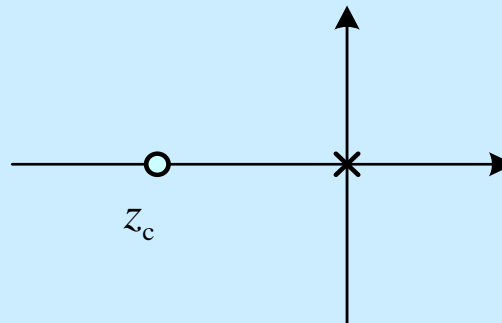
$$= \arctan \frac{1-\beta}{2\sqrt{\beta}}$$

### 6.3.3 基于根轨迹的滞后校正

#### 1. 积分校正

##### ◆ PI 控制器

$$G_c(s) = 1 + K_I \frac{1}{s} = \frac{s + z_c}{s}$$



- 如果原先的对象具有快速的暂态响应, 则 PI 控制器通过提高系统型次改善稳态误差  $e_{ss}$

##### ◆ PI控制器的优点

- 降低稳态误差

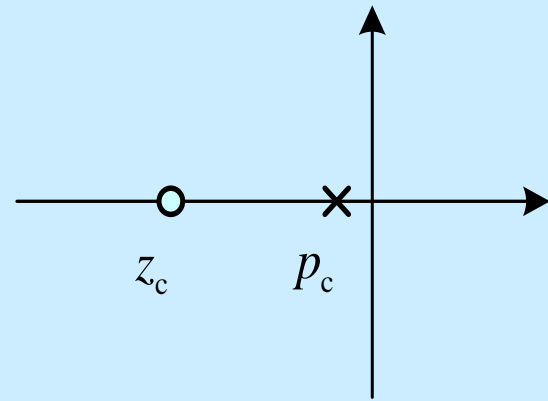
##### ◆ PI控制器的缺点

- 响应速度变慢
- 难以物理实现纯积分

## ◆ PI 控制器的变型

- 将极点从原点稍许左移
- 滞后校正  $p_c \ll 1$

$$G_c(s) = \frac{s - z_c}{s - p_c}$$



## 2. 改善稳态误差

- 以 I 型系统为例

$$G_p(s) = K \frac{\prod_{i=1}^m (s - z_i)}{s \prod_{j=1}^n (s - p_j)}$$

$$K'_v = K \frac{\prod_{i=1}^m (-z_i)}{\prod_{j=1}^n (-p_j)}$$

- 令  $G_c(s) = \frac{K_c}{\beta} \cdot \frac{s + \frac{1}{T}}{s + \frac{1}{\beta T}}$

$$K'_v = K \frac{\prod_{i=1}^m (-z_i)}{\prod_{j=1}^n (-p_j)}$$

- 则  $G_p(s)G_c(s) = \frac{K \prod_{i=1}^m (s - z_i)}{s \prod_{j=1}^n (s - p_j)} \cdot \frac{K_c}{\beta} \cdot \frac{s + \frac{1}{T}}{s + \frac{1}{\beta T}}$

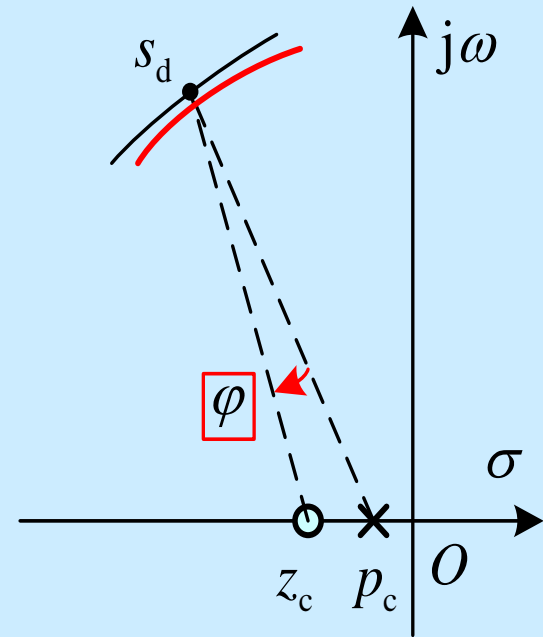
- $K_v = \frac{K \prod_{i=1}^m (-z_i)}{\prod_{j=1}^n (-p_j)} \cdot \frac{K_c}{\beta} \cdot \frac{T}{1} = K'_v K_c$

• 静态误差系数将增加  $K_c$  倍

### 3. 零极点的选择

(1)  $p_c$  和  $z_c$  必须紧挨，保证根轨迹较小的变化

- $p_c = z_c \Rightarrow$  根轨迹不变
- $p_c \approx z_c \Rightarrow$  根轨迹变化较小



- 结论:  
 $p_c \approx z_c$  能够保证根轨迹在主导极点附近几乎不变

## (2) $K_c = \beta$ 使得主导极点几乎不变

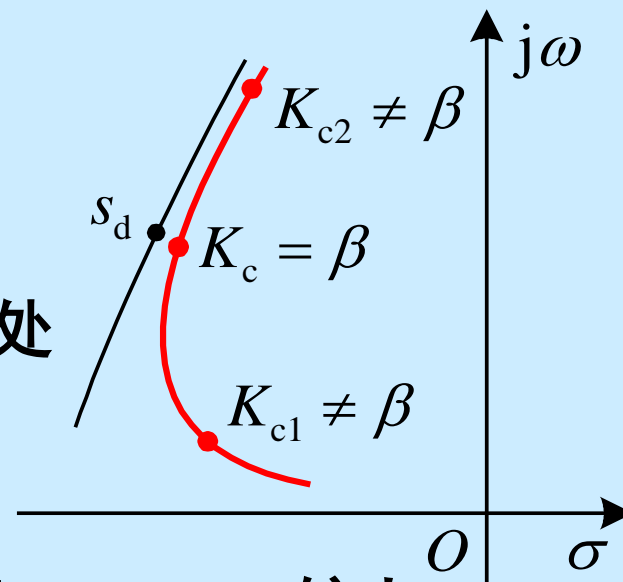
$$\bullet p_c \approx z_c \Rightarrow \left| \frac{s_d - z_c}{s_d - p_c} \right| \approx 1 \quad \bullet \text{根据幅值条件} \quad |G_p(s)G_c(s)| = 1$$

$$\begin{aligned} |G_p(s)G_c(s)| &= \left| \frac{K \prod_{i=1}^m (s_d - z_i)}{s_d \prod_{j=1}^n (s_d - p_j)} \cdot \frac{K_c}{\beta} \cdot \frac{s_d - z_c}{s_d - p_c} \right| \\ &= \left| \frac{K \prod_{i=1}^m (s_d - z_i)}{s_d \prod_{j=1}^n (s_d - p_j)} \right| \cdot \frac{K_c}{\beta} \cdot \left| \frac{s_d - z_c}{s_d - p_c} \right| \approx 1 \cdot \frac{K_c}{\beta} \cdot 1 = 1 \end{aligned}$$

$$K_c = \beta$$

## • 结论:

- \*  $K_c = \beta$ ,  $s_d$  几乎维持在原处
- \*  $K_c \neq \beta$ ,  $s_d$  将沿新的根轨迹移动到别处



(3) 高精度要求控制器的增益较大, 即  $\beta = z_c / p_c$  较大

(4)  $p_c$  和  $z_c$  必须紧邻远点

- $p_c \approx z_c$  减小对根轨迹的影响
- $z_c / p_c = \beta \gg 1$  实现较高的增益
- $z_c \ll 1$  且  $p_c \ll 1$  几乎不影响主导极点, 并改善稳态误差

## 4. 示例

### 例 6.3.1 给定如下对象

$$G_p(s) = \frac{1.06}{s(s+1)(s+2)}$$

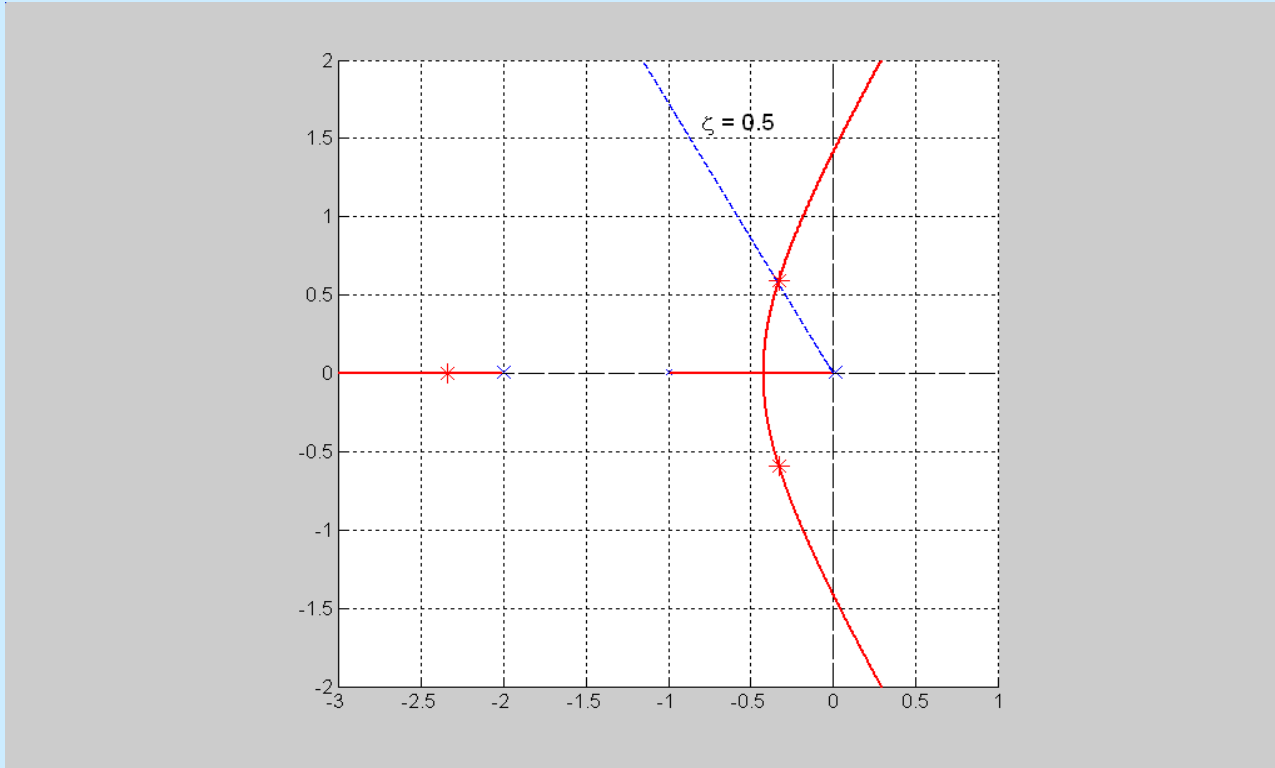
试设计滞后校正，使得校正后  $K_v = 5 \text{ sec}^{-1}$  且  $s_d$  几乎不变

**Solution:**



$$G_{CL}(s) = \frac{1.06}{s^3 + 3s^2 + 2s + 1.06}$$

## (i) 校正前系统分析



$$s_{1,2} = -0.33 \pm j0.59 \quad \omega_n = 0.67 \quad \zeta = 0.5$$

$$s_3 = -2.34 \quad K'_v = 0.53 \text{ s}^{-1}$$

$$G_c(s) = \frac{K_c}{\beta} \cdot \frac{s - z_c}{s - p_c}$$

$$z_c / p_c = \beta \gg 1$$

## (ii) 所需施加增益

$$K' = \frac{K_v}{K'_v} = \frac{5}{0.53} = 9.43 \approx 10$$

- 需要滞后校正来提高  $K_v$  并维持  $s_d$  不变

## (iii) 滞后校正控制器设计

- 取  $\beta = K' = 10$
- 选择  $z_c = -0.1$        $p_c = -0.01$

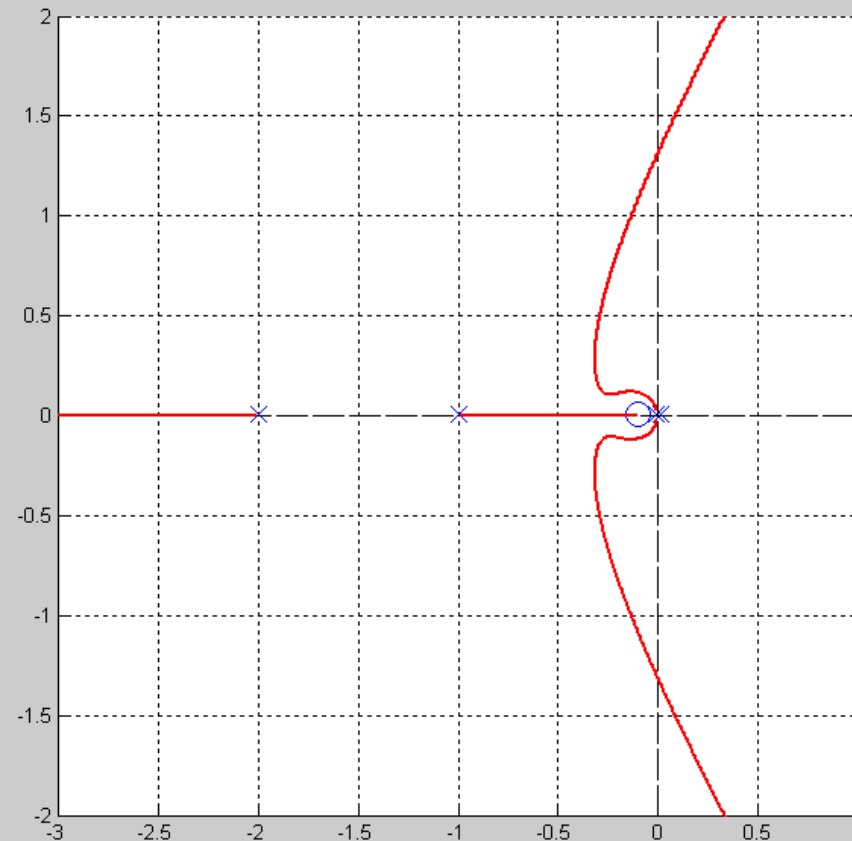
$$G_c(s) = \frac{K_c}{10} \cdot \frac{s + 0.1}{s + 0.01}$$

$$G_p(s)G_c(s) = \frac{1.06K_c}{10} \cdot \frac{s + 0.1}{s(s + 1)(s + 2)(s + 0.01)}$$

注:  $K_c$  可以取 10 来满足性能要求, 留在后面进一步讨论

$$G_p(s)G_c(s) = \frac{0.106K_c(s+0.1)}{s(s+1)(s+2)(s+0.01)}$$

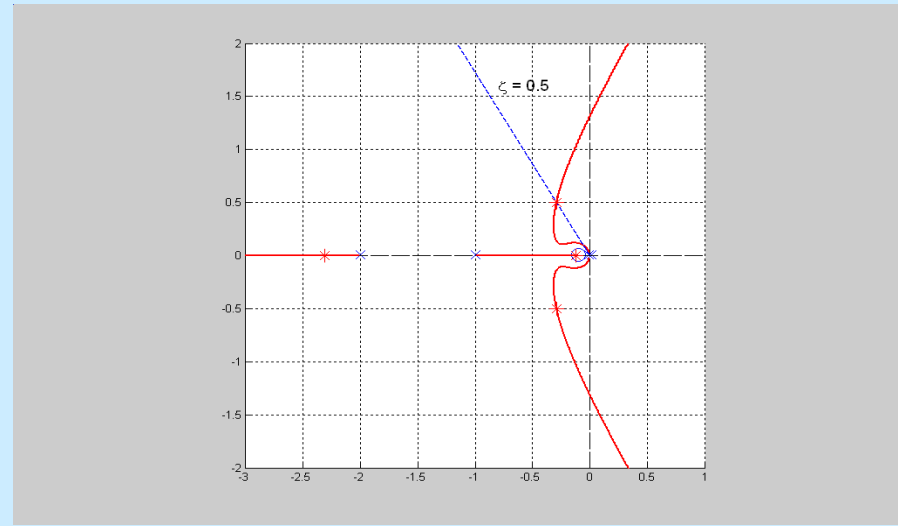
- 校正后的根轨迹



- 确定主导极点

\* 试凑法确定  $\zeta = 0.5$  对应的主导极点如下:

$$s_{1,2} = -0.2896 \pm j0.5016$$



- 根据幅值条件确定控制器增益

$$\left| G_p(s_1) G_c(s_1) \right| = 1$$

$$\frac{1.06 K_c}{10} = \left| \frac{s(s+1)(s+2)(s+0.01)}{s+0.1} \right|_{s=s_1} = 0.9615$$

$$K_c = 9.0708$$

- 滞后校正控制器  $G_c(s) = 0.9071 \cdot \frac{s+0.1}{s+0.01}$

$$s_{1,2} = -0.33 \pm j0.59$$

$$\omega_n = 0.676$$

#### (iv) 校正后的系统检验

$$s_{1,2} = -0.2896 \pm j0.5016 \text{ (主导极点)}$$

$$\leftarrow \omega_n = 0.579$$

$$s_3 = -0.1243 \approx z_c$$

$$s_4 = -2.3065 = -7.96 \times 0.2896 = -7.96\sigma$$

$$K_v = 4.8075 < 5 \text{ s}^{-1}$$

$$G_c(s) = 0.9071 \cdot \frac{s + 0.1}{s + 0.01}$$

#### (v) 进一步改善

(a) 减小  $|z_c|$  且保持  $\beta = 10$ , 可降低对根轨迹的影响

• 譬如

$$G_{c1}(s) = 0.95 \cdot \frac{s + 0.05}{s + 0.005}$$

$$s_{1,2} = -0.314 \pm j0.544 \quad K_v = 5.04 \text{ s}^{-1}$$

$$\uparrow$$

$$\omega_n = 0.628$$

(b) 加大  $\beta$  且保持  $z_c$  不变, 可提高稳态误差系数

• 譬如

$$G_{c2}(s) = 0.905 \cdot \frac{s + 0.1}{s + 0.008}$$

$$\beta = 12.5$$

$$s_{1,2} = -0.2885 \pm j0.4997$$

$$K_v = 5.998 \text{ s}^{-1} \quad \begin{array}{c} \uparrow \\ \omega_n = 0.577 \end{array}$$

$$G_c(s) = 0.9071 \frac{s + 0.1}{s + 0.01}$$

$$s_{1,2} = -0.33 \pm j0.59$$

$$K_v = 4.8075 \text{ s}^{-1}$$

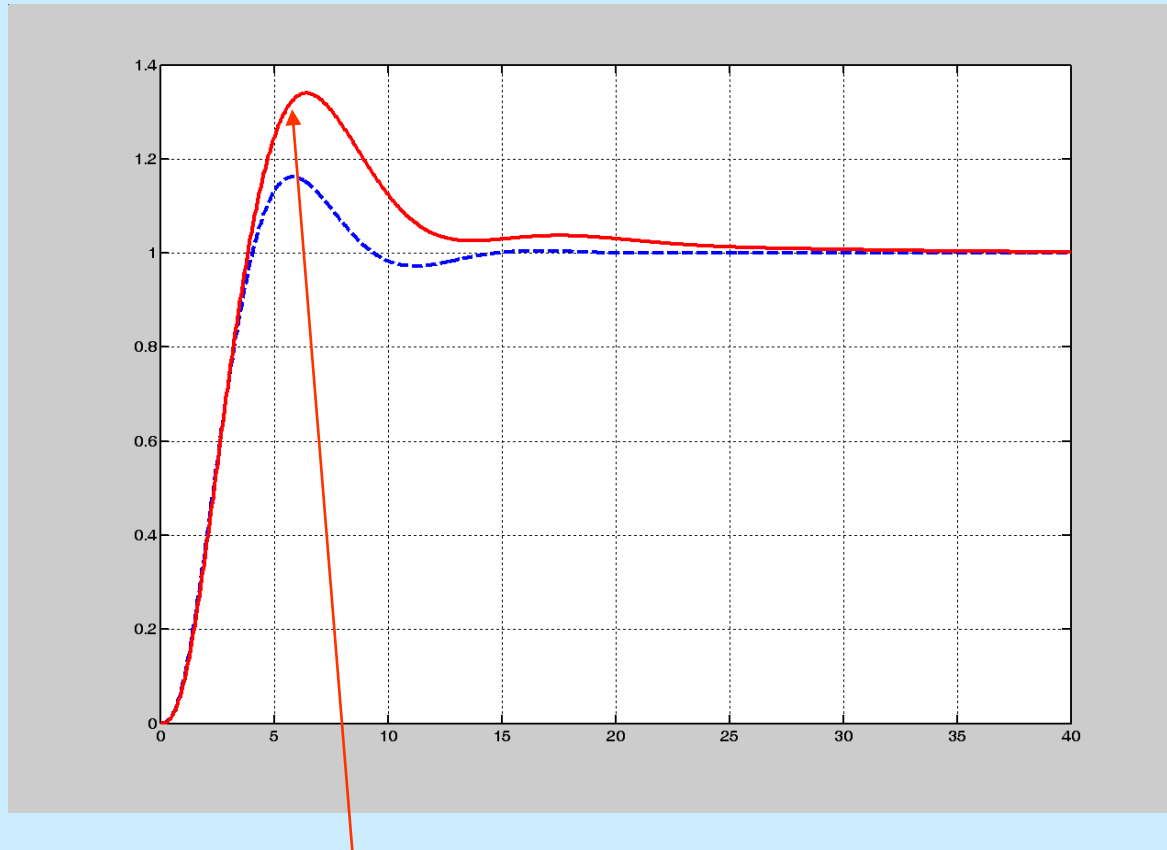
$$G_{c1}(s) = 0.95 \frac{s + 0.05}{s + 0.005}$$

$$s_{1,2} = -0.314 \pm j0.544$$

$$K_v = 5.04 \text{ s}^{-1}$$

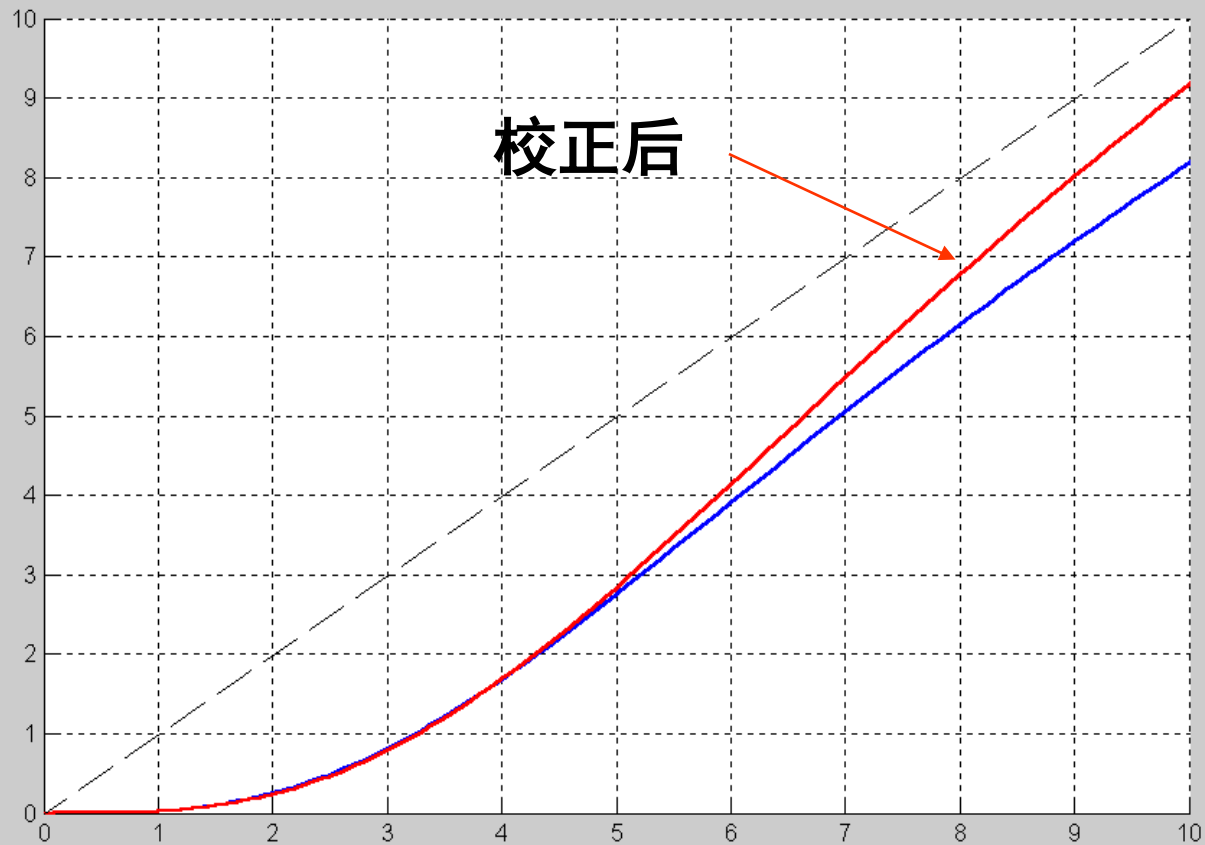
## (vi) 时间响应

- 校正前后系统的单位阶跃响应  $G_c(s)$



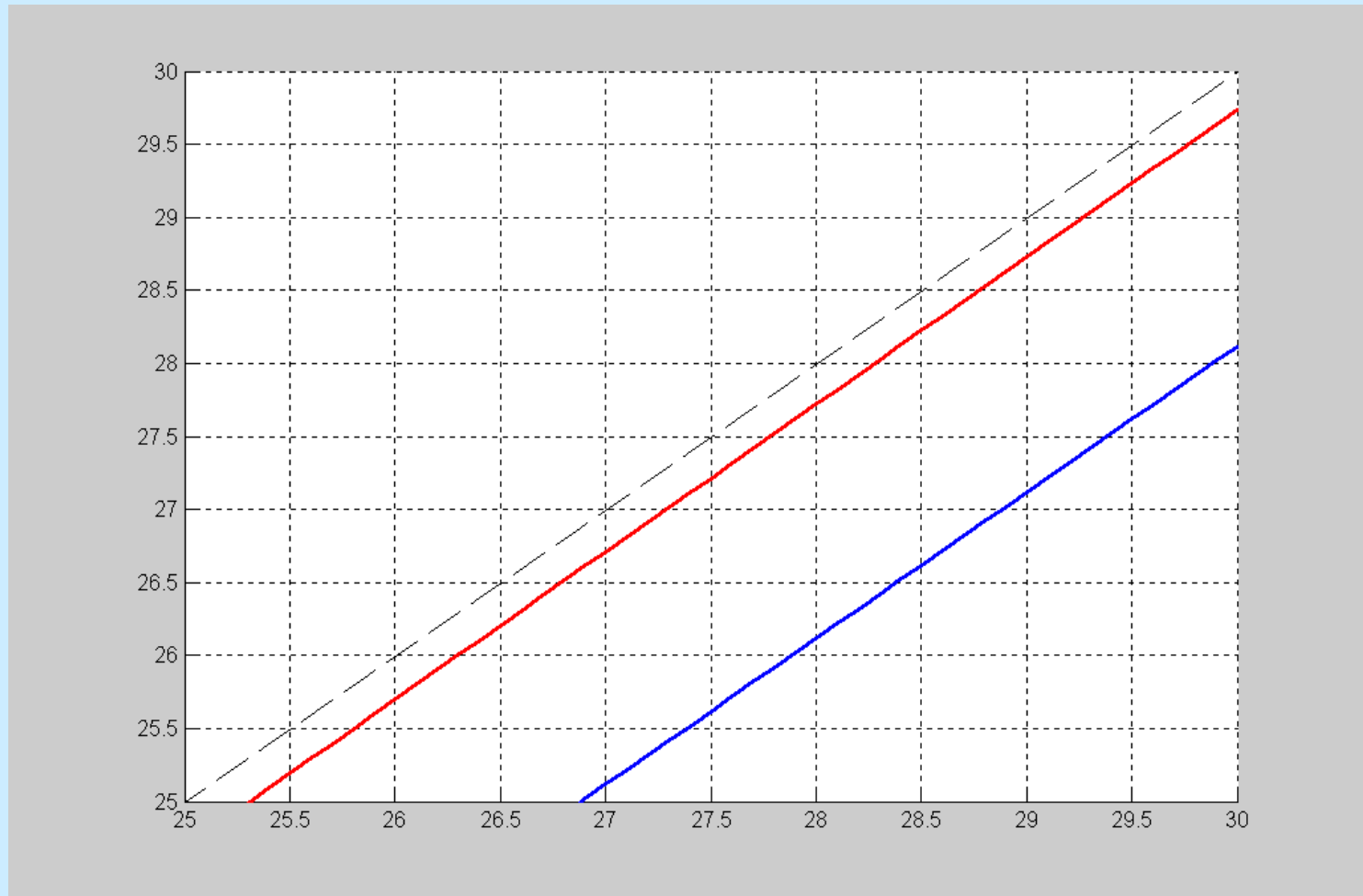
( **Red line** - 校正后 )

- 校正前后的单位斜坡响应  $G_{c1}(s)$

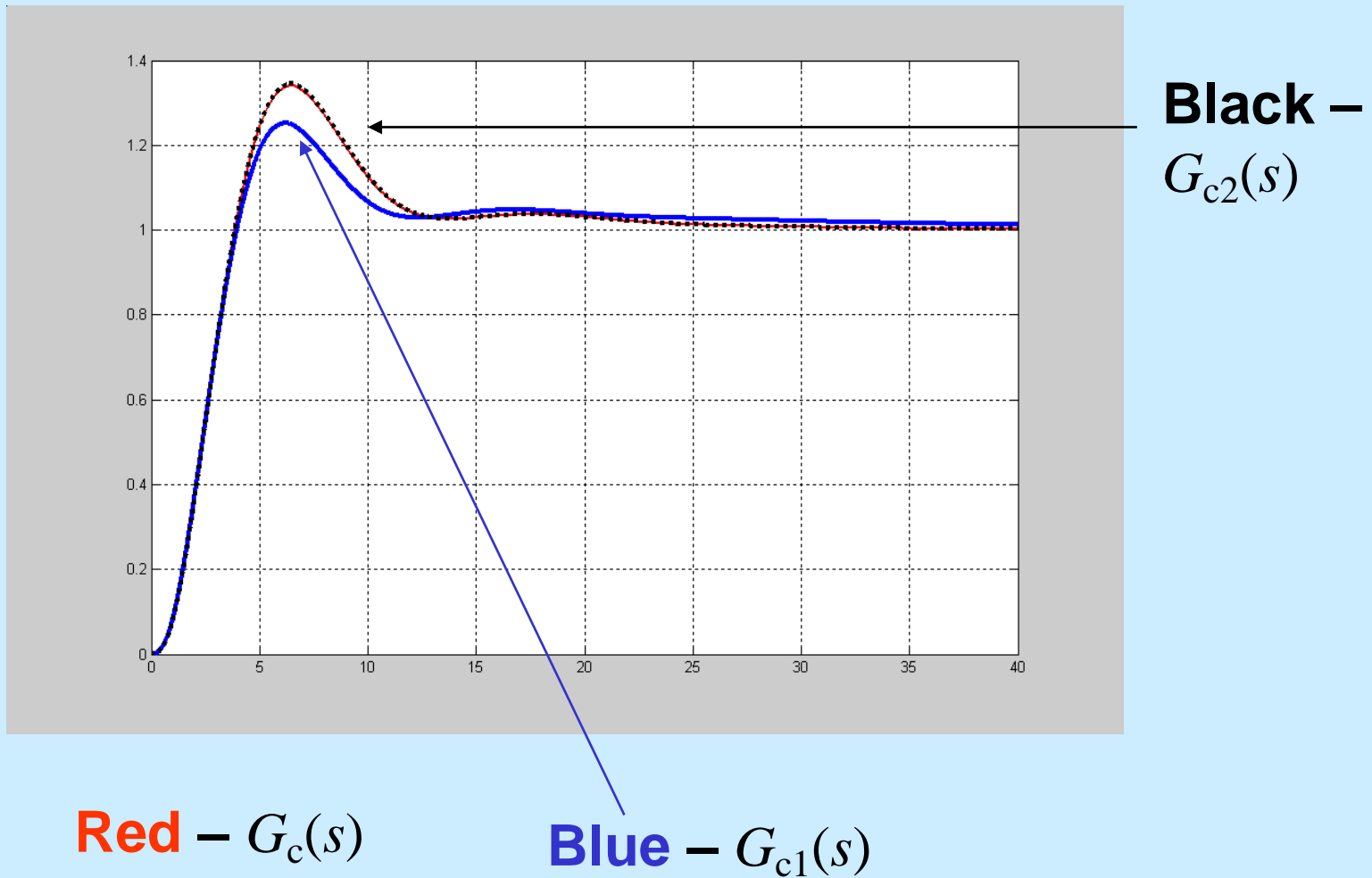




- 校正前后的单位斜坡响应  $G_{c2}(s)$



- 不同滞后校正对应的单位阶跃响应



◆ 说明:

(1)  $K_v$  近似增加  $\beta$  倍

(2)  $p_c$  和  $z_c$  之间的距离导致  $s_d$  变化较小

$$\begin{aligned}\arg G_c(s_d) &= \arg \frac{s+0.1}{s+0.01} \bigg|_{s=-0.33+j0.59} \\ &= \arctan \frac{0.59}{-0.23} - \arctan \frac{0.59}{-0.32} = -7.17^\circ\end{aligned}$$

$$\arg G_{c1}(s_d) = \arg \frac{s+0.05}{s+0.005} \bigg|_{s=-0.33+j0.59} = -3.46^\circ$$

(3) 响应变缓:  $\omega_n \downarrow, t_s \uparrow$

## 5. 设计步骤小结（仅供参考）

(1) 绘制对象的根轨迹，确定主导极点  $s_d$

(2) 计算所需施加的增益

(3) 确定  $p_c$ ,  $z_c$ ,  $K_c$

(4) 检验  $G_p(s)G_c(s)$  根轨迹上的主导极点

$$G_c(s) = \frac{1 + Ts}{1 + \beta Ts}$$

### 6.3.4 基于Bode图的滞后校正

1. 选择  $\frac{1}{T}$

$$\frac{1}{T} < \frac{\omega_c}{10} \left( \frac{\omega_c}{5} \right)$$

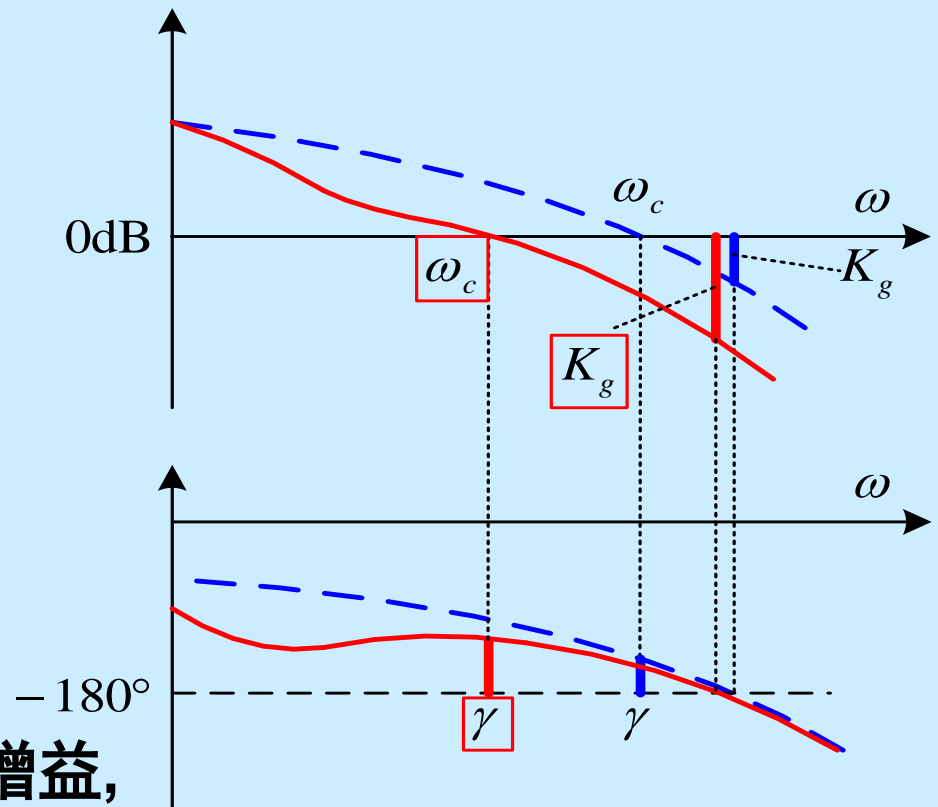
$$\Rightarrow |\arg G_c(j\omega_c)| < 5^\circ$$

2. 图形解释

(i) 假设对象具有高增益

• 如果滞后校正不额外施加增益,

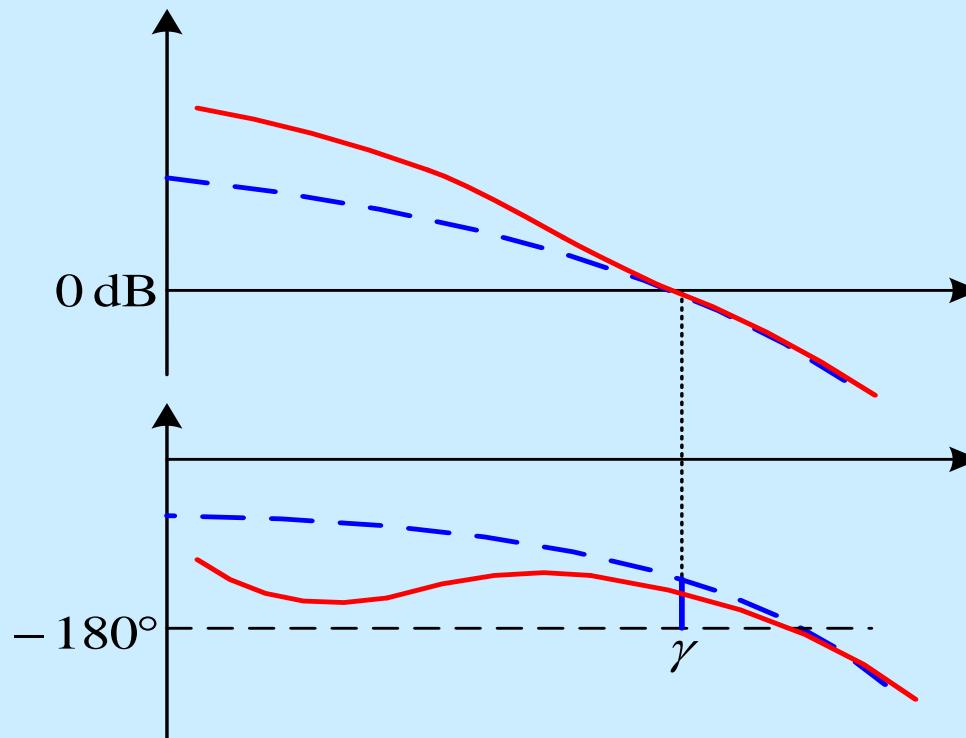
则  $\omega_c \downarrow$ ,  $\gamma \uparrow$ ,  $K_g \uparrow$



$$G_c(s) = K_c \frac{1+Ts}{1+\beta Ts}$$

## (ii) 假设对象具有高稳定性

- 滞后校正额外施加增益可提高  $K_v$



### 3. 示例

**例 6.3.2** 给定对象的传递函数如下 (包含了控制器增益)

$$G_p(s) = \frac{K}{s(1+s)(1+0.5s)}$$

**试设计串联校正, 使得校正之后系统满足如下指标**

$$\gamma \geq 40^\circ \quad K_g \geq 10 \text{ dB} \quad K_v \geq 5 \text{ s}^{-1}$$

**Solution:**

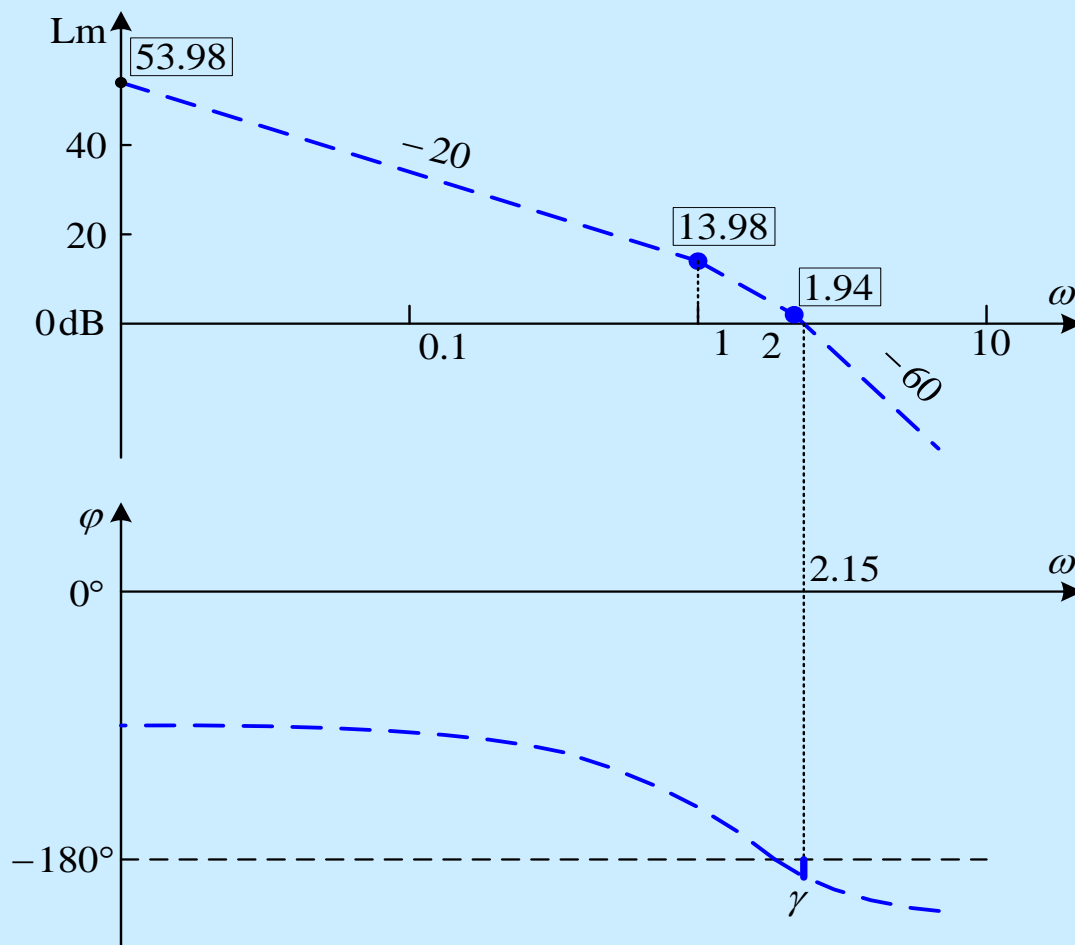
**(i) 确定开环增益**

$$K_v = \lim_{s \rightarrow 0} s G_p(s) = K = 5$$

$$G_p(s) = \frac{5}{s(1+s)(1+0.5s)}$$

## (ii) 增益校正后的系统分析

$$G_p(s) = \frac{5}{s(1+s)(1+0.5s)}$$



$$\omega_{gc} = 2.1544$$

$$\gamma = -22.2293^\circ$$

• 闭环系统不稳定

$$\omega_{pc} = 1.5$$

$$K_g = -6$$

• 思考: 为什么不能采用超前校正?



$$G_p(s) = \frac{5}{s(1+s)(1+0.5s)}$$

(iii) 选择  $\omega_{gc}$

$$\gamma = (40 + 12)^\circ = 52^\circ$$

$$\arg G_p(j\omega) =$$

$$\arg \frac{1}{(j\omega)(1+j\omega)(1+j0.5\omega)}$$

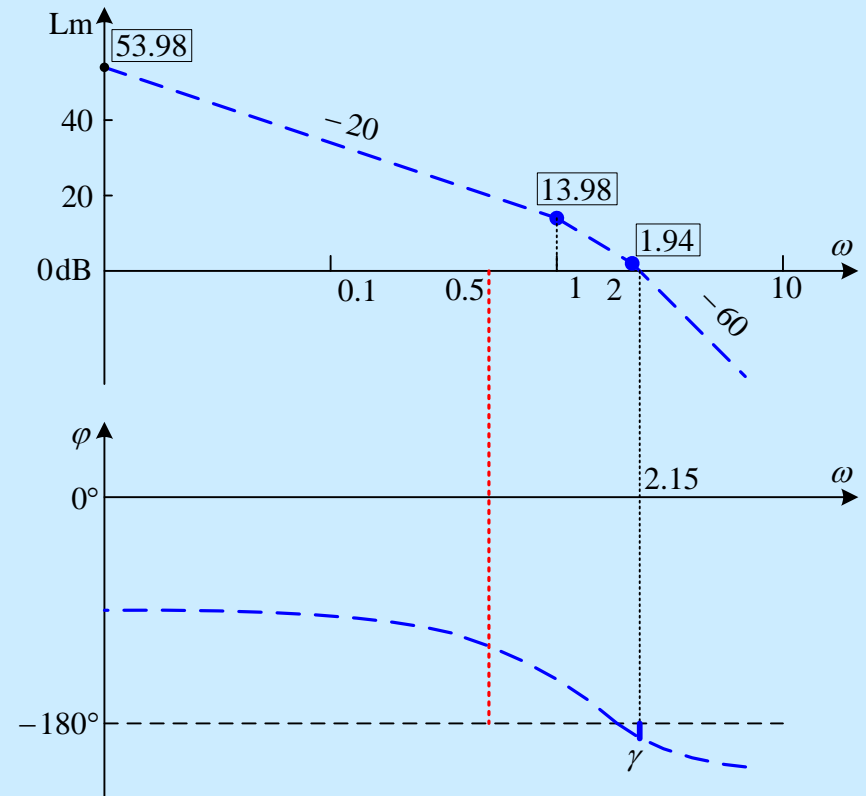
$$= -90^\circ - \arctan \omega$$

$$- \arctan 0.5\omega$$

$$= -128^\circ$$

$$\omega = 0.5 \text{ rad/s}$$

- 取新的截止频率  $\omega_{gc} = 0.5 \text{ rad/s}$



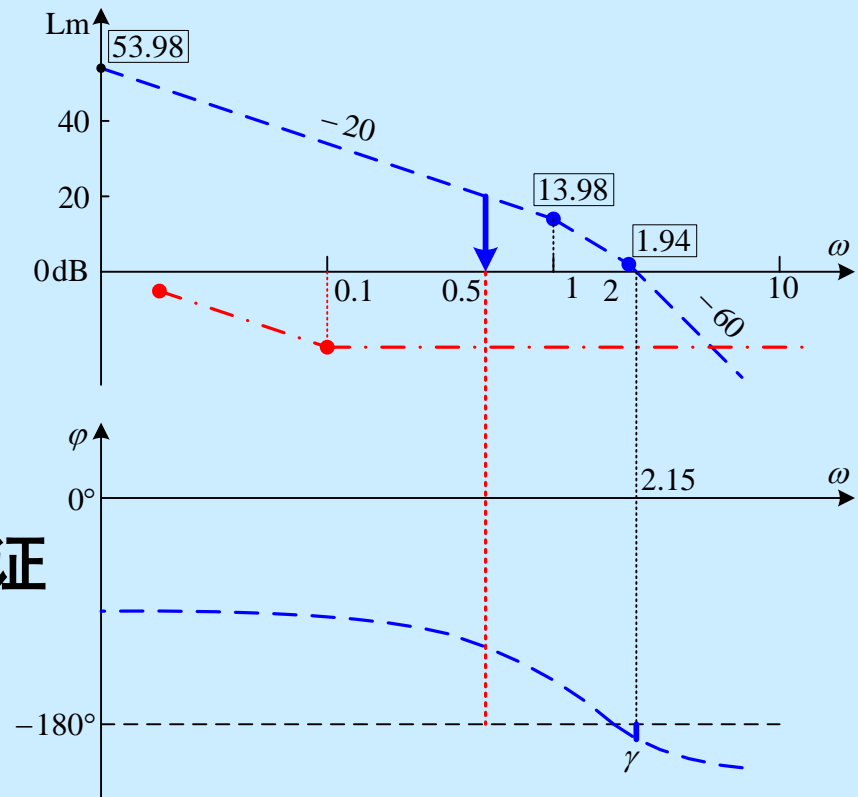
(iv) 取  $\frac{1}{T} = \frac{\omega_{gc}}{5} = 0.1$   
 $T = 10$

(v) 计算  $\beta$

- $|G_p(j0.5)| \approx 10 = 20 \text{ dB}$
- 滞后校正必须在  $0.5 \text{ rad/s}$  处降低幅值  $20 \text{ dB}$ , 来保证  $\omega_{gc} = 0.5 \text{ rad/s}$

- $-20 \lg \beta = -20 \quad \beta = 10$

$$\frac{1}{\beta T} = 0.01$$

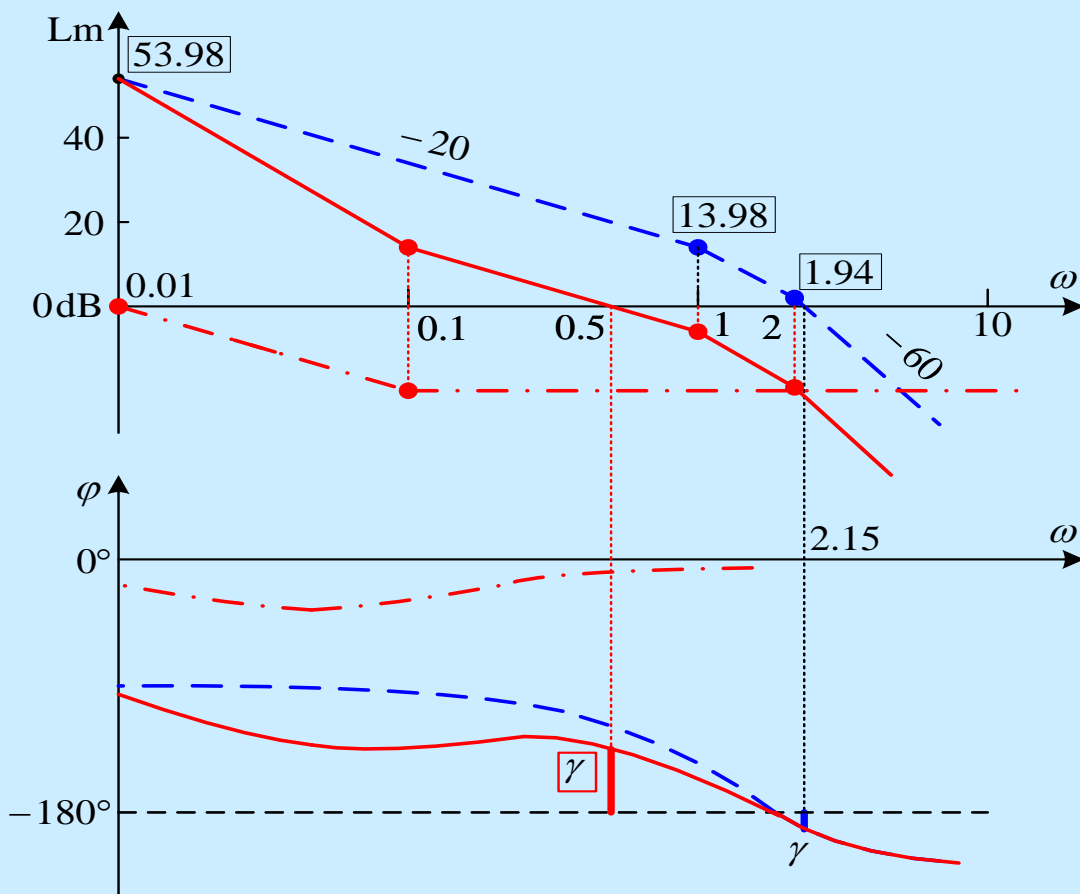


- $G_c(s) = \frac{1+Ts}{1+\beta Ts} = \frac{1+10s}{1+100s}$

## (vi) 校正后的系统检验

$$G_p(s)G_c(s) = \frac{5(1+10s)}{s(1+s)(1+0.5s)(1+100s)}$$

$$G_c(s) = \frac{1+10s}{1+100s}$$



$$\omega_{gc} = 0.5$$

$$\gamma = 39^\circ$$

$$\omega_{pc} = 1.32$$

$$K_g = 11$$

$$K_v = 5 \text{ s}^{-1}$$

**(精确计算)**

$$\omega_{gc} = 0.454$$

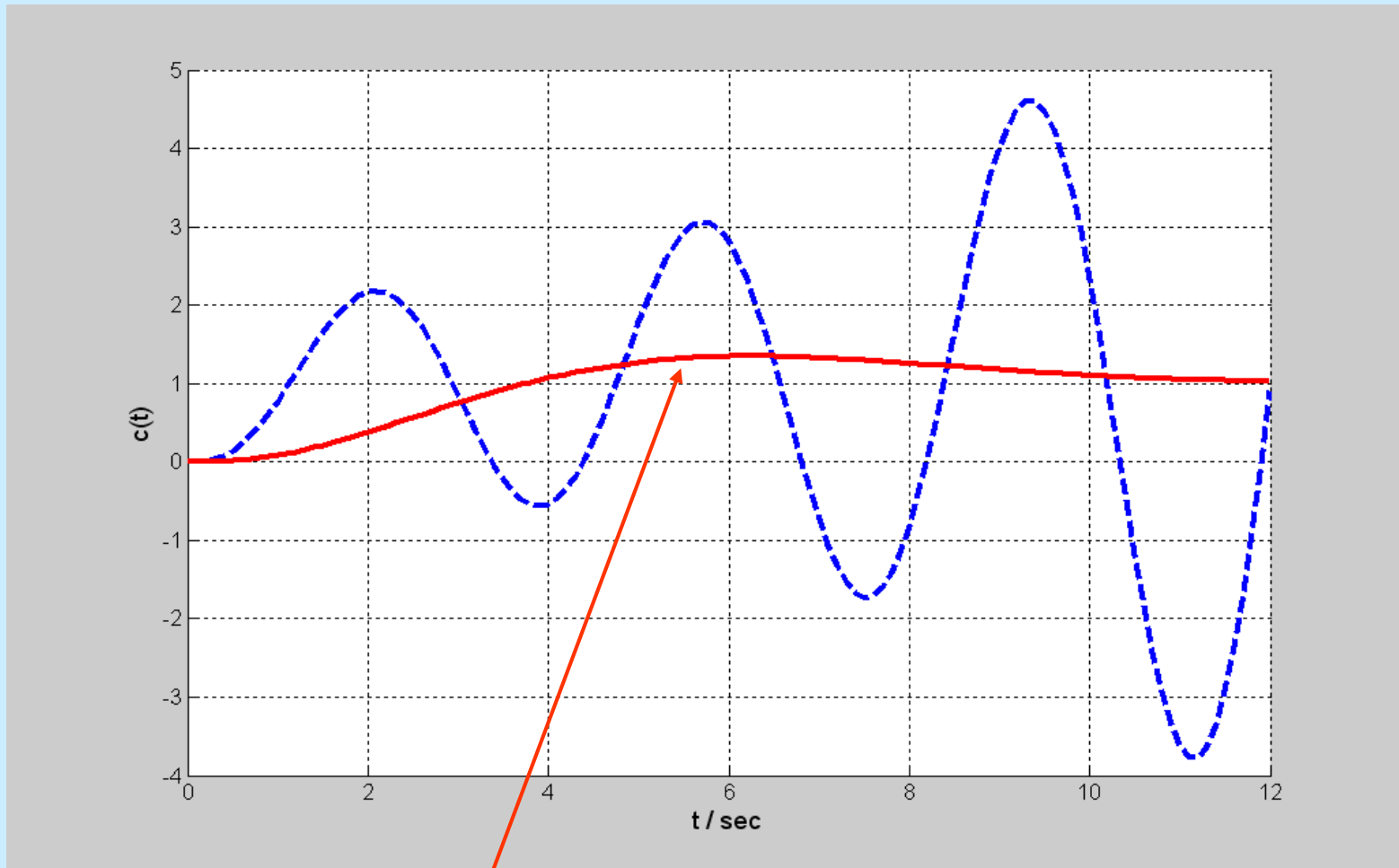
$$\gamma = 41.6^\circ$$

$$\omega_{pc} = 1.32$$

$$K_g = 14.3$$

● 思考：如何进一步改善相位裕量？

## (v) 时间响应



(red—校正后)

## 4. 设计步骤小结（仅供参考）

(1) 根据稳态误差系数确定开环增益

(2) 绘制增益校正后系统的Bode图, 计算增益裕量和相位裕量

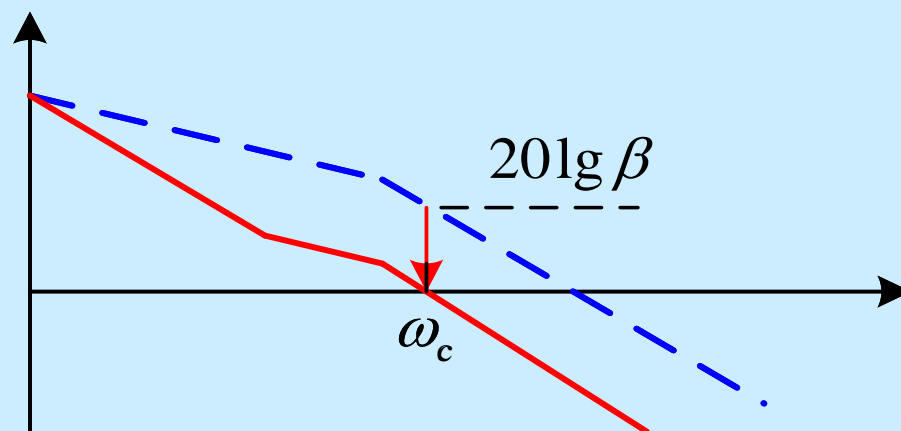
(3) 选择新的截止频率  $\omega_{gc}$  使得

$$180^\circ + \arg [KG_p(j\omega_{gc})] = \gamma + (5 \text{ to } 12)^\circ$$

(4) 选取  $\frac{1}{T} < \left( \frac{1}{5} \text{ to } \frac{1}{10} \right) \omega_{gc}$

至少要求  $\frac{1}{T} < \frac{\omega_{gc}}{2}$

(5) 计算  $\beta$  和  $\frac{1}{\beta T}$



滞后校正必须使得

$$20\lg |G_p(j\omega_{gc})G_c(j\omega_{gc})| = 0$$

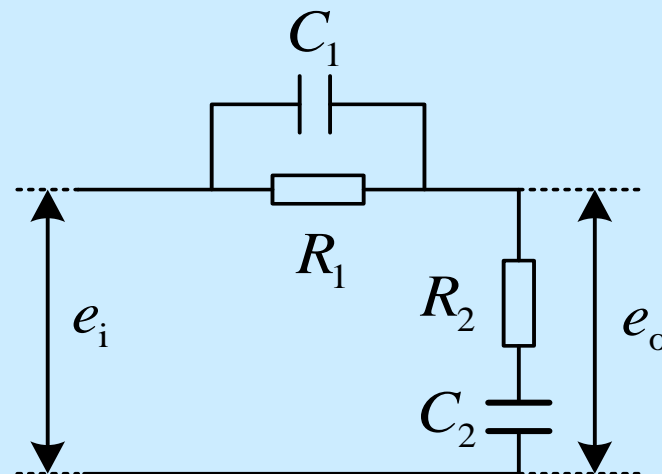
(6) 校正后系统的检验与分析

## 6.4 超前滞后校正

- 应用场合

- \* 控制对象的稳定性差、稳态误差大

### 6.4.1 超前滞后网络



$$\frac{E_o(s)}{E_i(s)} = \frac{(R_1 C_1 s + 1)(R_2 C_2 s + 1)}{(R_1 C_1 s + 1)(R_2 C_2 s + 1) + R_1 C_2 s}$$

$$\frac{E_o(s)}{E_i(s)} = \frac{(R_1C_1s + 1)(R_2C_2s + 1)}{(R_1C_1s + 1)(R_2C_2s + 1) + R_1C_2s}$$

- 令  $R_1C_1 = T_1$ ,  
 $R_2C_2 = T_2$ ,  
 ( 通常  $T_1 < T_2$  )

$$R_1C_1 + R_2C_2 + R_1C_2 = \frac{T_1}{\beta} + \beta T_2 \quad (\beta > 1)$$

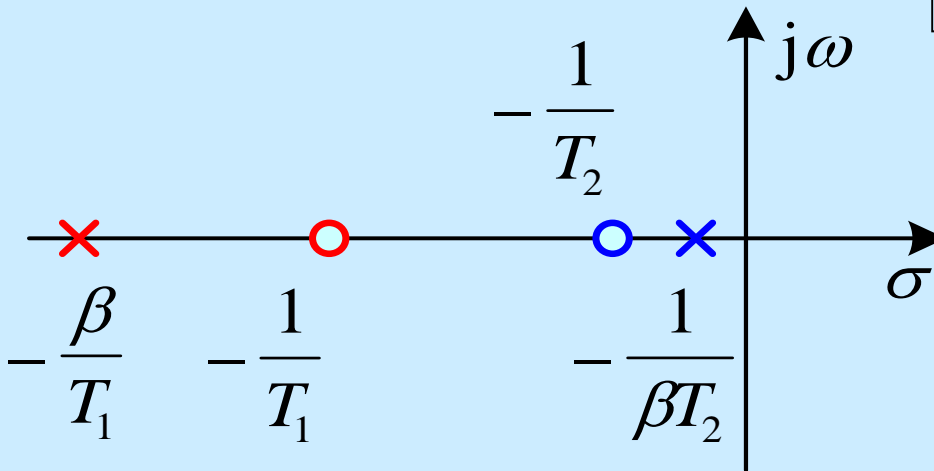
- 则

$$\frac{E_o(s)}{E_i(s)} = \frac{(T_1s + 1)(T_2s + 1)}{\left(\frac{T_1}{\beta}s + 1\right)(\beta T_2s + 1)} = \frac{\left(s + \frac{1}{T_1}\right)\left(s + \frac{1}{T_2}\right)}{\left(s + \frac{\beta}{T_1}\right)\left(s + \frac{1}{\beta T_2}\right)}$$



## 6.4.2 特性

### 1. 零-极点分布



$$\frac{E_o(s)}{E_i(s)} = \frac{\left(s + \frac{1}{T_1}\right)\left(s + \frac{1}{T_2}\right)}{\left(s + \frac{\beta}{T_1}\right)\left(s + \frac{1}{\beta T_2}\right)}$$

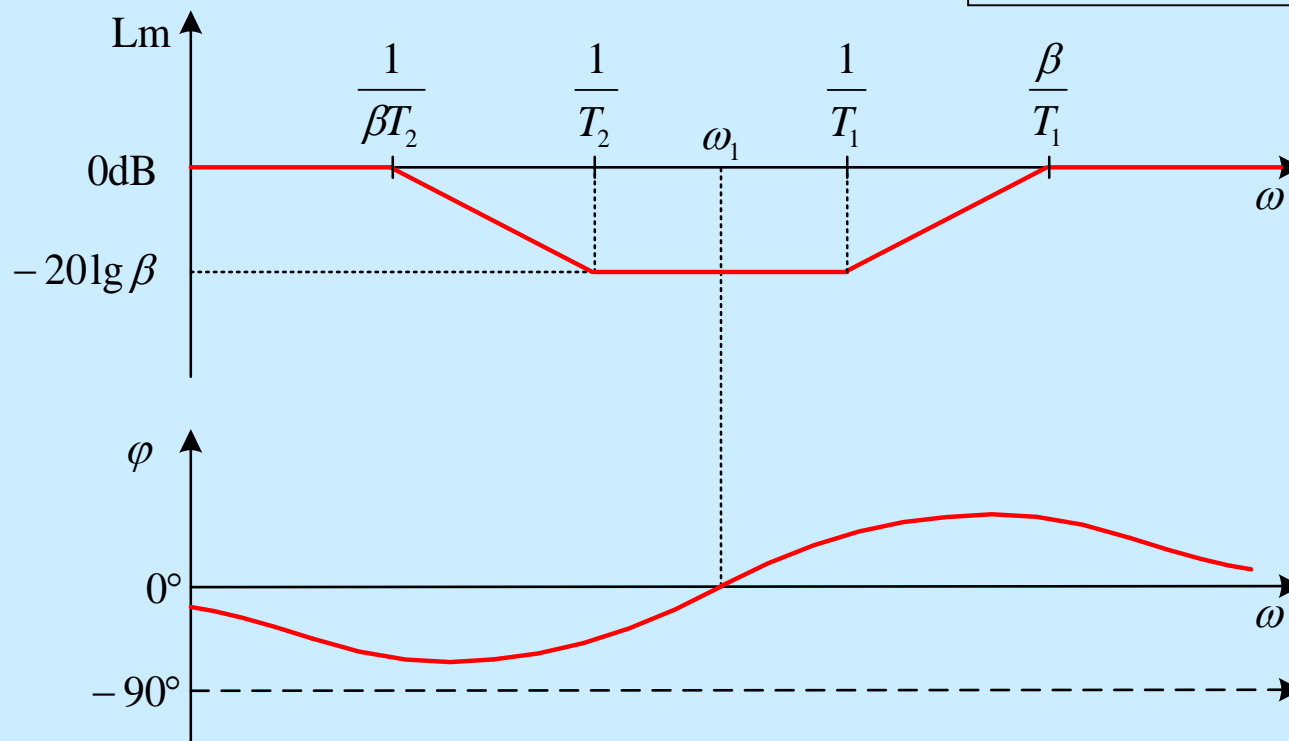
$$(T_2 > T_1)$$

- 两组零极点
- 相当于 { 超前校正 **串联** 滞后校正 }

## 2. Bode图

$$\frac{E_o(s)}{E_i(s)} = \frac{(1 + T_1 s)(1 + T_2 s)}{\left(1 + \frac{T_1}{\beta} s\right)(1 + \beta T_2 s)}$$

$$(T_1 < T_2)$$

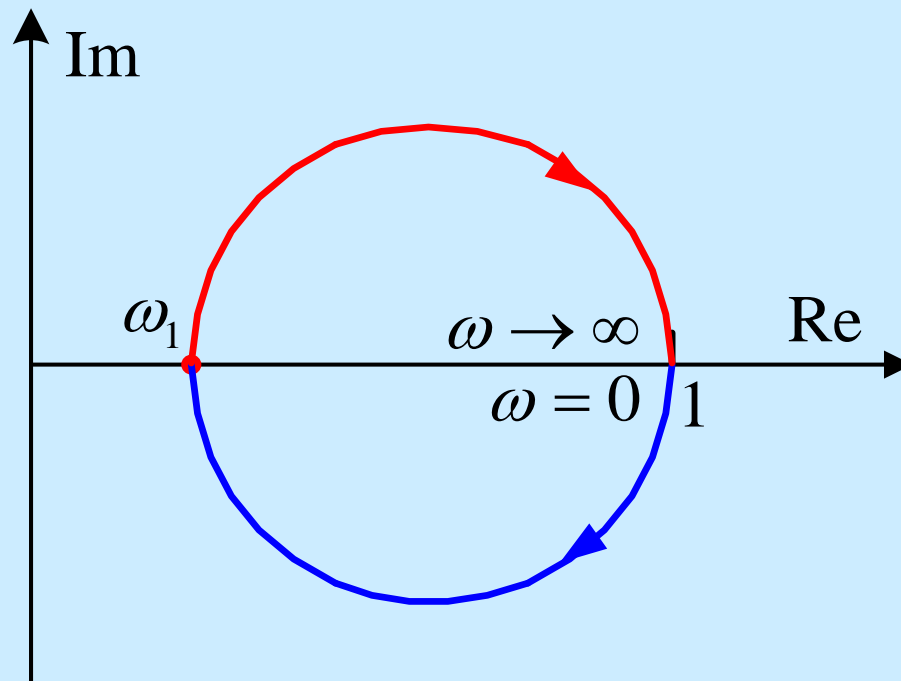


- $\omega_1 = \frac{1}{\sqrt{T_1 T_2}}$

• 超前滞后校正 = 滞后校正  
串联 超前校正

### 3. Nyquist 图

$$\frac{E_o(s)}{E_i(s)} = \frac{(1+T_1s)(1+T_2s)}{\left(1+\frac{T_1}{\beta}s\right)(1+\beta T_2s)}$$




- $\omega = \omega_1$  时,  $\varphi = 0$

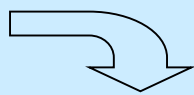
## • 其他形式

$$G_c(s) = K_c \cdot \frac{(1 + \alpha T_1 s)}{(1 + T_1 s)} \cdot \frac{(1 + T_2 s)}{(1 + \beta T_2 s)}$$

$$= \frac{K_c \alpha}{\beta} \cdot \frac{\left(s + \frac{1}{\alpha T_1}\right)}{\left(s + \frac{1}{T_1}\right)} \cdot \frac{\left(s + \frac{1}{T_2}\right)}{\left(s + \frac{1}{\beta T_2}\right)}$$



$$G_c(s) = K_c \cdot \frac{\left(s + \frac{1}{\alpha T_1}\right)}{\left(s + \frac{1}{T_1}\right)} \cdot \frac{\left(s + \frac{1}{T_2}\right)}{\left(s + \frac{1}{\beta T_2}\right)}$$



$$G_c(s) = K_c \cdot \frac{(s - z_1)}{(s - p_1)} \cdot \frac{(s - z_2)}{(s - p_2)}$$

$$p_1 / z_1 = \alpha \quad z_2 / p_2 = \beta$$

$$\frac{E_o(s)}{E_i(s)} = \frac{(1 + T_1 s)(1 + T_2 s)}{\left(1 + \frac{T_1}{\beta} s\right)(1 + \beta T_2 s)}$$

$$\alpha > 1 \quad \beta > 1$$

$$\alpha = \beta \quad \text{or} \quad \alpha \neq \beta$$

## 6.4.3 基于根轨迹的超前滞后校正

### 1. 基本原则

(1)  $T_1$  和  $T_2$  可分开选取, 满足  $T_2/T_1 \gg 1$

(2) 超前环节:

$$\frac{-1}{T_1} \quad \frac{-\beta}{T_1} \quad \text{or} \quad \frac{-1}{\alpha T_1} \quad \frac{-1}{T_1}$$

◆ 功能: 改善稳定性和响应速度

◆ 设计方法:

- 与超前校正一样

- 选取  $-1/T_1$  ( $-1/\alpha T_1$ ) 对消对象最接近原点的极点, 以实现较高的稳定性和更快的响应速度

### (3) 滞后环节:

$$\frac{-1}{T_2} \quad \frac{-1}{\beta T_2}$$

- ◆ 功能: 改善稳态精度
- ◆ 设计方法: 接近原点、 $\beta$  较大

## 2. 示例

例 6.4.1 给定对象的传递函数如下

$$G_p(s) = \frac{4}{s(s+0.5)}$$

试设计串联校正, 使得校正后系统满足如下指标

$$K_v = 50 \text{ s}^{-1} \quad \omega_n = 5 \quad \zeta = 0.5$$

$$G_p(s) = \frac{4}{s(s+0.5)}$$

$$\omega_n = 5$$

$$\zeta = 0.5$$

**Solution:**

### (i) 校正前的系统分析

$$s_{1,2} = -0.25 \pm j1.984$$

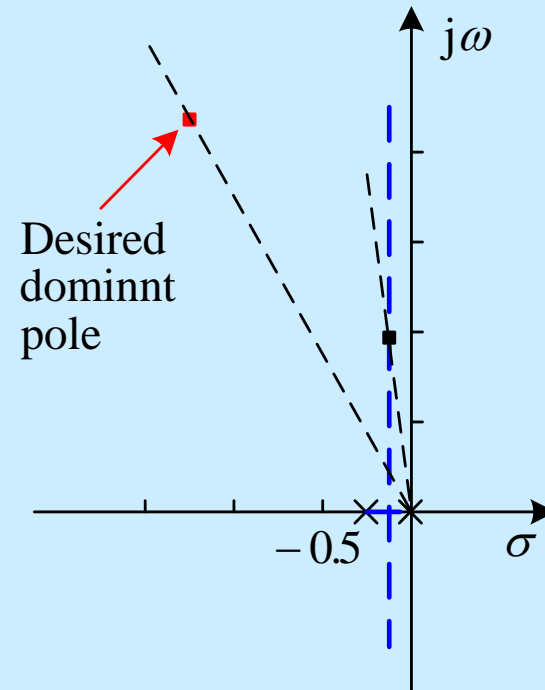
$$\omega_n = 2 \text{ rad/s} \quad \zeta = 0.125$$

$$K'_v = 8 \text{ s}^{-1}$$

### (ii) 期望主导极点

$$s_d = -\zeta\omega_n \pm j\omega_n\sqrt{1-\zeta^2}$$

$$= -2.5 \pm j4.33$$

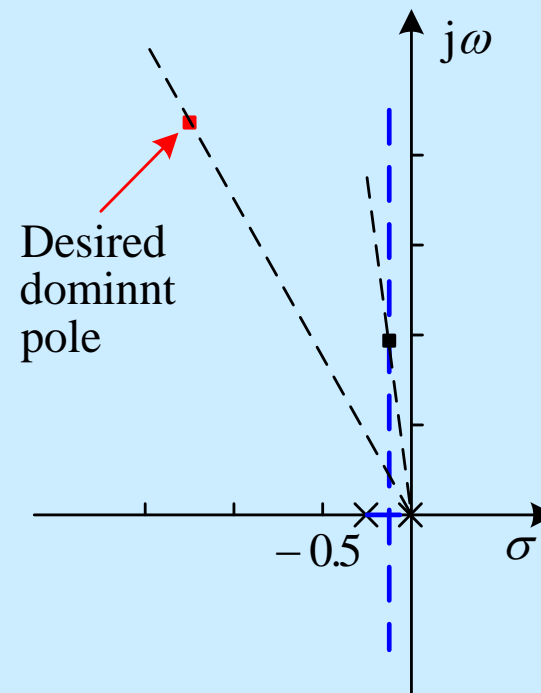


### (iii) 确定校正类型

- 可能需要超前滞后校正
- 令控制器传递函数如下

$$G_c(s) = K_c \cdot \frac{\left(s + \frac{1}{T_1}\right)}{\left(s + \frac{\beta}{T_1}\right)} \cdot \frac{\left(s + \frac{1}{T_2}\right)}{\left(s + \frac{1}{\beta T_2}\right)}$$

**注意:** 此时  $\alpha = \beta$



$$\begin{aligned} K'_v &= 8 \text{ s}^{-1} \\ \omega'_n &= 2 \\ \zeta' &= 0.125 \end{aligned}$$

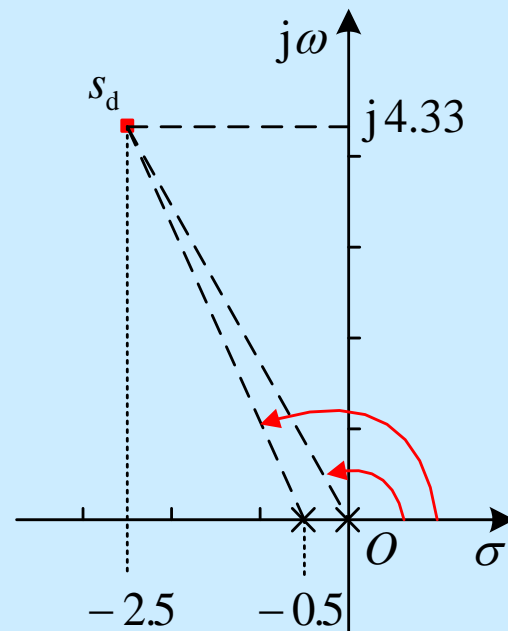
$$\begin{aligned} K_v &= 50 \text{ s}^{-1} \\ \omega_n &= 5 \\ \zeta &= 0.5 \end{aligned}$$



### (iii) 所需超前角

$$\begin{aligned}\arg[G_p(s_d)] &= \arg\left[\frac{1}{s(s+0.5)}\right]_{s=s_d} \\ &= -\arctan\frac{4.33}{-2.5} \\ &\quad -\arctan\frac{4.33}{-2.5+0.5} \\ &= -120^\circ - 114.8^\circ = -234.8^\circ\end{aligned}$$

- 从而，超前角  $\varphi = -180^\circ - (-234.8^\circ) \approx 55^\circ$



注:  $1/T_1$  和  $\beta$  可根据超前角来计算，但未必能保证  $K_v$

#### (iv) 计算 $K_c$

- $$K_v = \lim_{s \rightarrow 0} s G_p(s) G_c(s)$$
$$= \lim_{s \rightarrow 0} s G_p(s) K_c$$
$$= \lim_{s \rightarrow 0} \frac{4K_c}{0.5} = 8K_c = 50$$

$$G_c(s) = K_c \cdot \frac{\left(s + \frac{1}{T_1}\right)}{\left(s + \frac{\beta}{T_1}\right)} \cdot \frac{\left(s + \frac{1}{T_2}\right)}{\left(s + \frac{1}{\beta T_2}\right)}$$
$$G_p(s) = \frac{4}{s(s + 0.5)}$$

- $K_c = 6.25$
- $K_v$  在此步得以满足

#### (v) 计算 $T_1$ 和 $\beta$

- 设  $T_2 \gg 1$ , 则 
$$\left| \frac{s_d + \frac{1}{T_2}}{s_d + \frac{1}{\beta T_2}} \right| \approx 1$$

$$G_p(s) = \frac{4}{s(s + 0.5)}$$

$$s_d = -2.5 \pm j4.33$$

● 幅值条件:

$$\left| G_p(s_d)G_c(s_d) \right| \approx \left| G_p(s_d) \right| \cdot K_c \cdot \left| \frac{s_d + \frac{1}{T_1}}{s_d + \frac{\beta}{T_1}} \right|$$

$$= \frac{4 \times 6.25}{\left| s_d \right| \left| s_d + 0.5 \right|} \cdot \left| \frac{s_d + \frac{1}{T_1}}{s_d + \frac{\beta}{T_1}} \right| = \frac{5}{4.77} \cdot \left| \frac{s_d + \frac{1}{T_1}}{s_d + \frac{\beta}{T_1}} \right| = 1$$

$$\left| \frac{s_d + \frac{1}{T_1}}{s_d + \frac{\beta}{T_1}} \right| = \frac{4.77}{5}$$

- 通过试凑法或计算确定  $T_1$

$$\angle DPC = 55^\circ$$

$$\frac{|\overline{PC}|}{|\overline{PD}|} = \frac{4.77}{5}$$

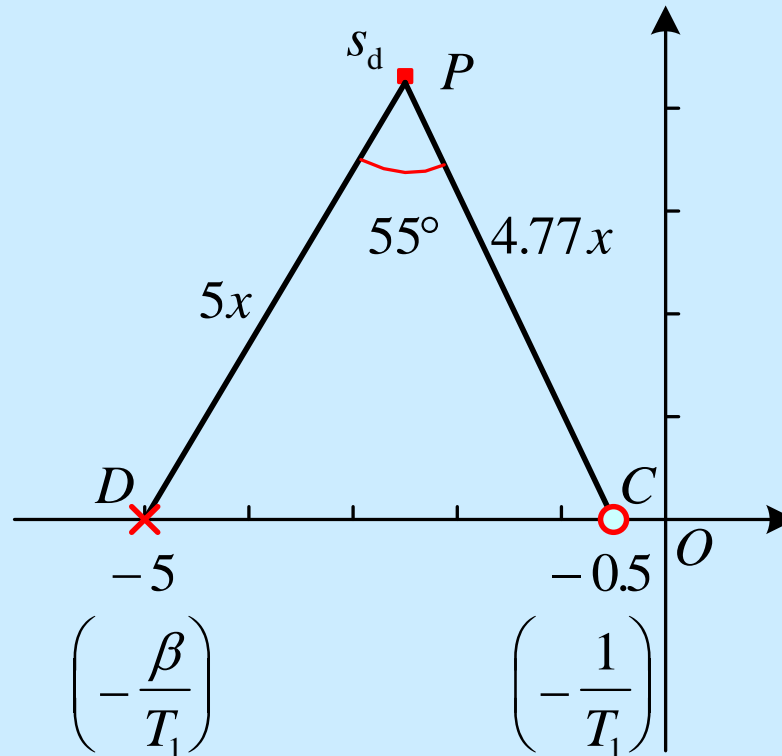
$\Downarrow$

$$|\overline{CO}| = 0.5$$

$$|\overline{DO}| = 5$$

$$-\frac{1}{T_1} = -0.5 \quad -\frac{\beta}{T_1} = -5 \quad \text{i.e. } T_1 = 2 \quad \beta = 10$$

- $-1/T_1$  恰好与对象的一个极点相消

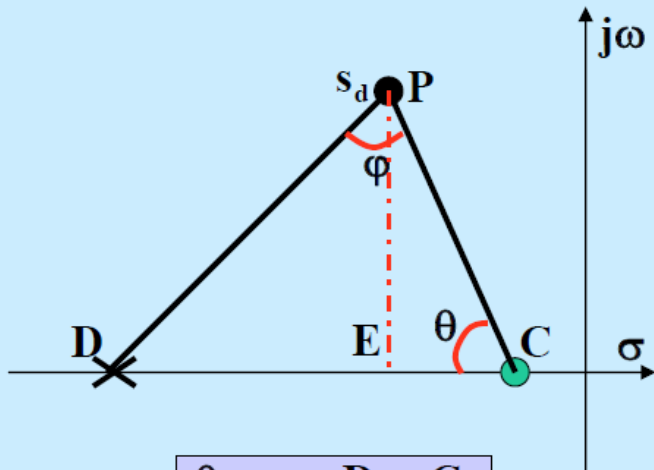


$$\frac{s_d + \frac{1}{T_1}}{s_d + \frac{\beta}{T_1}} = \frac{4.77}{5}$$

$$\varphi = 55^\circ$$

$$G_p(s) = \frac{4}{s(s+0.5)}$$

- 确定  $T_1$  的另一种方法



$\theta \rightarrow D, C$

$s_d, \varphi, \frac{\overline{PC}}{\overline{PD}}$  已知

确定 D、C 的位置？

$$\angle PCD = \theta \rightarrow \angle PDC = 180^\circ - \theta - \varphi$$



$$\frac{\overline{PC}}{\overline{PD}} = \frac{\sin(180^\circ - \theta - \varphi)}{\sin(\theta)} = \sin(\varphi) \cotan(\theta) + \cos(\varphi)$$



$$\cotan(\theta) = \frac{\overline{PC}}{\overline{PD}} \times \frac{1}{\sin(\varphi)} - \cotan(\varphi)$$

**(vi) 选取  $T_2$  使得**

$$\left| \frac{s_d + \frac{1}{T_2}}{s_d + \frac{1}{\beta T_2}} \right| \approx 1 \quad -3^\circ < \arg \left[ \frac{s_d + \frac{1}{T_2}}{s_d + \frac{1}{\beta T_2}} \right] < 0^\circ$$

• 取  $T_2 = 10$

$$\left| \frac{s_d + 0.1}{s_d + 0.01} \right| \approx 0.9911 \quad \arg \left[ \frac{s_d + 0.1}{s_d + 0.01} \right] = -0.9^\circ$$

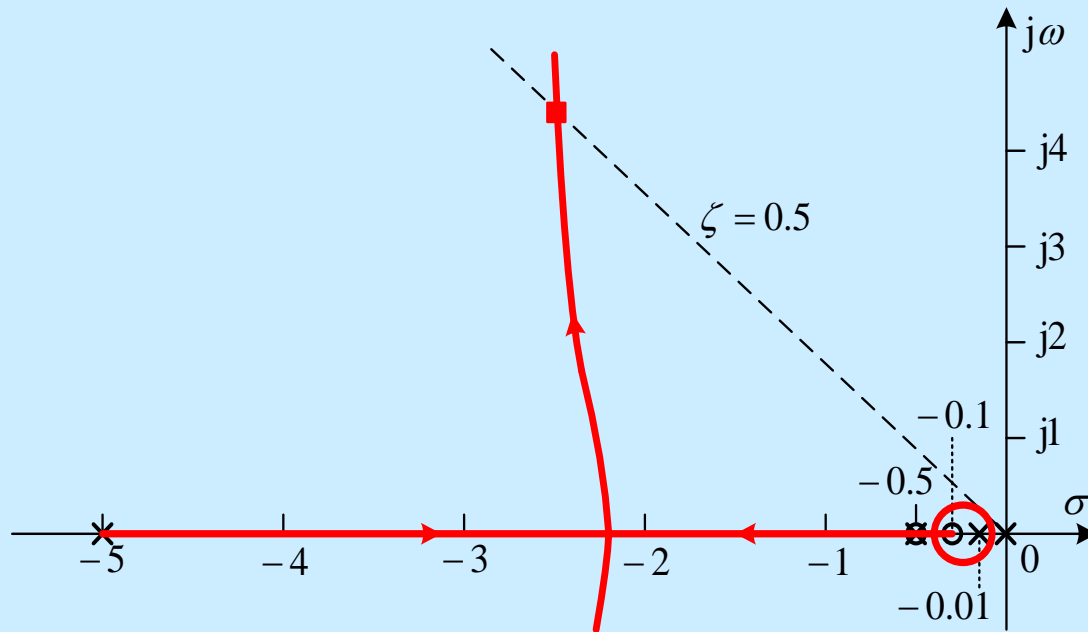
• 从而，控制器的传递函数如下

$$G_c(s) = 6.25 \frac{(s + 0.5)(s + 0.1)}{(s + 5)(s + 0.01)}$$

## (vii) 校正后的系统检验

$$G_p(s)G_c(s) = \frac{25(s+0.1)}{s(s+5)(s+0.01)}$$

### • 上半平面根轨迹



\* 会合点:

$$-2.451, -0.0051$$

\* 分离点:

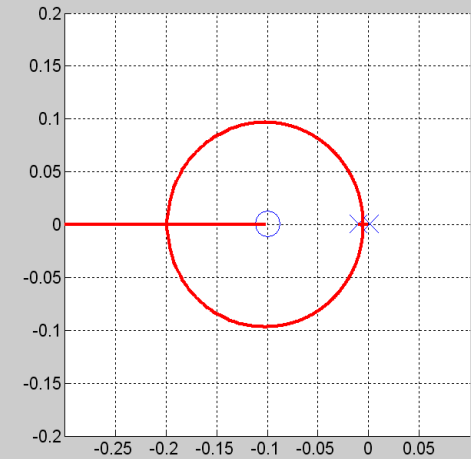
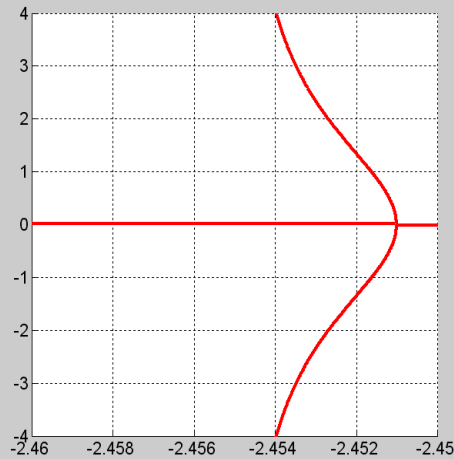
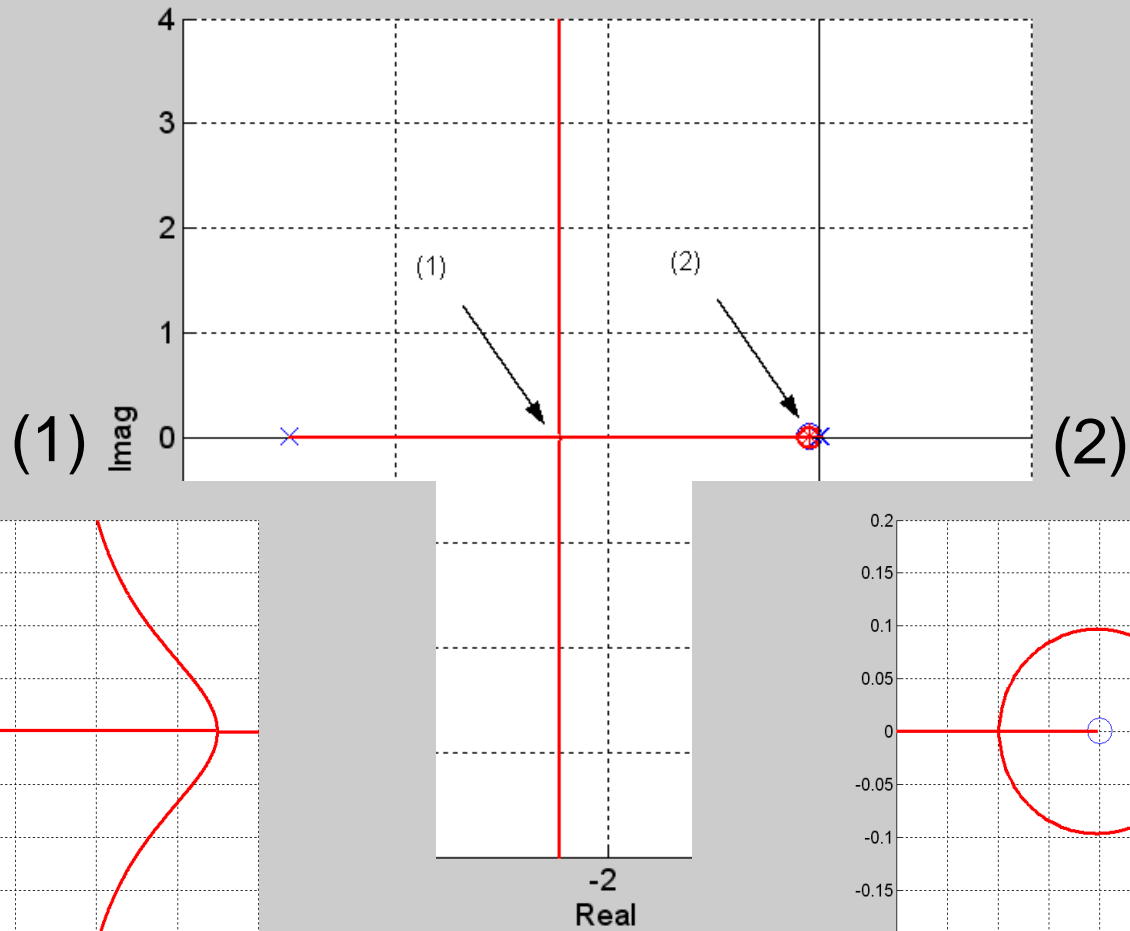
$$-0.1989$$

$$s_d = -2.454 \pm j 4.304$$

$$s_3 = -0.1018 \approx -1/T_2$$

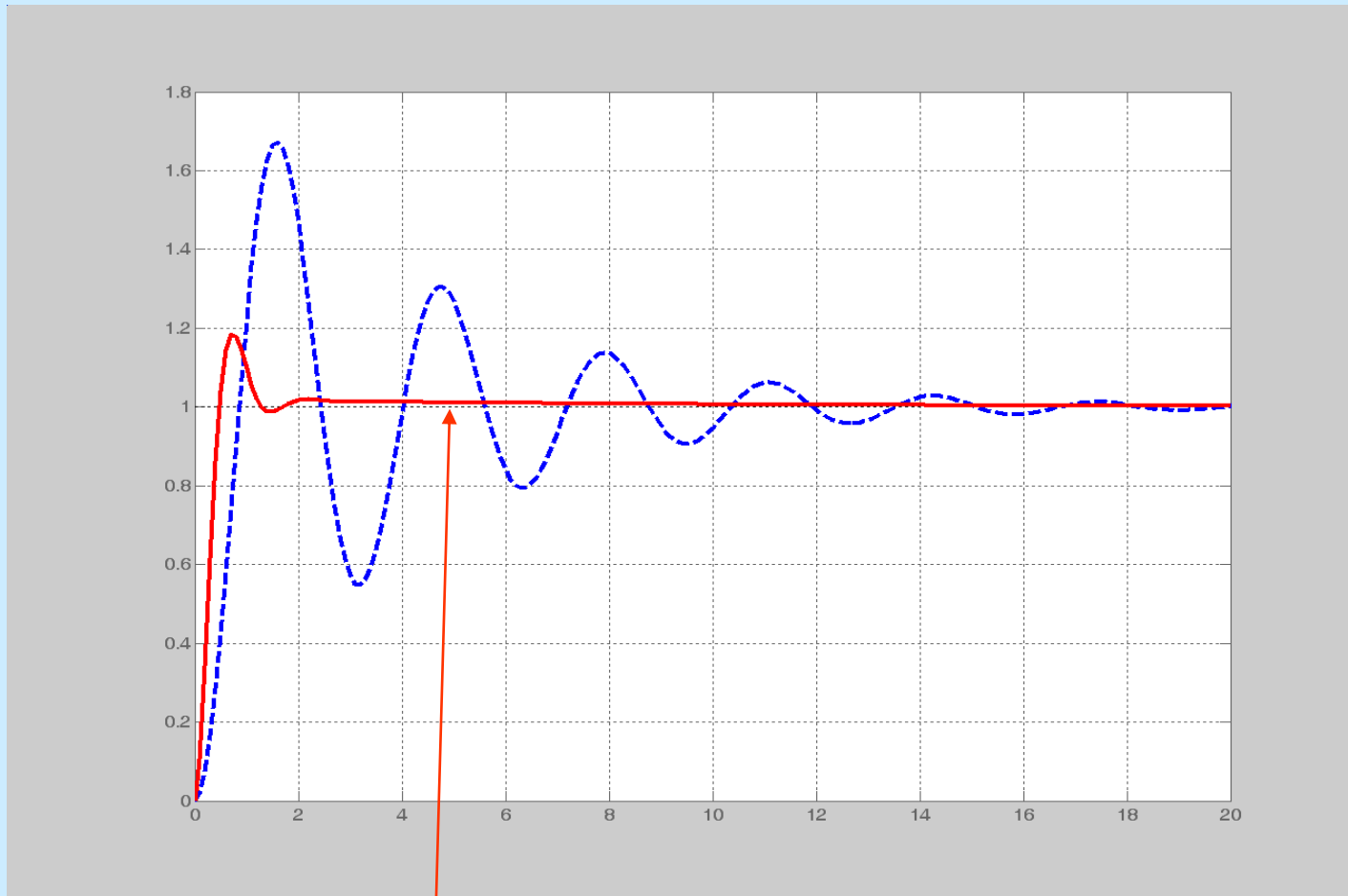
$$K_v = 50 \text{ s}^{-1}$$

## • MATLAB 作图





## (viii) 校正前后的单位阶跃响应



( red - 校正后 )

◆ 说明:

(1) 对消对象极点与超前环节零点可取得更快响应速度

(2) 超前环节和滞后环节可分开设计

● 思考: 此例如何分开设计?

3. 设计步骤小结 (仅供参考)

(1) 确定期望主导极点  $s_d$  的位置

(2) 计算所需超前角  $\varphi$

(3) 令

$$G_c(s) = K_c \frac{\left(s + \frac{1}{T_1}\right)}{\left(s + \frac{\beta}{T_1}\right)} \cdot \frac{\left(s + \frac{1}{T_2}\right)}{\left(s + \frac{1}{\beta T_2}\right)}$$

根据误差系数确定  $K_c$

#### (4) 计算 $T_1$ 和 $\beta$

$$\left| G_p(s_d) \right| \cdot K_c \cdot \left| \frac{s_d + \frac{1}{T_1}}{s_d + \frac{\beta}{T_1}} \right| = 1 \quad \arg \left[ \frac{s_d + \frac{1}{T_1}}{s_d + \frac{\beta}{T_1}} \right] = \varphi$$

#### (5) 确定 $T_2$

$$\left| \frac{s_d + \frac{1}{T_2}}{s_d + \frac{1}{\beta T_2}} \right| \approx 1 \quad -3^\circ < \arg \left[ \frac{s_d + \frac{1}{T_2}}{s_d + \frac{1}{\beta T_2}} \right] < 0^\circ$$

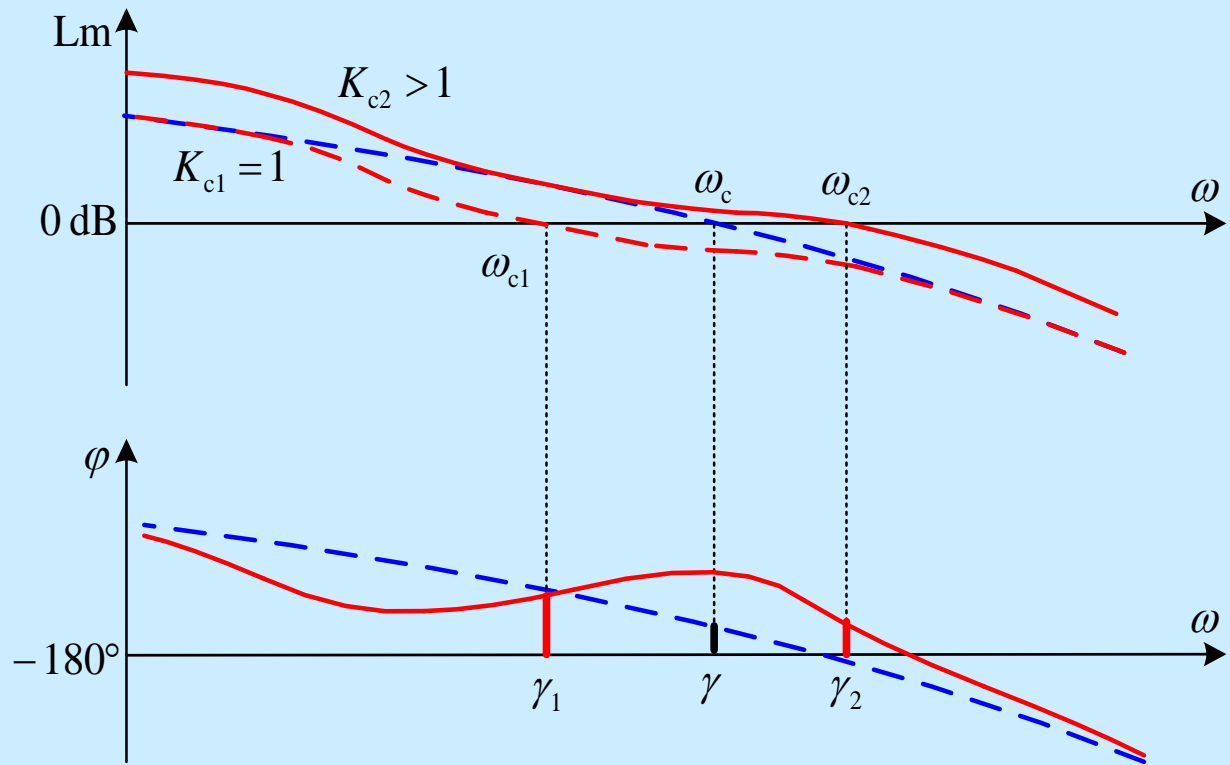
#### (6) 校正后的系统检验

$$G_c(j\omega) = K_c \frac{(1+j\omega T_1)(1+j\omega T_2)}{(1+j\omega T_1/\beta)(1+j\omega \beta T_2)}$$

## 6.4.4 基于Bode图的超前滞后校正

### 1. 图形解释

- $K_{c1} = 1$ ,  
 $\omega_{c1} \downarrow$ ,  $\gamma_1 \uparrow$ ,  
 $K_g \uparrow$ ,  
 $K_v$  不变
- $K_{c2} > 1$ ,  
 $\omega_{c2} \uparrow$ ,  $\gamma_2 \uparrow$ ,  
 $K_v \uparrow$



## 2. 设计方法

### (1) 方法A: 超前和滞后环节分开设计

- 选取  $\frac{1}{T_2} < \frac{\omega_c}{10}$  使得 
$$\arg \left[ \frac{j\omega_c + \frac{1}{T_2}}{j\omega_c + \frac{1}{\beta T_2}} \right] = -(3^\circ \sim 5^\circ)$$

- 选取  $T_1$

- \*  $1/T_1$  对消对象的极点

- \* 同超前校正的设计

### (2) 方法B: 经验选取 $T_1$ , $T_2$ 和 $\beta$

- 譬如,  $\beta=10$ ,  $T_2 \geq T_1$ ,  $T_1$  按超前校正设计方法选取

### 3. 示例

**例 6.4.2** 给定对象的传递函数如下 (包含了控制器增益)

$$G_p(s) = \frac{K}{s(1+0.1s)(1+0.01s)}$$

**试设计串联校正使得校正后系统满足如下指标**

$$\gamma \geq 40^\circ \quad \omega_c = 20 \text{ rad/s} \quad K_v \geq 100 \text{ s}^{-1}$$

**Solution:**

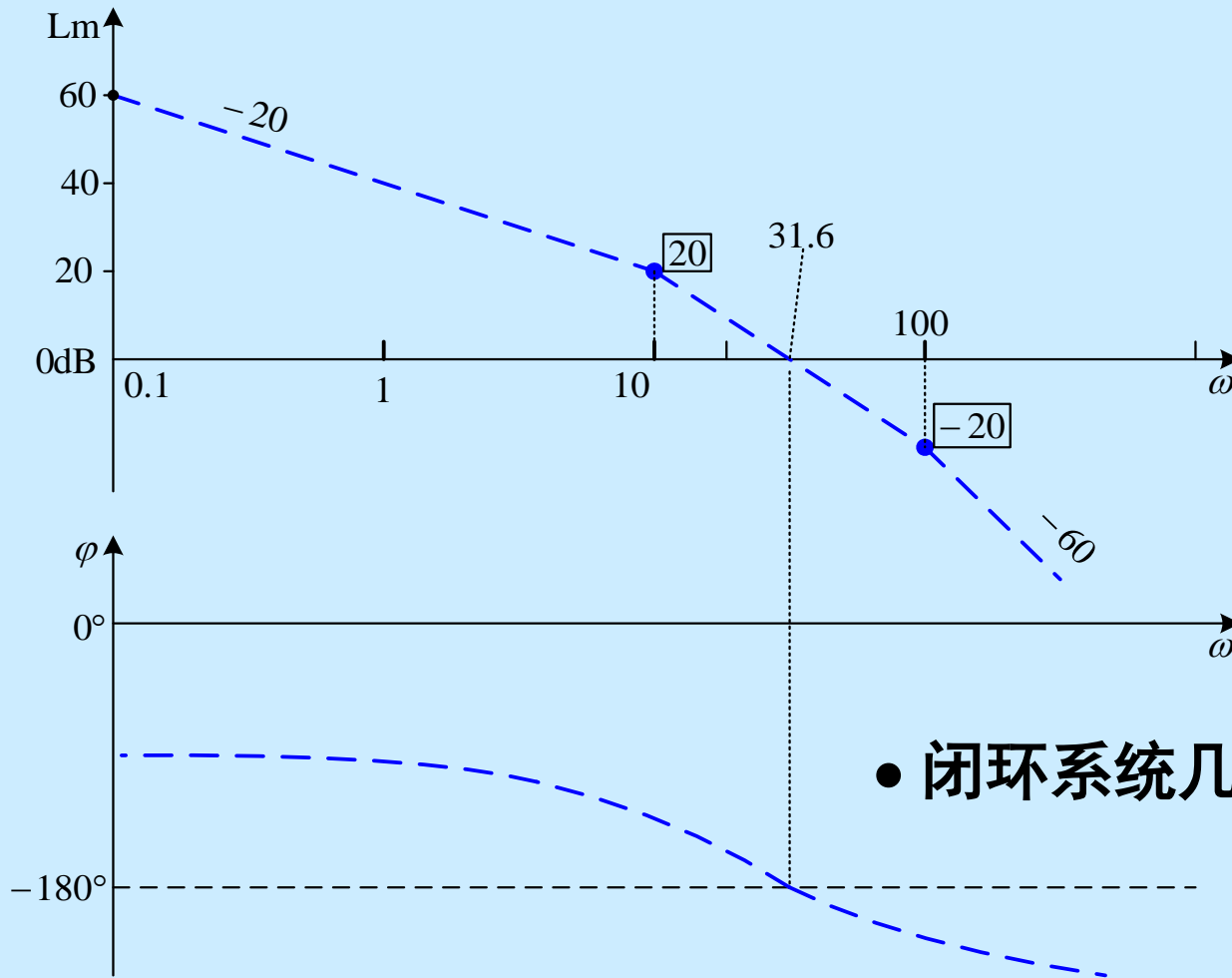
**(i) 确定开环增益**

$$K_v = \lim_{s \rightarrow 0} s G_p(s) = K = 100$$

$$G_p(s) = \frac{100}{s(1+0.1s)(1+0.01s)}$$

$$G_p(s) = \frac{100}{s(1+0.1s)(1+0.01s)}$$

## (ii) 增益校正后的系统分析



$$\omega'_{gc} = 31.6 \text{ rad/s}$$

$$\gamma' = 0^\circ$$

$$\omega'_{pc} = 31.6 \text{ rad/s}$$

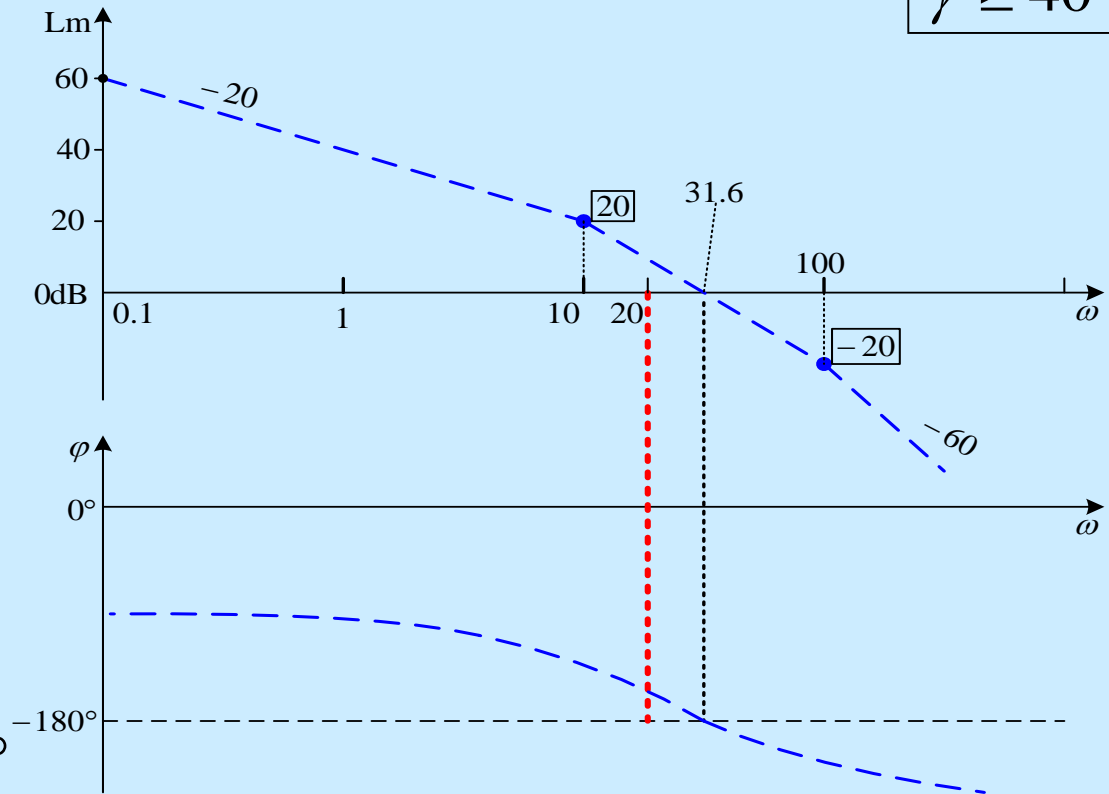
$$K'_g = 0.83$$

• 闭环系统几乎不稳定

• 思考: 是否可单独采用超前或滞后校正?

$$\omega_c = 20 \text{ rad/s}$$

$$\gamma \geq 40^\circ$$



- $\arg G(j 20) = -165^\circ$

- 所需超前角  $\varphi = 25^\circ$

- 取  $\varphi_m = 40^\circ$



$$G_p(s) = \frac{100}{s(1+0.1s)(1+0.01s)}$$

### (iii) 设计超前校正环节 $G_{c1}(s)$

$$\alpha = \frac{1 + \sin 40^\circ}{1 - \sin 40^\circ} = 4.599$$

$$\frac{1}{T} = \sqrt{\alpha} \omega_c = \sqrt{4.599} \times 20 = 42.89$$

$$T = 0.0233 \quad \alpha T = 0.1072$$

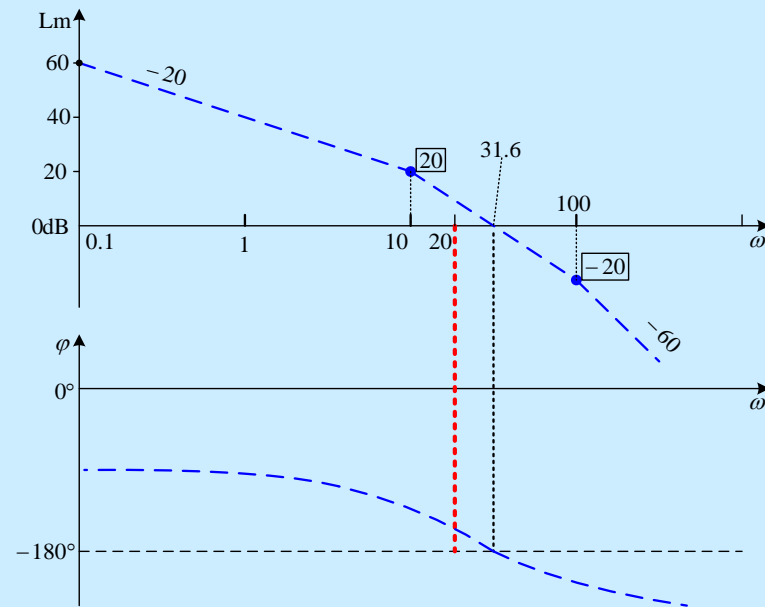
#### • 控制器的超前校正环节

$$G_{c1}(s) = \frac{1 + 0.107s}{1 + 0.023s}$$

#### • 选取超前校正环节如下

$$G_{c1}(s) = \frac{1 + 0.1s}{1 + 0.023s} = 4.348 \frac{s + 10}{s + 43.48} \quad \alpha = 4.348$$

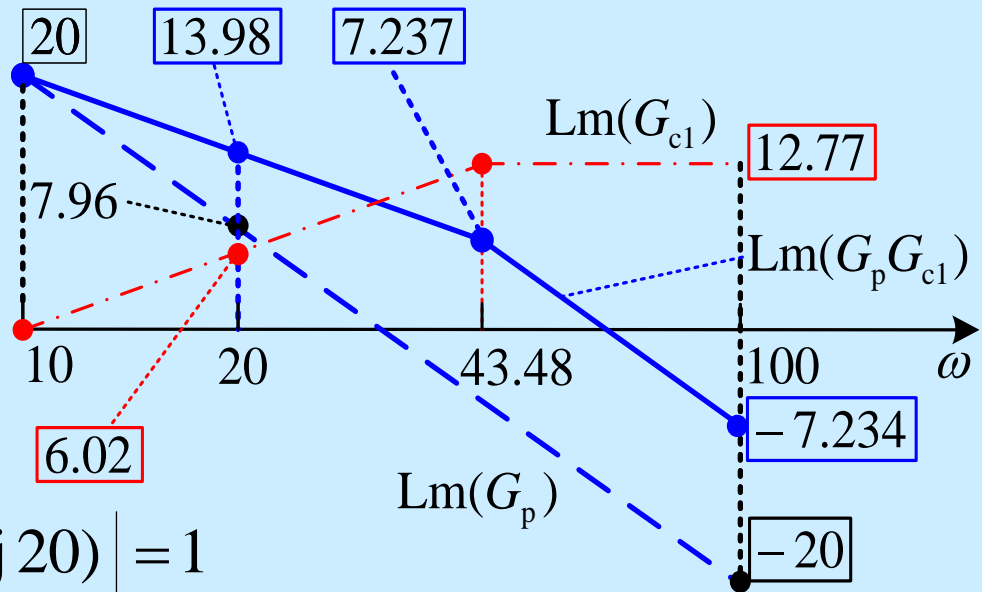
(控制器零点与对象极点接近)



#### (iv) 设计滞后校正环节 $G_{c2}(s)$

##### • $G_p(j\omega) G_{c1}(j\omega)$ 的Bode图

$$* \left| G_p(j20) G_{c1}(j20) \right| = 7.96 + 6.02 \approx 14 \text{ dB}$$



\* 对于  $\omega_c = 20 \text{ rad/s}$

$$\left| G_p(j20) G_{c1}(j20) G_{c2}(j20) \right| = 1$$

$$\left| G_{c2}(j20) \right| = -14 \text{ dB}$$

$$* \left| G_{c2}(j20) \right| = -20 \log \beta \quad -20 \log \beta = -14 \quad \beta \approx 5$$

注:  $\alpha \neq \beta$

$$\omega_c = 20 \text{ rad/s}$$

$$\beta \approx 5$$

- 令  $1/T_2 = \omega_c/5 = 4$ ,  $1/\beta T_2 = 0.8$

$$T_2 = 0.25 \quad \beta T_2 = 1.25$$

$$G_{c2}(s) = \frac{1 + 0.25s}{1 + 1.25s} = \frac{1}{5} \cdot \frac{s + 4}{s + 0.8}$$

- 控制器的传递函数如下

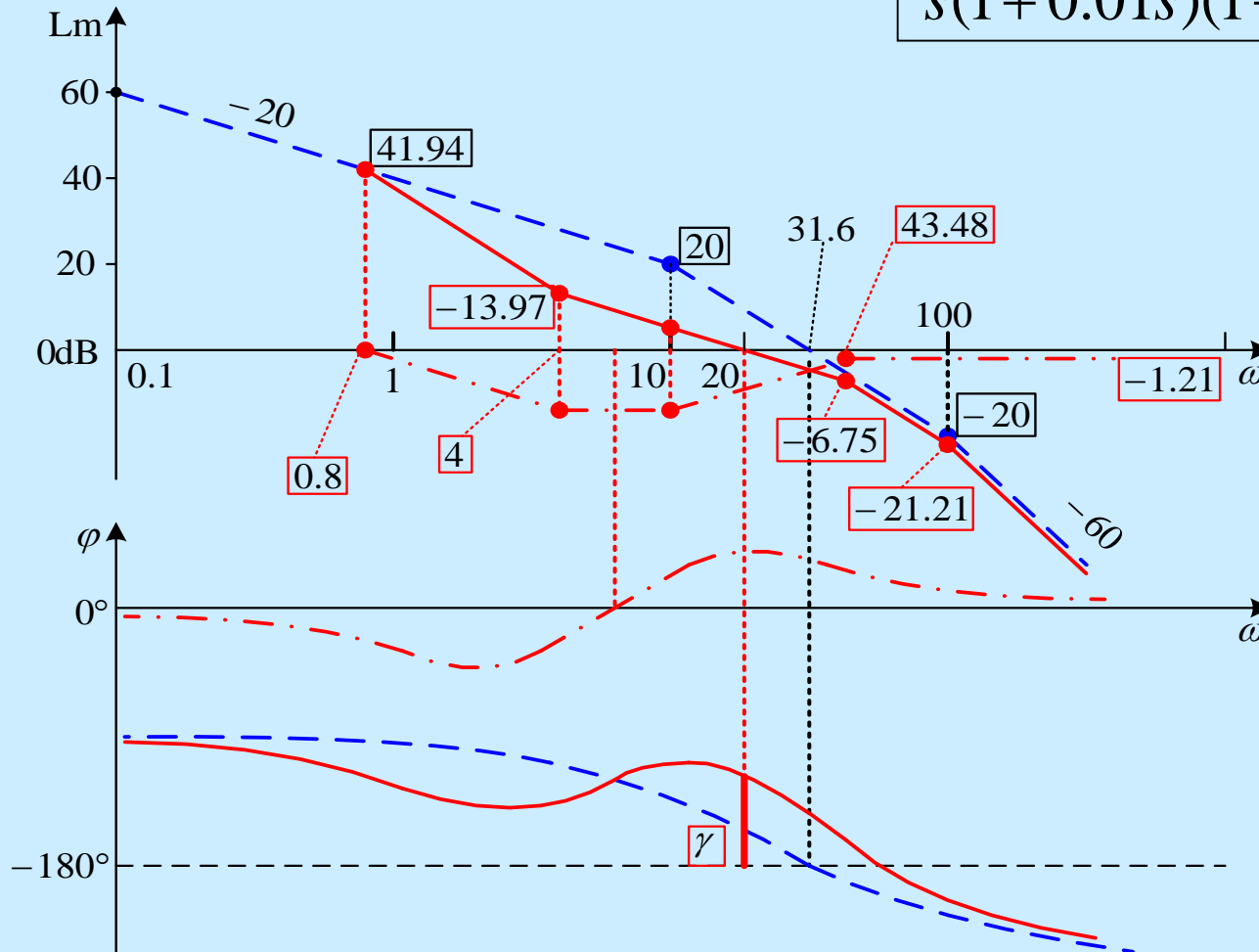
$$\begin{aligned} G_c(s) &= \frac{(1 + 0.1s)(1 + 0.25s)}{(1 + 0.023s)(1 + 1.25s)} \\ &= 0.87 \frac{(s + 10)(s + 4)}{(s + 43.48)(s + 0.8)} \end{aligned} \quad \alpha/\beta = 0.87$$

## (v) 校正后的系统检验

$$G_p(s)G_c(s) = \frac{100(1 + 0.25s)}{s(1 + 0.01s)(1 + 0.023s)(1 + 1.25s)}$$

$$G_p(s)G_c(s) = \frac{100(1 + 0.25s)}{s(1 + 0.01s)(1 + 0.023s)(1 + 1.25s)}$$

## • Bode图



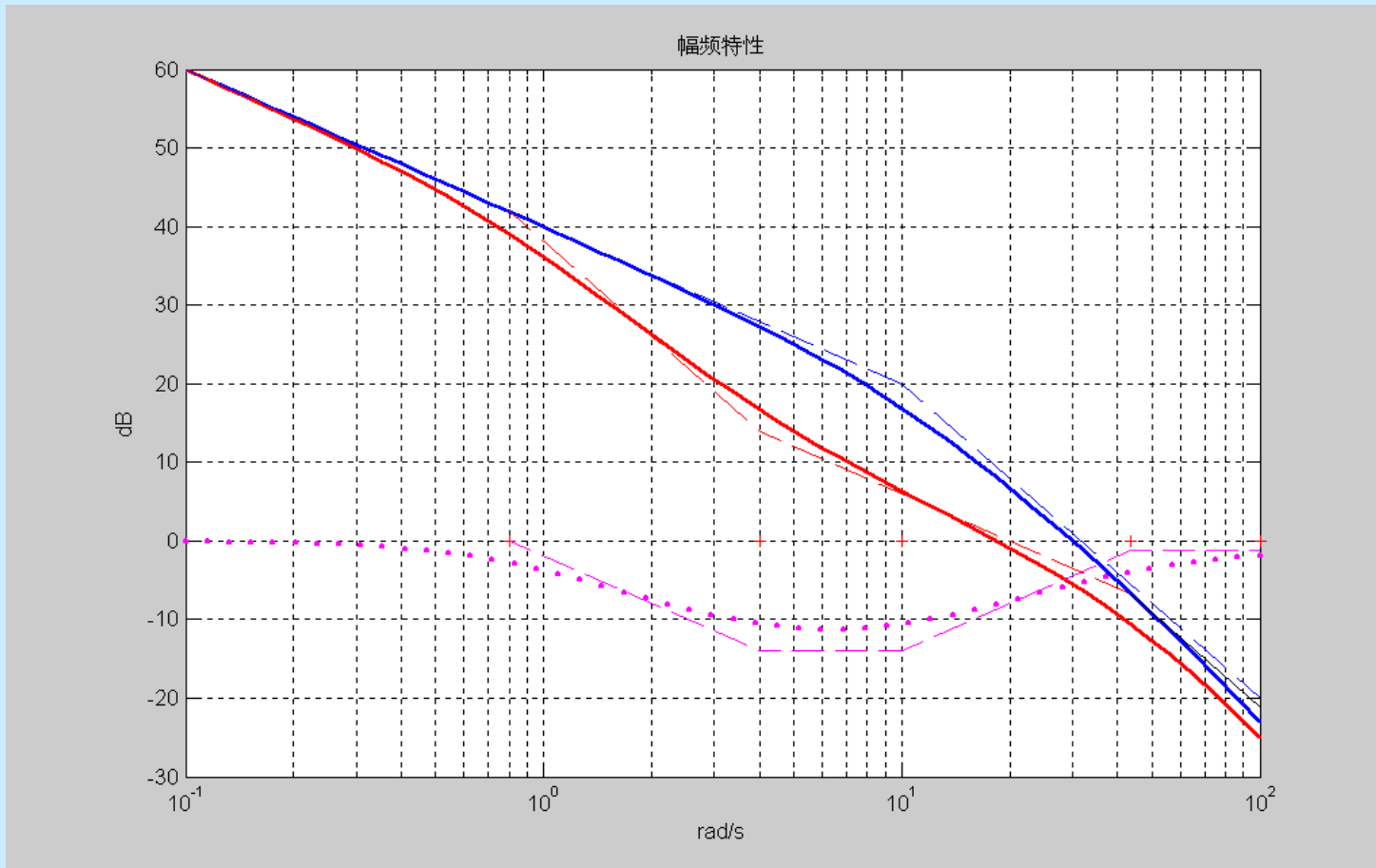
$$\begin{aligned}\omega_c &= 20 \text{ rad/s} \\ \gamma &\geq 40^\circ \\ K_v &\geq 100 \text{ s}^{-1}\end{aligned}$$

$$\begin{aligned}\omega_{gc} &= 20 \text{ rad/s} \\ \gamma &= 44.97^\circ \\ K_v &= 100 \text{ s}^{-1}\end{aligned}$$

$$\begin{aligned}\omega_{pc} &= 62.4 \text{ rad/s} \\ K_g &= 13.05 \text{ dB}\end{aligned}$$

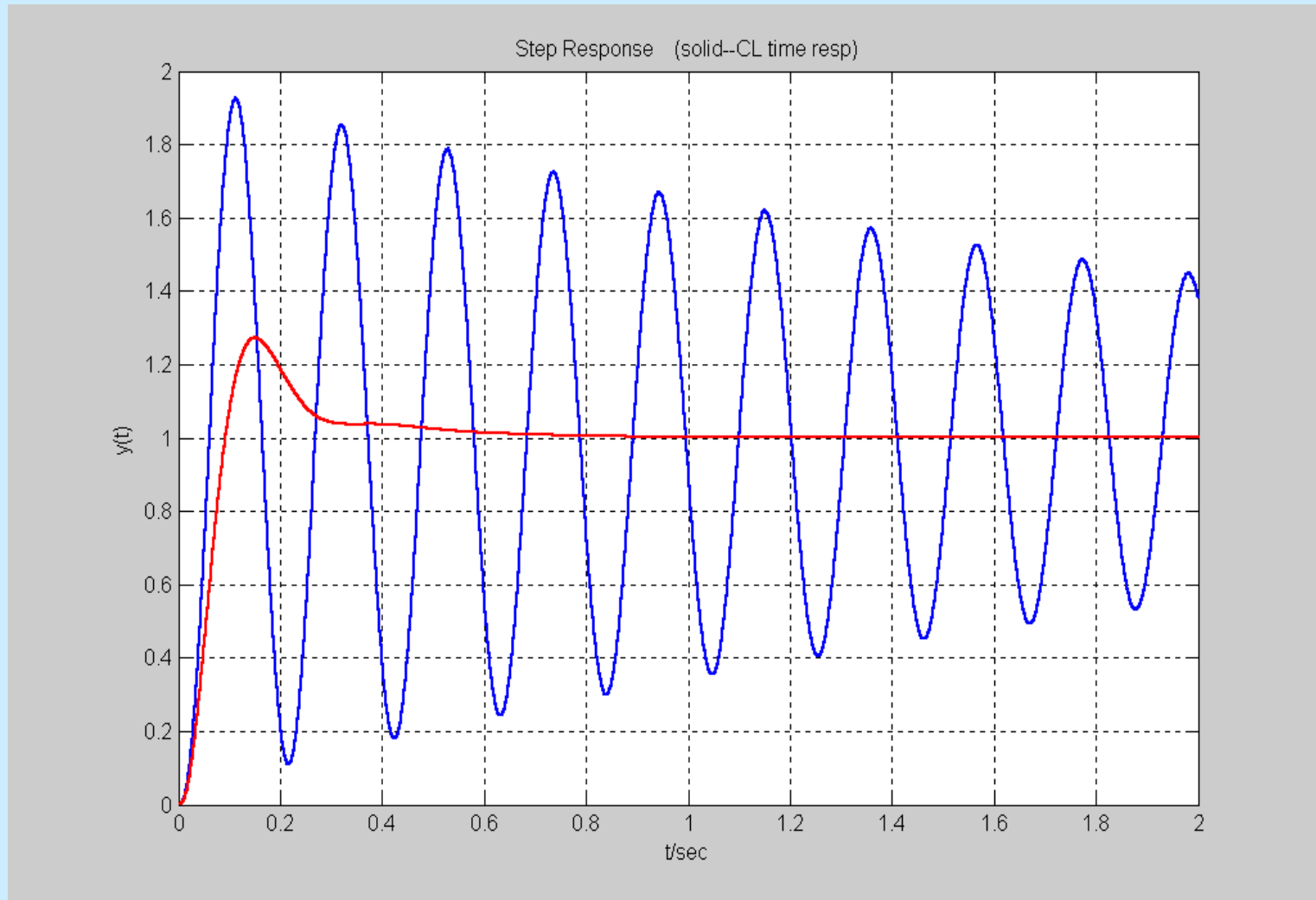
## (vi) 对数幅频响应

渐近线法  $\omega_{gc} = 20 \text{ rad/s}$   
 $\gamma = 44.97^\circ$



精确计算  $\omega_{gc} = 18.50 \text{ rad/s}$   $\gamma = 46.75^\circ$

## (vii) 时间响应



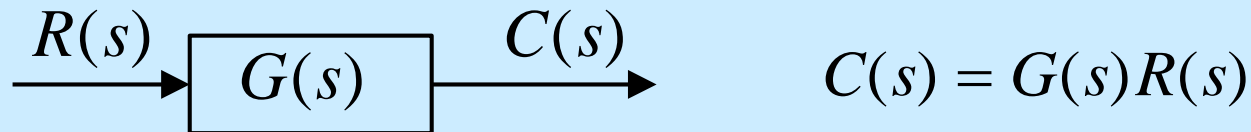
## 6.5 反馈校正

### 6.5.1 降低环境条件的影响

例 6.5.1 对于不同的系统结构, 比较输出随传递函数变化的变动

**Solution:**

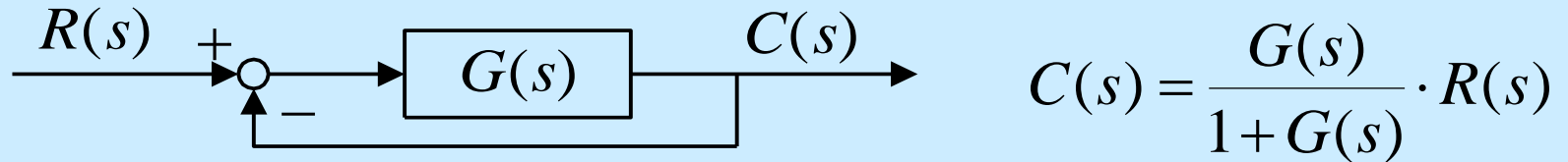
(i) 开环对象



• 考虑微小变化  $dG(s)$ :

$$dC(s) = dG(s) \cdot R(s) = \frac{dG(s)}{G(s)} \cdot G(s)R(s) = \frac{dG(s)}{G(s)} \cdot C(s)$$

## (ii) 单位反馈

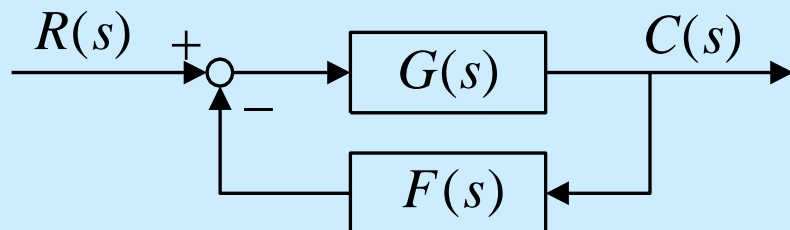


$$\begin{aligned} dC(s) &= \frac{[1 + G(s)]dG(s) - G(s)dG(s)}{[1 + G(s)]^2} \cdot R(s) \\ &= \frac{dG(s)}{[1 + G(s)]^2} \cdot R(s) = \frac{1}{1 + G(s)} \cdot \frac{G(s)}{1 + G(s)} \cdot \frac{dG(s)}{G(s)} \cdot R(s) \\ &= \frac{1}{1 + G(s)} \cdot \frac{dG(s)}{G(s)} \cdot C(s) \end{aligned}$$

- 影响降低  $\frac{1}{1 + G(s)}$  倍



### (iii) 非单位反馈



$$C(s) = \frac{G(s)}{1 + G(s)F(s)} \cdot R(s)$$

- 如果  $F(s)$  不变

$$\begin{aligned} dC(s) &= \frac{[1 + GF]dG - GF dG}{[1 + GF]^2} \cdot R = \frac{dG}{[1 + GF]^2} \cdot R \\ &= \frac{1}{1 + GF} \cdot \frac{G}{1 + GF} \cdot \frac{dG}{G} \cdot R = \frac{1}{1 + G(s)F(s)} \cdot \frac{dG(s)}{G(s)} \cdot C(s) \end{aligned}$$

- 若设计使得  $|1 + G(s)F(s)| \gg 1$   
 $\Rightarrow dG(s)$  的影响将大大降低

## 6.5.2 简单的反馈可能取得良好的效果

例 6.5.2 针对如下对象设计不同的控制器

$$G(s) = \frac{K}{1 + 0.1s}$$

使得闭环阶跃响应的稳态输出  $C(\infty) = 0.9$

**Solution:**

**(i) 开环分析 ( 终值定理 )**

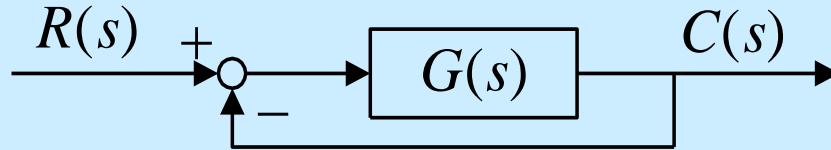
$$K = 0.9 \Rightarrow C(\infty) = 0.9$$

- **系统的时间常数  $T = 0.1 \text{ sec}$**

$$G(s) = \frac{K}{1 + 0.1s}$$

$$T = 0.1$$

## (ii) 单位反馈



$$\frac{C(s)}{R(s)} = \frac{K}{1 + K + 0.1s}$$

$$C(s) = \frac{K}{1 + K + 0.1s} \cdot R(s)$$

$$K = 9 \Rightarrow C(\infty) = 0.9$$

- 闭环系统的时间常数  $T = 0.01 \text{ sec}$

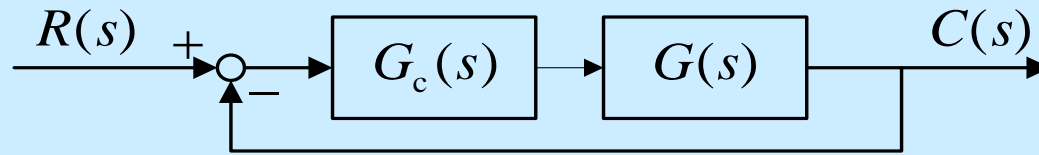
$$\frac{C(s)}{R(s)} = \frac{9}{10 + 0.1s}$$

$$G(s) = \frac{K}{1 + 0.1s}$$

$$T = 0.1$$

$$\text{F/B } T = 0.01$$

### (iii) 超前校正



$$\text{令 } G_c(s) = 0.5 \cdot \frac{1 + 0.1s}{1 + 0.05s}$$

$$G(s)G_c(s) = \frac{0.5K}{1 + 0.05s}$$

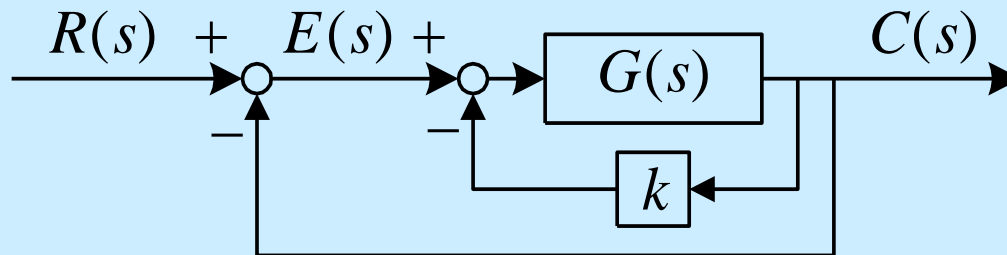
$$\frac{C(s)}{R(s)} = \frac{0.5K}{1 + 0.5K + 0.05s}$$

$$\frac{C(s)}{R(s)} = \frac{9}{10 + 0.05s}$$

$$K = 18 \Rightarrow C(\infty) = 0.9$$

- 闭环系统的时间常数  $T = 0.005 \text{ sec}$

## (iv) 反馈校正



$$G(s) = \frac{K}{1 + 0.1s}$$

$$T = 0.1$$

$$\text{F/B } T = 0.01$$

$$\text{Lead } T = 0.005$$

$$\frac{C(s)}{E(s)} = \frac{G(s)}{1 + kG(s)} = \frac{K}{1 + kK + 0.1s}$$

$$\frac{C(s)}{R(s)} = \frac{K}{1 + K + kK + 0.1s}$$

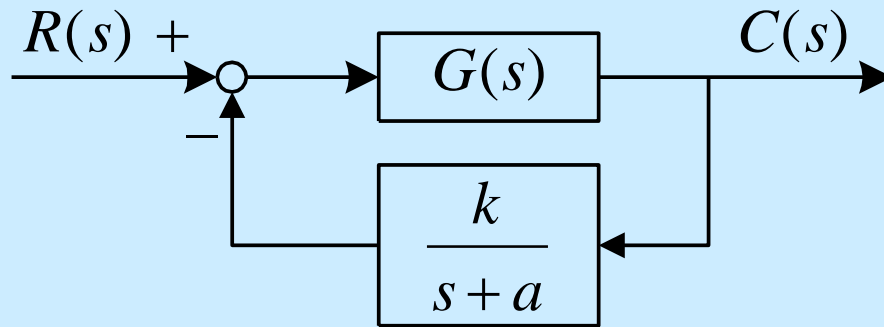
要使  $C(\infty) = 0.9$   
 $T = 0.005$  sec:  $\frac{K}{1 + K + Kk} = 0.9, \quad \frac{0.1}{1 + K + Kk} = 0.005 = \frac{1}{200}$

$K = 18 \quad k = 0.05556$

- 简单的反馈校正取得超前校正同样的效果

$$G(s) = \frac{K}{1 + 0.1s}$$

## (v) 反馈滞后校正



$$\frac{C(s)}{R(s)} = \frac{10K(s+a)}{s^2 + (10+a)s + 10(a+kK)}$$

要使  $C(\infty) = 0.9$  且  $T = 0.005$  **sec**

$$\frac{aK}{a+kK} = 0.9 \quad 10(a+kK) = \frac{1}{T^2} = 40000$$

$$\frac{C(s)}{R(s)} = \frac{10K(s+a)}{s^2 + (10+a)s + 10(a+kK)}$$

令  $\zeta = 1$ , 则

$$\begin{aligned} s^2 + (10+a)s + 10(a+kK) &= s^2 + 2\frac{\zeta}{T}s + \frac{1}{T^2} \\ &= s^2 + 400s + 40000 \end{aligned}$$

$$T = 0.005$$

$$\frac{aK}{a+kK} = 0.9$$

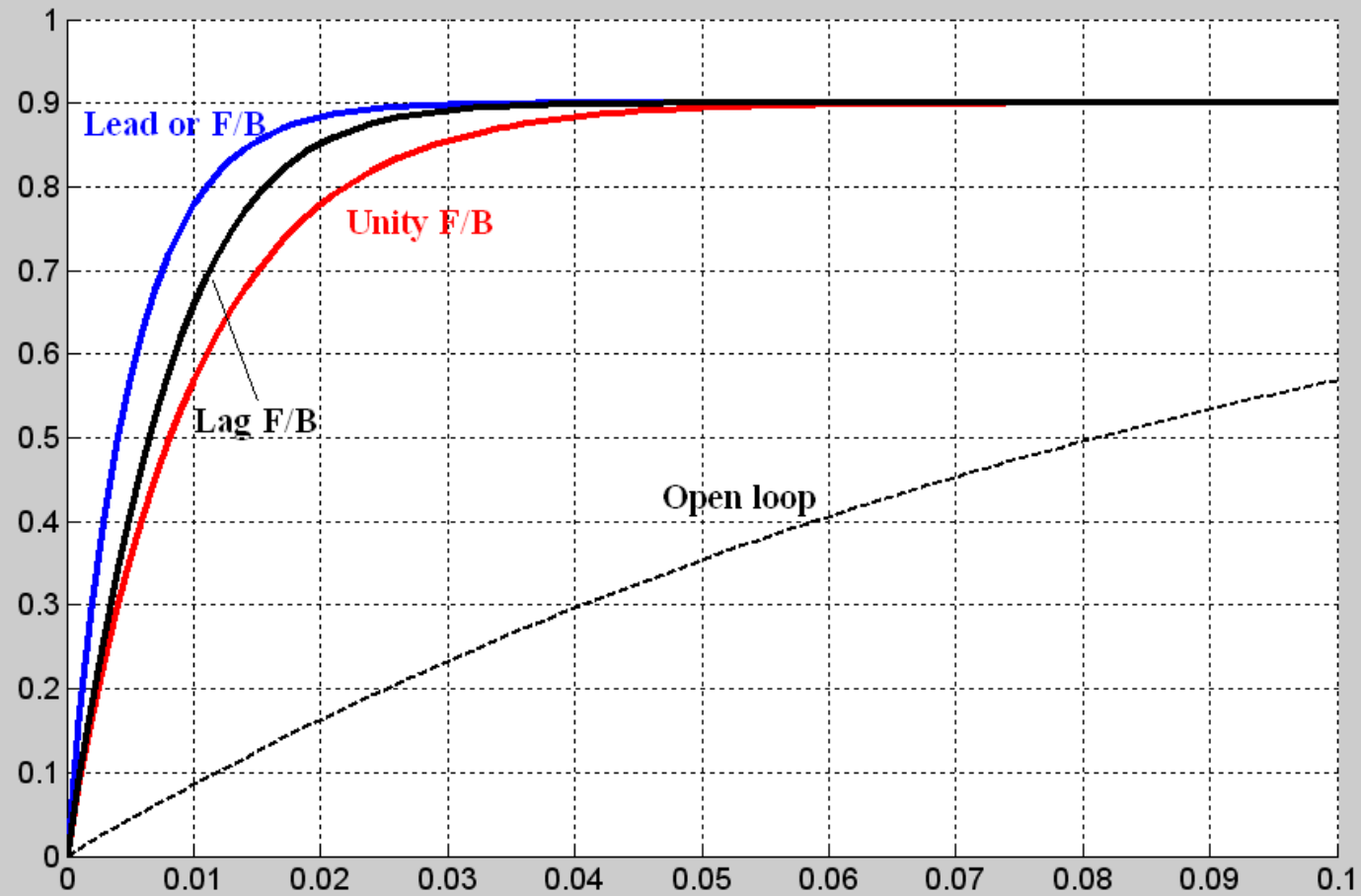
$$K = 9.23 \quad k = 391.12 \quad a = 390$$

- 滞后校正的传递函数如下

$$G_c(s) = \frac{k}{s+a} = \frac{391}{s+390} = \frac{1.00287}{1+0.002564s}$$

- 反馈滞后校正的效果类似串联超前校正

## • 单位阶跃响应





# End of Chapter 6

